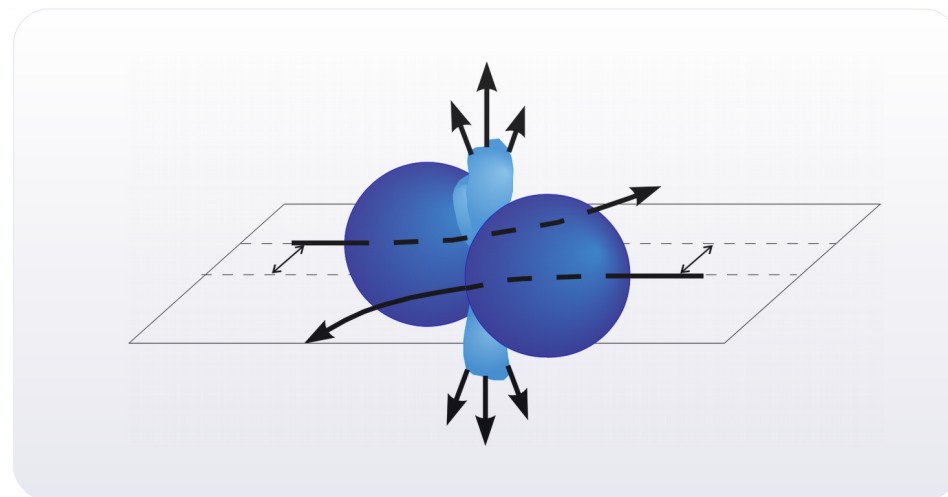
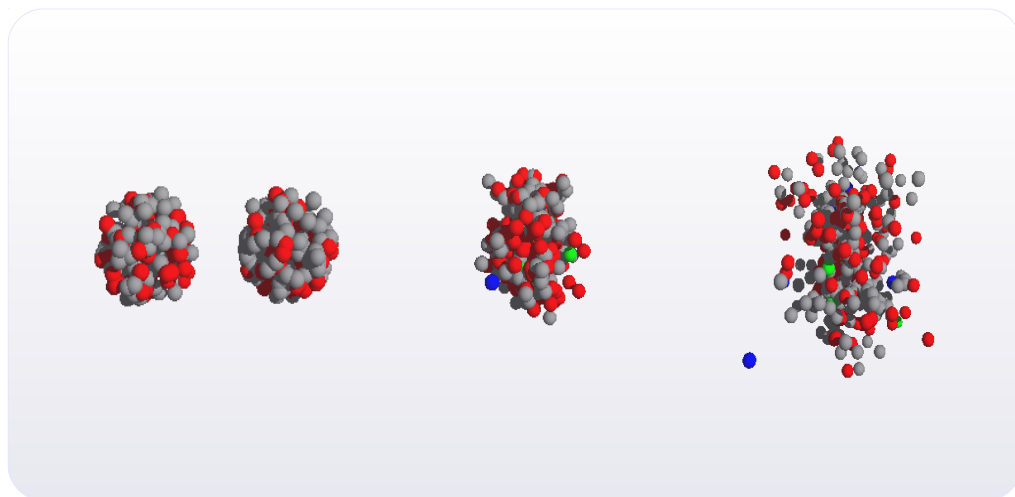


## Fizyka zderzeń relatywistycznych jąder

Krzysztof Piasecki

*Zakład Fizyki Jądrowej, Wydział Fizyki UW*



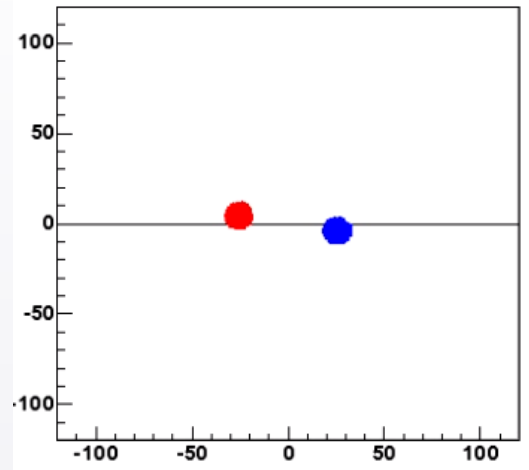
1. Ogólne własności zderzeń przy energiach relatywistycznych
2. Podstawy kinematyki relatywistycznej
3. Próg energetyczny, produkcja podprogowa
4. Przekroje czynne: całkowity, różniczkowy
  - przekrój czynny Rutherforda i na reakcję
5. Model participant-spectator, centralność zderzenia
  - model Glaubera
6. Multifragmentacja vs ewaporacja
7. Produkcja nowych cząstek
8. Model statystyczny emisji cząstek
  - obserwacje globalne
  - rozkład kinematyczny, rozkład Boltzmannna
9. Doświadczalne rozkłady populacji w przestrzeni pędowej
10. Ruch kolektywny w zderzeniach ciężkich jonów
  - Model “radial blast wave”
11. Stopping / transparencja
12. Rozkłady azymutalne
  - Rekonstrukcja płaszczyzny reakcji
  - Rozłożenie na szereg Fouriera (“pływy”)
  - Rozmycie płaszczyzny reakcji i metoda Ollitraulta korekcji pływu
  - Pływ: skierowany i eliptyczny, wyniki doświadczalne

# 1. Ogólne własności zderzeń przy energiach relatywistycznych

# Zderzenia ciężkich jonów a energia wiązki

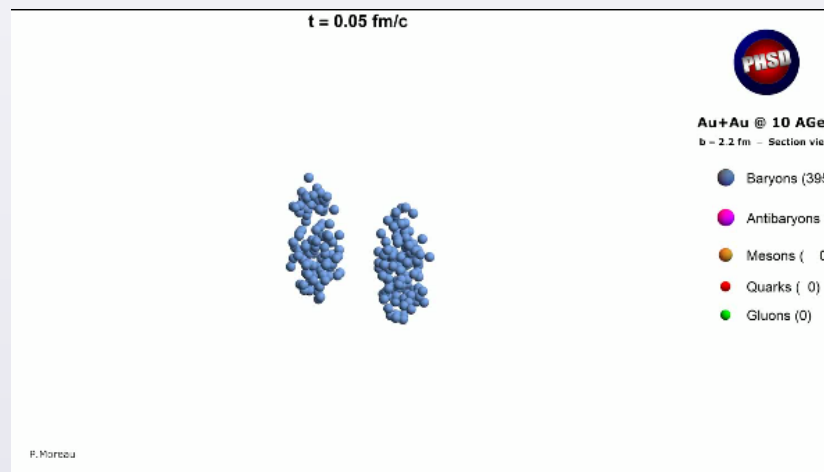
- Symulacja QMD zderzenia Au+Au przy energii kinetycznej wiązki  $T_B = 15$  MeV/nukleon (15A MeV)

[ [www.fuw.edu.pl/~kpias/rhic/QMD\\_Tb.015\\_b08\\_010.mpg](http://www.fuw.edu.pl/~kpias/rhic/QMD_Tb.015_b08_010.mpg) ]



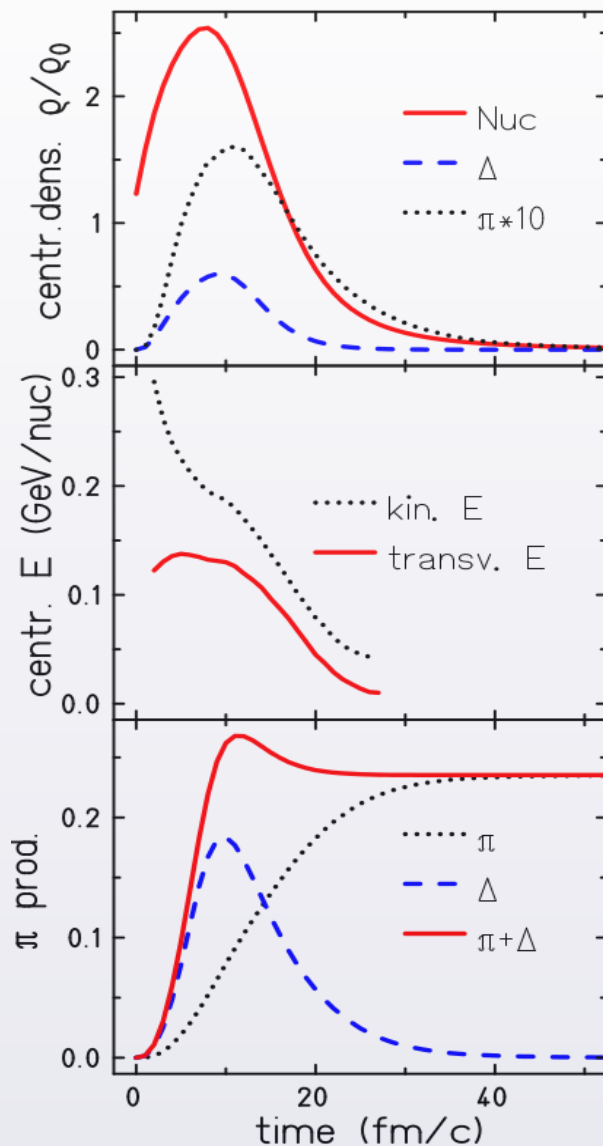
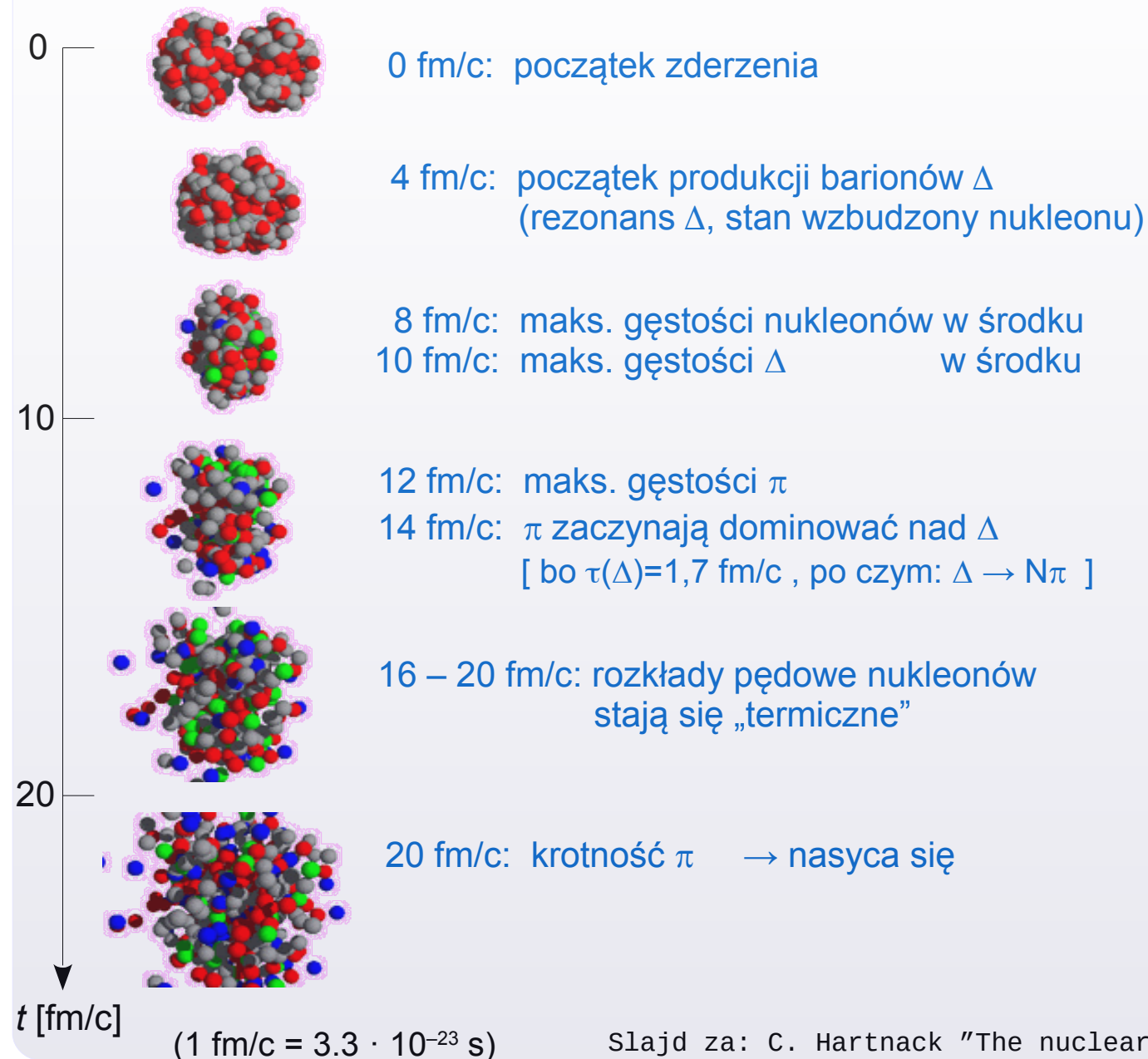
- Symulacja PHSD zderzenia Au+Au przy energii kinetycznej wiązki  $T_B = 10$  GeV/nukleon (10A GeV)

[ [fias.uni-frankfurt.de/~phsd-project/PHSD/documents/movie\\_AuAu\\_10AGeV.mp4](http://fias.uni-frankfurt.de/~phsd-project/PHSD/documents/movie_AuAu_10AGeV.mp4) ]



# Zderzenie ciężkich jonów – przykład symulacji

- Symulacja IQMD zderzenia Au+Au przy energii kinetycznej wiązki  $T_B = 1.5$  GeV/nukleon (1.5 AGeV)



C. Hartnack, arxiv:nuc1-th/0507002

Slajd za: C. Hartnack "The nuclear equation of state is soft", SQM 2006

- Jak podstawowe parametry zmieniają się z energią wiązki?

$T_{\text{wiązki}} / \text{nukleon}$	$\gamma$	$\beta$	$\lambda_{\text{de Broglie'a}} [\text{fm}]$	$\tau_{\text{przejścia}} [10^{-23} \text{ s}]$
5 MeV	1.005	0.10	13	55
50 MeV	1.05	0.31	4.1	18
500 MeV	1.5	0.75	1.2	5.5
5 GeV	6.3	0.987	0.2	1.7
50 GeV	54	0.9998	0.02	0.5

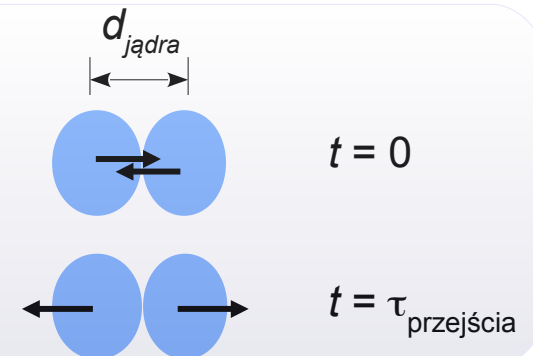
- Jak to wyliczyć?

$$T_{\text{wiązki}} = m_N c^2 (\gamma - 1) \quad \Rightarrow \quad \gamma = 1 + \frac{T}{m_N c^2}$$

$$\beta = \sqrt{1 - \frac{1}{\gamma^2}}$$

$$\lambda_{\text{de Broglie}} (N) = \frac{h}{p_N} = \frac{\hbar c \cdot 2\pi}{m_N c^2 \cdot \gamma \beta}$$

$$\tau_{\text{przejścia}} (A_{1,2}=50) = \frac{d_{\text{jądra}}}{v_{\text{przejścia, CM}}} = \dots = \frac{2R_{\text{jądra}}}{p_{\text{CM}}/m_N}$$



- **Wnioski.** Z rosnącą energią wiązki:
  - ↪ Kinematyka relatywistyczna staje się niezbędna
  - ↪ Nukleon jądra wiązki zaczyna próbkować poszczególne nukleony jądra tarczy
  - ↪ Czas przejścia jąder staje się rzędu  $10^{-23}$  s

- **Pytania:**
  - ↪ Jak opisać szansę na zderzenie? (przekrój czynny)
  - ↪ Jakie są właściwe zmienne: co można wydobyć doświadczalnie, a co się rozważa teoretycznie?
  - ↪ Jak opisać emisję cząstek? (krotności i rozkłady) (podejście termiczne czy dynamiczne)
  - ↪ Co jest „silnikiem” symulacji zderzeń
  - ↪ Eksperyment: (jak mierzyć) (układy doświadczalne)

## 2. Podstawy kinematyki relatywistycznej



- Opis cząstki przez czterowektory, np.: położenia, czteropędu

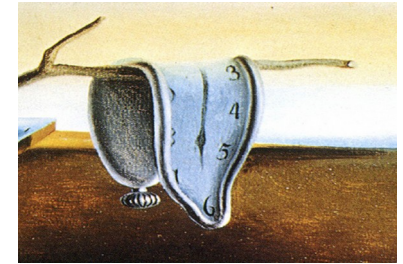
$$p^u = \left( \frac{E}{c}, \vec{p} \right)$$

gdzie:  $\vec{p} = \gamma m \vec{v}$ ,  $E = \gamma mc^2$

i wprowadza się:  $\gamma \equiv \frac{1}{\sqrt{1-\beta^2}}$ ,  $\vec{\beta} \equiv \vec{v}/c$

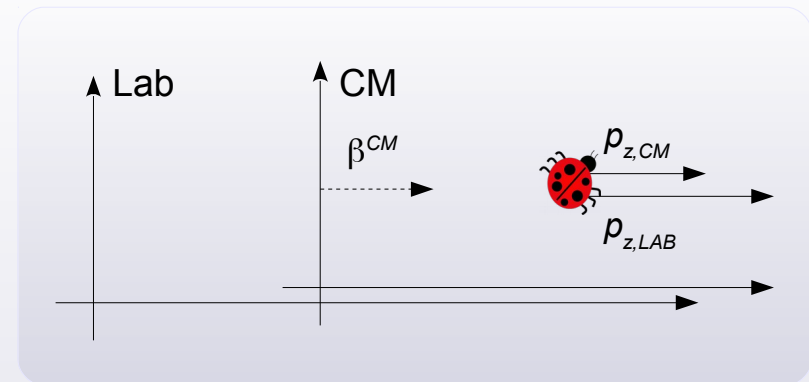
- Wówczas:  $\vec{\beta} = \frac{c\vec{p}}{E}$ ,  $\gamma = \frac{E}{mc^2}$

- Nb.  $T = E - mc^2 = (\gamma - 1) mc^2$



- Przejście między układami współrzędnych: Transformacja Lorentza (boost)

$$\begin{cases} E_{Lab} &= \gamma^{CM} (E_{CM} + \beta^{CM} cp_{z,CM}) \\ cp_{z,Lab} &= \gamma^{CM} (cp_{z,CM} + \beta^{CM} E_{CM}) \\ cp_{x/y,Lab} &= cp_{x/y,CM} \end{cases}$$



→ Pęd poprzeczny:  $p_T \equiv \sqrt{p_x^2 + p_y^2}$  (niezmiennik)

**Częsta notacja:  $c = 1$ ,  $[m] = [p] = [E]$  ( $= \text{MeV}, \text{GeV}, \dots$ )**

- Opis cząstki przez czterowektory, np.: położenia, czteropędu

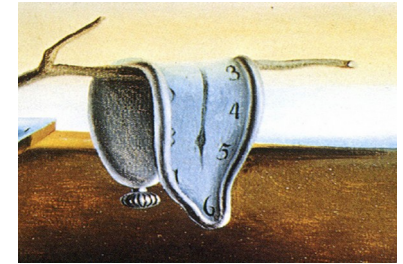
$$p^\mu = (E, \vec{p})$$

gdzie:  $\vec{p} = \gamma m \vec{v}$ ,  $E = \gamma m$

i wprowadza się:  $\gamma \equiv \frac{1}{\sqrt{1-\beta^2}}$ ,  $\vec{\beta} \equiv \vec{v}$

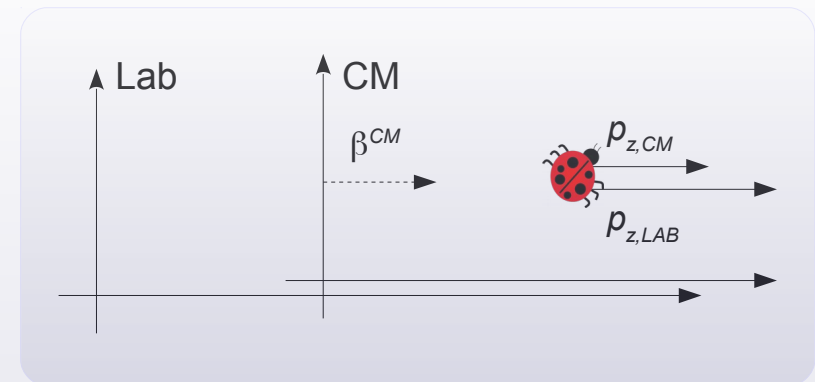
- Wówczas:  $\vec{\beta} = \frac{\vec{p}}{E}$ ,  $\gamma = \frac{E}{m}$

- Nb.  $T = E - m = (\gamma - 1) m$



- Przejście między układami współrzędnych: Transformacja Lorentza (boost)

$$\begin{cases} E_{Lab} &= \gamma^{CM} (E_{CM} + \beta^{CM} p_{z,CM}) \\ p_{z,Lab} &= \gamma^{CM} (p_{z,CM} + \beta^{CM} E_{CM}) \\ p_{x/y,Lab} &= p_{x/y,CM} \end{cases}$$



→ Pęd poprzeczny:  $p_T \equiv \sqrt{p_x^2 + p_y^2}$

(niezmiennik)

- Fakt:** każdy iloczyn skalarny dwóch czterowektorów jest niezmiennikiem Transformacji Lorentza.

$$p_\mu p^\mu = E^2 - \vec{p}^2 = const \quad \rightarrow \text{akurat jasne, bo:} \quad E^2 - \vec{p}^2 = m^2$$

$$\left( \sum_i E_i \right)^2 - \left( \sum_i \vec{p}_i \right)^2 = \text{niezmiennik} \equiv \boxed{s}$$

a jednocześnie: 
$$\begin{cases} \sum_i E_i = const \\ \sum_i \vec{p}_i = const \end{cases} \quad \Rightarrow \quad \text{„s” jest nie tylko niezmiennikiem. Jest też całką ruchu [ = const(t) ].}$$

- Układ środka masy (CM): taki, w którym  $\sum_i \vec{p}_{i,CM} = \vec{0}$

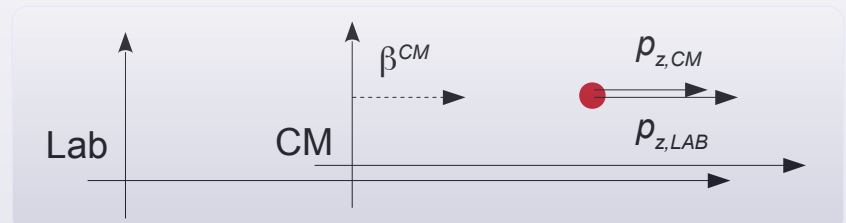
$$s \equiv \left( \sum_i E_{i,CM} \right)^2 - \left( \sum_i \vec{p}_{i,CM} \right)^2 = \left( \sum_i E_{i,CM} \right)^2$$

$$\Rightarrow \sqrt{s} = \sum_i E_{i,CM}$$

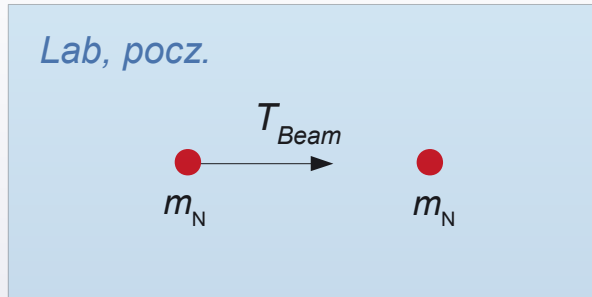
$\sqrt{s}$  nazywamy „energiją dostępną”

- „Prędkość” układu CM w układzie Lab:

$$\vec{\beta}^{CM} = \frac{\sum_i \vec{p}_{i,Lab}}{\sum_i E_{i,Lab}}$$



- Dla zderzenia nukleon-nukleon (NN) na stacjonarnej tarczy:



W **Lab**:  $s \equiv (2m_N + T_{Beam})^2 - \vec{p}_{Beam}^2$

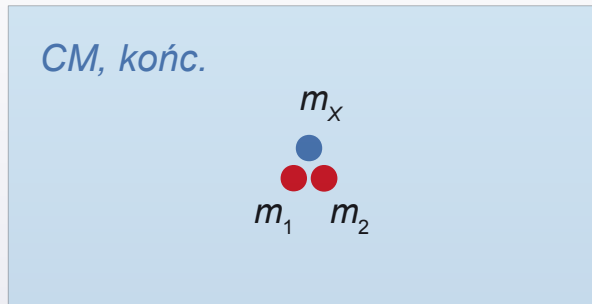
...

$$\sqrt{s} = \sqrt{2 \cdot m_N (2m_N + T_{Beam})}$$

→  $\sqrt{s}$  monotonicznie rośnie z  $T_{Beam}$

Np. dla  $T_{beam} = 1 \text{ GeV}$ ,  $\sqrt{s} = 2.3 \text{ GeV}$

- $\sqrt{s}$  – jest często używana. Dlaczego:



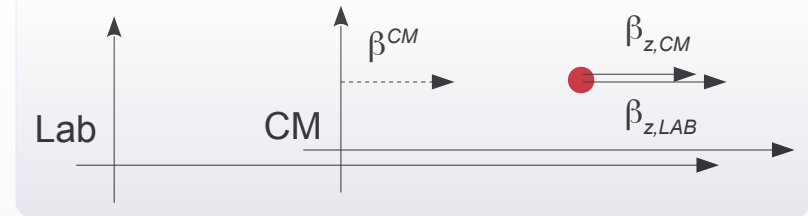
W **CM**:  $\sqrt{s} = \sum_i E_{i,CM}$

a gdyby w CM cała energia była masą cząstek:

$$\sqrt{s} = \sum_i m_i$$

$\sqrt{s}$  wskazuje, ile masy można „wykreować” zderzając rozpędzony nukleon z nukl. stacjonarnej tarczy.

- Transformacja *Galileusza*:  $v$  dodają się liniowo.  
Transformacja *Lorentza* : nieliniowo.



$$\beta_{z,Lab} = \frac{\beta_{z,CM} + \beta^{CM}}{1 + \beta_{z,CM}\beta^{CM}}, \text{ przy czym } \beta_i \in [-1, 1]$$



**Idea:** przekształcenie rozciągające  $[-1, 1]$  w  $[-\infty, \infty]$ .

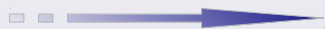
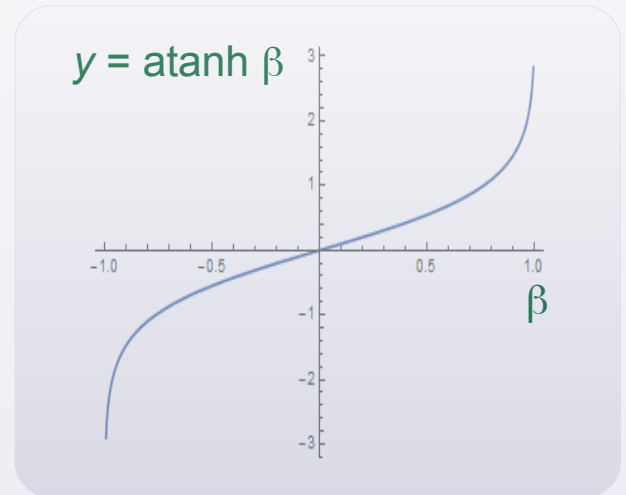
$$y \equiv \operatorname{atanh}(\beta)$$

(tożsamość)

$$y_z \equiv \operatorname{atanh}(\beta_z) \equiv \frac{1}{2} \ln \frac{1 + \beta_z}{1 - \beta_z}$$

Przy czym:

$$\frac{E + p_z c}{E - p_z c} = \frac{\gamma m c^2 + \gamma m \beta_z c}{\gamma m c^2 - \gamma m \beta_z c} = \dots = \frac{1 + \beta_z}{1 - \beta_z}$$



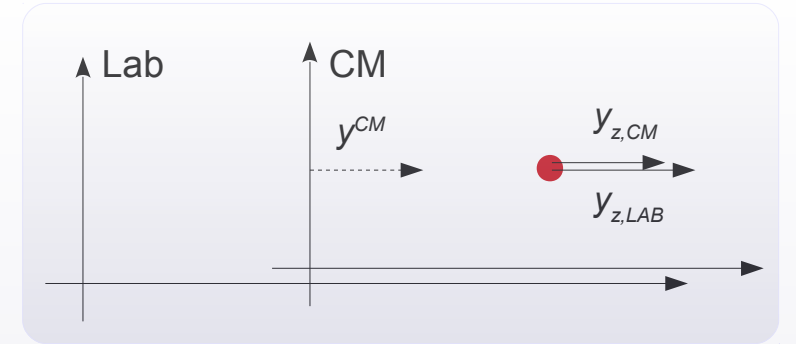
$$y_z = \frac{1}{2} \ln \frac{E + p_z}{E - p_z}$$



- Jak transformuje się taka „rozciągnięta” prędkość?

$$y \equiv \operatorname{atanh}(\beta)$$

Tożsamość: 
$$\frac{\tanh a + \tanh b}{1 + \tanh a \tanh b} = \tanh(a + b)$$



Transformacja  $\beta$ :

$$\beta_{z,Lab} = \frac{\beta_{z,CM} + \beta^{CM}}{1 + \beta_{z,CM} \beta^{CM}}$$

$$\tanh(y_{z,Lab})$$

$$\tanh(y_{z,CM} + y^{CM})$$

Transformacja  $y$ :

$$y_{z,Lab} = y_{z,CM} + y^{CM}$$

**Pospieszność:**

- transformuje się liniowo
- zakres  $y \in [-\infty, \infty]$   
(nb. ruch „wstecz”  $\Leftrightarrow y < 0$ )
- w granicy nierelatywistycznej  $\rightarrow \beta$

} jak  $v$   
nierelatywistyczne

- „Masa poprzeczna” :

$$m_T \equiv \sqrt{p_t^2 + m^2}$$

(niezmiennik Transformacji Lorentza)

- Tożsamości relatywistyczne:

$$\begin{cases} E = m_T \cdot ch y \\ p_z = m_T \cdot sh y \end{cases}$$

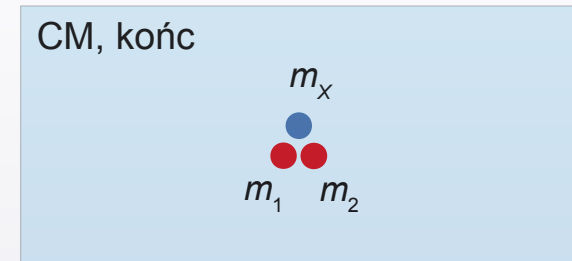
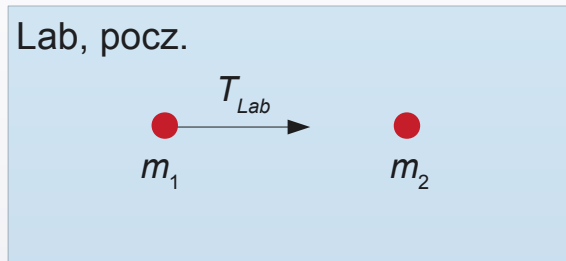
Można sprawdzić, np.:

- podnosząc do kwadratu i odejmując „pod kreską” lub
- wstawiając do definicji prędkości

### **3. Próg energetyczny, produkcja podprogowa**



- Ile wynosi minimalna  $T_{Lab}$  („energia progowa”) potrzebna do produkcji cząstki X w danym procesie?



Lab, przed:

$$s \equiv (m_1 + m_2 + T_{1,Lab}^{Min})^2 - \vec{p}_{1,Lab}^2$$

CM, po:

$$s \equiv (m_1 + m_2 + m_X)^2$$

$$\Rightarrow T_{1,Lab}^{Min} = \frac{m_X^2 + 2m_X(m_1 + m_2)}{2m_2}$$

Jeżeli  $m_1 = m_2 = m_N$  ( $N = \text{nukleon}$ )

$$\Rightarrow T_{Lab}^{Min} = \frac{m_X (m_X + 4m_N)}{2m_N}$$

- Np. progowa  $T_{Beam}$  dla produkcji mezonu  $\pi^0$  ( $m_{\pi^0} = 135 \text{ MeV}$ ) w zderzeniu NN:

$$T_{\pi^0}^{Min} = 280 \text{ MeV}$$

( pasuje do rozważanego zakresu energii )

- „Najtańsze” kanały produkcji w zderzeniu nukleonu wiązki na nukleonie stacjonarnej tarczy:

→ Uwaga:

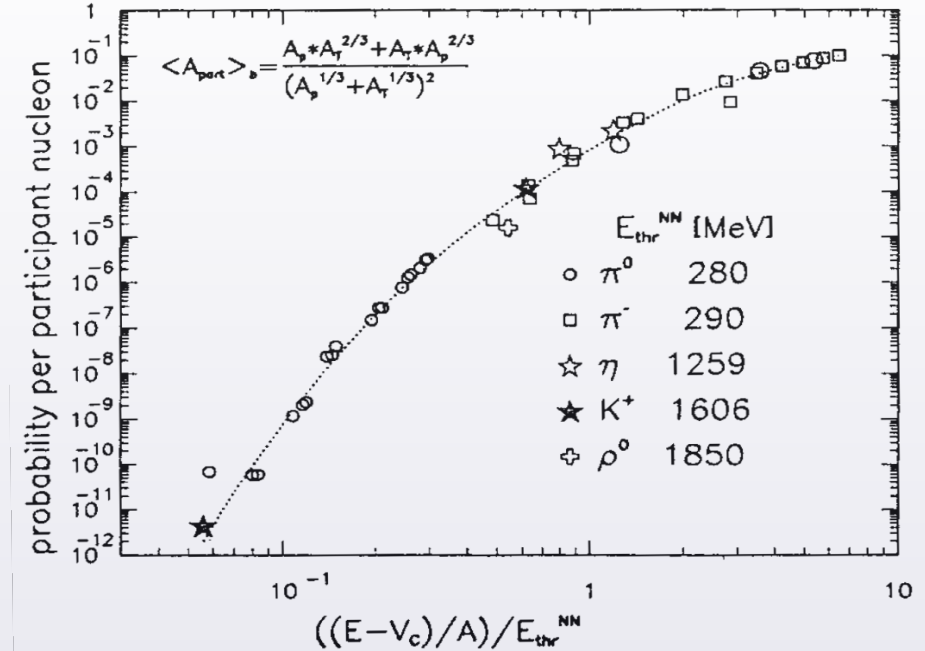
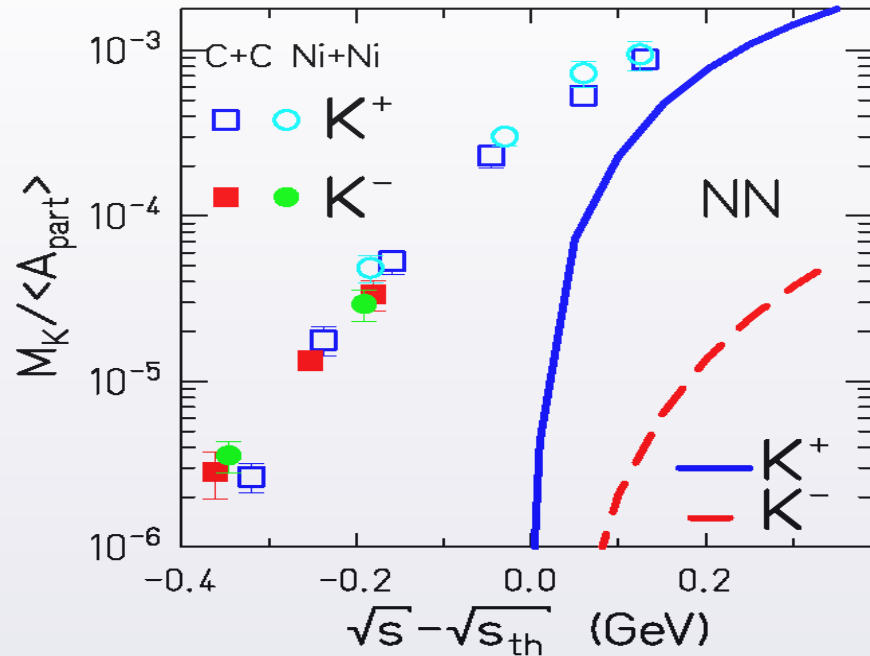
- (I) Obowiązują dodatkowo zasady zachowania: ładunku  $Q$ , dziwności  $S$ , liczby barionowej  $B$
- (II) W zderzeniu ciężkich jonów, w stanie początkowym  $S = 0$ , brak antymaterii.  
→ niektóre formalnie dozwolone kanały i tak nie zostaną zrealizowane

Cząstka	Skład kwarkowy	Masa [GeV]	„Najtańszy” kanał NN	$T_{min}$ [GeV]
$\pi^+$	$u\bar{d}$	0.139	$NN \rightarrow NN \pi^+$	0.29
$K^+$	$u\bar{s}$	0.494	$NN \rightarrow N K^+ \Lambda^0$	1.6
$K^-$	$s\bar{u}$	0.494	$NN \rightarrow NN K^+ K^-$	2.5
$p$	$uud$	0.938	$NN \rightarrow NN p\bar{p}$	5.6

Nb.  $\Lambda^0 (uds)$  : barion z 1 kwarkiem dziwnym.  $m_\Lambda = 1.116 \text{ GeV}$ ,  $q = 0$

**Barion** : (zazwyczaj) → hadron złożony z 3 kwarków (liczba barionowa  $B = 1$ )

• Przechodząc do zderzeń jądro-jądro (AA):



→ przy  $T$  wiązki poniżej progu: wyraźna produkcja cząstek!

• Powody:

- Ruch własny nukleonów w jądrze („*ruch Fermiego*”)
- Kanały wielociałowe (zderzenie >2 nukleonów, np.  $NNN \rightarrow NNN\pi^0$ ),  
Kanały wielostopniowe (np. ①  $NN \rightarrow N\Delta$ , a następnie ②  $N\Delta \rightarrow NK^+\Lambda$ )
- Modyfikacje (m.in.) mas cząstek w gęstej i podgrzanej materii jądrowej

- Ruch nukleonów w jądrze ( „*ruch Fermiego*” )

Jądro atomowe: *studnia potencjału* dla nukleonów.

Studnia ma szerokość →  
nie ma powodu, by nukleony się nie poruszały.

- Przestrzeń fazowa:**  $\bar{x}, \bar{p} : \mathbb{R}^3$

Pojedyncza komórka w przestrzeni fazowej:  $h^3$ .

Jest w niej miejsce na 4 nukleony:  $\{p n\} \times m_s = \{+1/2 -1/2\}$ .

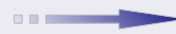
Proporcja:  $\frac{dN}{4} = \frac{V_{\text{jadra}} \cdot dp^3}{h^3}$ , dzięki której otrzymujemy związek między  $dN$  a  $dp^3$ .

Kolejne stany pędowe (od najniższych) obsadzamy  $A$  nukleonami. *Jaki jest maksymalny  $|\bar{p}|$  ?*

$$A = \int dN = \frac{4V}{h^3} \cdot \frac{4}{3}\pi p_F^3$$

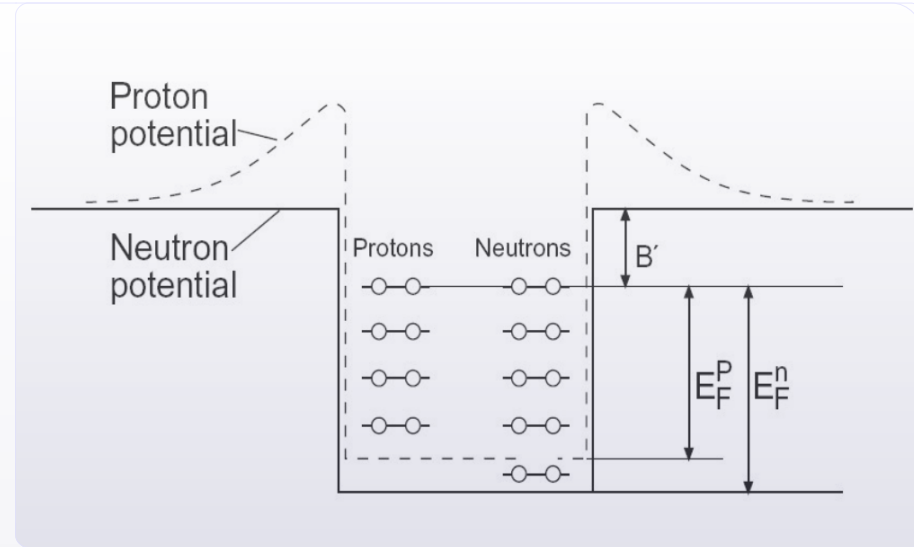
- Pęd maksymalny ( „*pęd Fermiego*” ) :

$$p_F = \sqrt[3]{\frac{3h^3}{16\pi} \frac{A}{V}} = \sqrt[3]{\frac{3h^3}{16\pi} \rho_0}$$

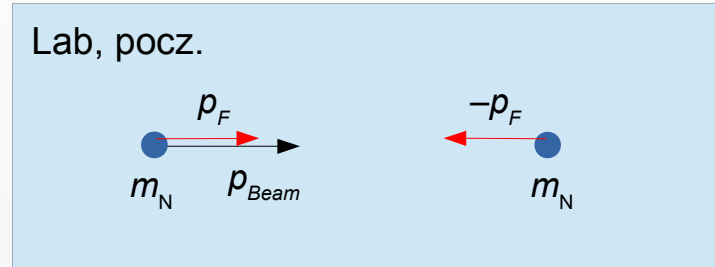


$$p_F \approx 270 \text{ MeV}$$

„*Gęstość normalna*” nukleonów w jądrze  $\rho_0 = 0.17 \text{ fm}^{-3}$



- Przypadek najbardziej sprzyjający powiększeniu *energii swobodnej* :  
dwa nukleony z  $p = p_F$  , wektory złożone konstruktywnie



- Sposób obliczenia  $\sqrt{s}$  :

1) Boost  $p_F$  o  $p_{Beam}$  ( $\rightarrow p_{Tot}$ )

2) Modyfikacja „lewej” strony bilansu wielkości „s”

$$(E_{Tot} + E_F)^2 - (p_{Tot} - p_F)^2 = s = (2m_N + m_X)^2$$



Rozwiązanie analityczne:

$$\left\{ \begin{array}{l} p_{Beam}^{Min} = m_N \left(1 + \frac{r}{2}\right) (1 + 2x^2) \sqrt{r(4+r)} - 2p_F \left(1 + 2r + \frac{r^2}{2}\right) \sqrt{1+x^2} \\ x = p_F/m_N \\ r = m_X/m_N \end{array} \right.$$

- Sprawdźmy, jak wzrosła energia progowa, gdy dodaliśmy nukleonom  $p_F$  w złożeniu konstruktywnym:

Cząstka	Masa [GeV]	„Najtańszy” kanał NN	$T_{min}$ (NN) [GeV]	$T_{min}$ (NN $\oplus$ $p_F$ ) [GeV]
$\pi^+$	0.139	NN $\rightarrow$ NN $\pi^+$	0.29	0.019
$K^+$	0.494	NN $\rightarrow$ N $K^+ \Lambda$	1.58	0.60
$K^-$	0.494	NN $\rightarrow$ NN $K^+ K^-$	2.5	1.1
p	0.938	NN $\rightarrow$ NN $p\bar{p}$	5.6	2.8



**Sukces!**

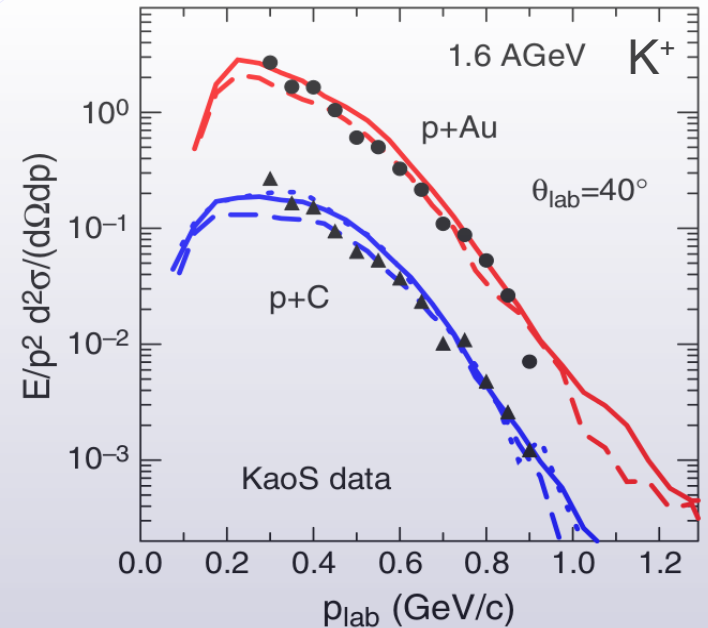
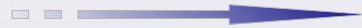
Ale...

Q: czy ruch Fermiego wyjaśnia całość produkcji cząstek?

## Przykład 1:

Symulacja IQMD produkcji mezonu  $K^+$  w zderzeniach proton+proton, **proton +  $^{12}C$**  i **proton +  $^{197}Au$**

- ☞ Dobrano  $T(p) = 1.60$  GeV. Jest to minimalnie powyżej progu  $T_{min}(NN) = 1.58$  GeV
- ☞ Zmierzony rozkład pędowy  $K^+$  ze zderzeń **p+C** i **p+Au** jest całkowicie odtworzony.

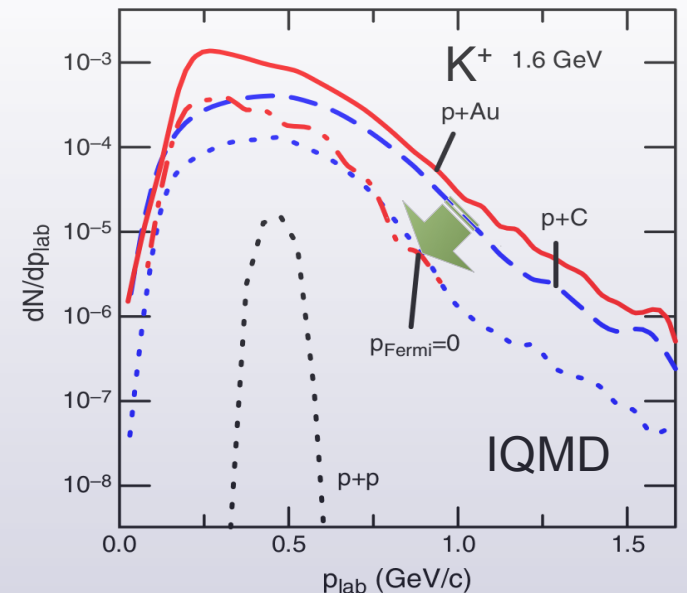


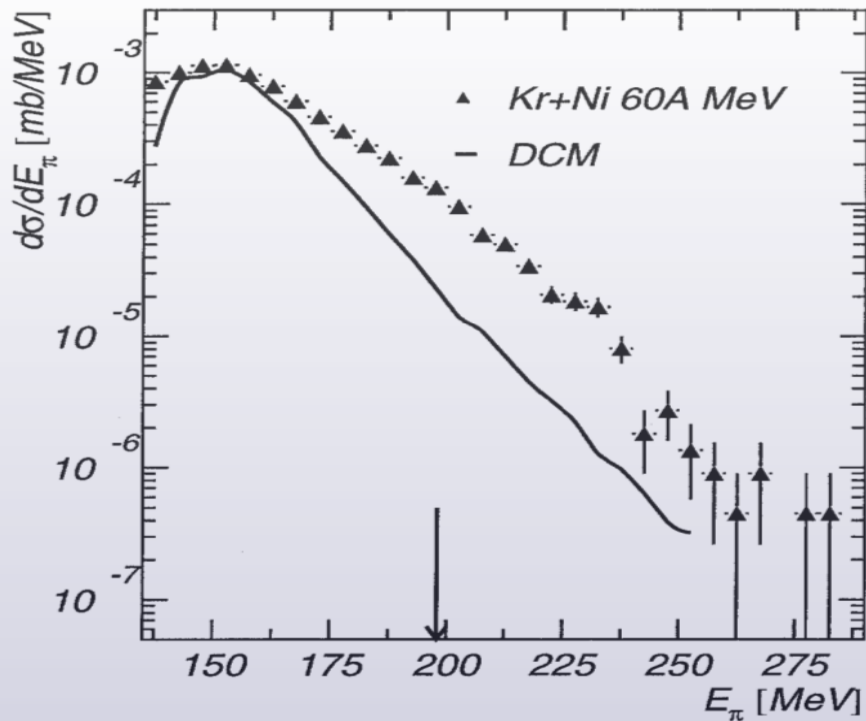
W ramach symulacji:

- ☞ Rozkład  $p_{Lab}$  dla  $K^+$  z p+p : bardzo wąski
- ☞ Rozkład  $p_{Lab}$  dla  $K^+$  z **p+C** : wyższy i „rozległy”
- ☞ „wyłączenie” ruchu Fermiego w **p+C**  
→ zawężenie rozkładu, ale nie do przypadku p+p
- ☞ Czy jednak oczekujemy zawężenia do p+p?  
Spróbujmy przeskalować p+p do **p +  $^{12}C$** .  
Zakładając, że krotność  $K^+ \sim A$  (i tak przeszacowujemy),  
i mnożąc rozkład dla p+p przez 12, nie wyjaśnimy **p+C**



Oprócz ruchu Fermiego, inne efekty...





• **Przykład 2:**

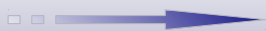
Mezony  $\pi^0$  ze zderzeń  $^{86}\text{Kr} + ^{59}\text{Ni}$  @ 60A MeV  
(eksperyment grupy TAPS w GANIL).

Wykres: [▲] rozkład  $E_\pi$  w układzie CM NN  
 $E_{kin}(\pi)$  sięgają ok. 150 MeV.

$$E = \sqrt{m^2 + p^2}$$

$$[m_{\pi^0} = 135 \text{ MeV}]$$

- Energia progowa dla produkcji  $\pi^0$  w spoczynku (z pędami Fermiego) :  $T_{Min} = 16 \text{ MeV}$ .  
W tym przypadku:  $T_{Beam} / A (60 \text{ MeV}) > T_{Min} (16 \text{ MeV})$  (ok.)
- Jednak Q: ile wynosi największa  $T_{\pi^0}$  przy złożeniu konstruktywnym  $N(p_F) \oplus N(p_F)$  ?  
A:  $T_{max}(\pi^0) = 60 \text{ MeV}$ . Wówczas  $E_{max}(\pi^0) = 135 \text{ MeV} + 60 \text{ MeV} = 195 \text{ MeV}$ .  
... tymczasem widać mezony o energiach znacznie wyższych!



*Ruch Fermiego nie wystarcza do wyjaśnienia całości produkcji*



## 4. Przekroje czynne

- W ujęciu geometrycznym: punktowe pociski nakierowane na przeszkody o przekroju koła

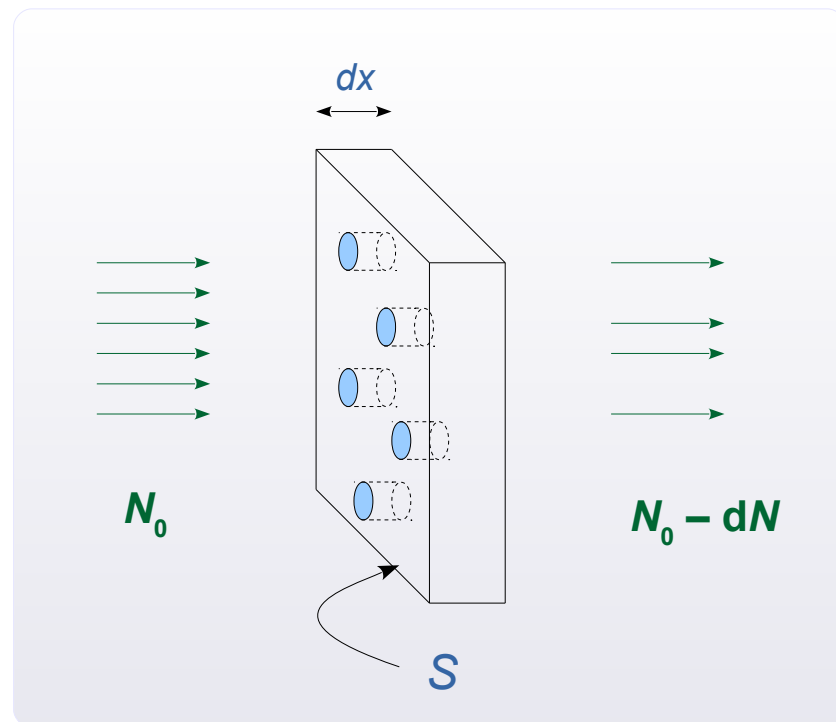
Zał.: cienka tarcza

$$\frac{-dN}{N_0} = \frac{dS}{S}$$

$$dS = \sigma \cdot dN_{tarcza}$$

Przekrój  $\perp$  1 centrum  $n_{tarcza} \cdot S dx$

$N_0$  : pierwotna liczba pocisków wiązki (w j. czasu)  
 $dN$  : liczba pocisków „usuniętych” z wiązki (w j. czasu)  
 $\sigma$  : przekrój poprzeczny 1 centrum rozpraszającego  
 $n$  : koncentracja centrów w tarczy



$$dN = - N_0 \cdot n_{tarcza} \cdot \sigma \cdot dx$$

$$N(x) = N_0 \cdot \exp(- n_{tarcza} \cdot \sigma \cdot x)$$

- Uwaga:  $\sigma \sim$  prawdopodobieństwo usunięcia z wiązki

Odniesienie do zderzeń jądrowych:

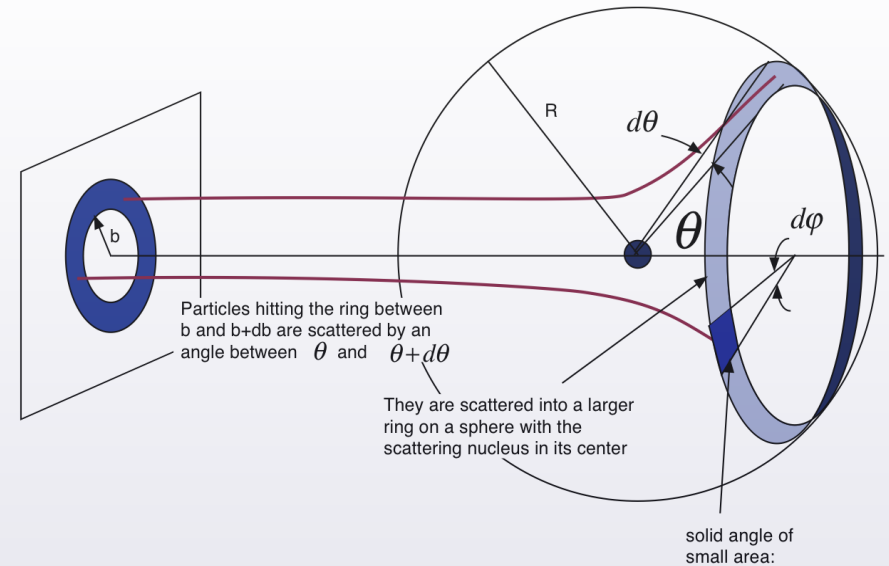
$$\sigma_{tot} = \sigma_{elast.} + \sigma_{reakcja}$$

- Dla  $\sigma = S_{jądra}$ ,  $\sigma \approx \pi R_{jądra}^2 = \pi (r_0 A^{1/3})^2$   
 $r_0 = 1.12 \text{ fm}$ . Jeśli  $A = 120$ ,  $\sigma = 1.1 \times 10^{-28} \text{ m}^2 \equiv 1.1 \text{ b}$  (barn)

- Różniczkowy przekrój czynny:

$$\frac{d\sigma}{d\Omega} \equiv \frac{dN_{out}/d\Omega}{dN_{in}/dS_{wiqzki}}, \quad \sigma = \int \frac{d\sigma}{d\Omega} d\Omega$$

$$\frac{d\sigma}{d\Omega} \equiv \frac{\text{liczba cząstek rozproszonych w jednostkowy kąt bryłowy / 1s}}{\text{liczba cząstek padających na jednostkę pow. tarczy / 1s}}$$



Źródło: [hep.physics.wayne.edu/~harr/courses/5210/w15/lecture29.htm](http://hep.physics.wayne.edu/~harr/courses/5210/w15/lecture29.htm)

- Jeżeli każda cząstka padająca się rozprasza,

$$dN_{in} = dN_{out}$$



$$d\sigma = dS_{wiqzki}$$

$$\left\{ dS_{wiqzki} = 2\pi b db \right\}$$

- Zwykle w eksperymentach: kąt  $\varphi$  w Lab – przypadkowy.

$$\frac{d\sigma}{d\Omega} = \frac{dS_{wiqzki}}{d\Omega} = \frac{2\pi b db}{2\pi \sin\theta d\theta} = \frac{b}{\sin\theta} \left| \frac{db}{d\theta} \right|$$

$\theta = f(b)$ : „funkcja odchylenia”.  
Zawiera informacje o oddziaływaniach

- Jeżeli dodatkowo oddziaływanie zachodzi tylko dla  $b \in [0, b_{max}]$



$$\sigma = \int \dots = \pi b_{max}^2$$

- Przykład jest instruktywny przy zderzeniach AA, mimo ogromnego uproszczenia. Wszystkie pociski w polu  $\perp$  wiązki =  $\sigma$  zostaną z niej usunięte.

- Z zależności geometrycznych (por. dolny rys.) :

$$b = R \sin \alpha = R \cos \frac{\theta}{2}$$

(funkcja odchylenia)

- Podstawiamy do wzoru na  $d\sigma/d\Omega$  :

$$\frac{d\sigma}{d\Omega} = \frac{b}{\sin \theta} \left| \frac{db}{d\theta} \right| = \dots = \frac{R^2}{4} \quad \left\{ \frac{db}{d\theta} = -\frac{R}{2} \sin \frac{\theta}{2} \right\}$$

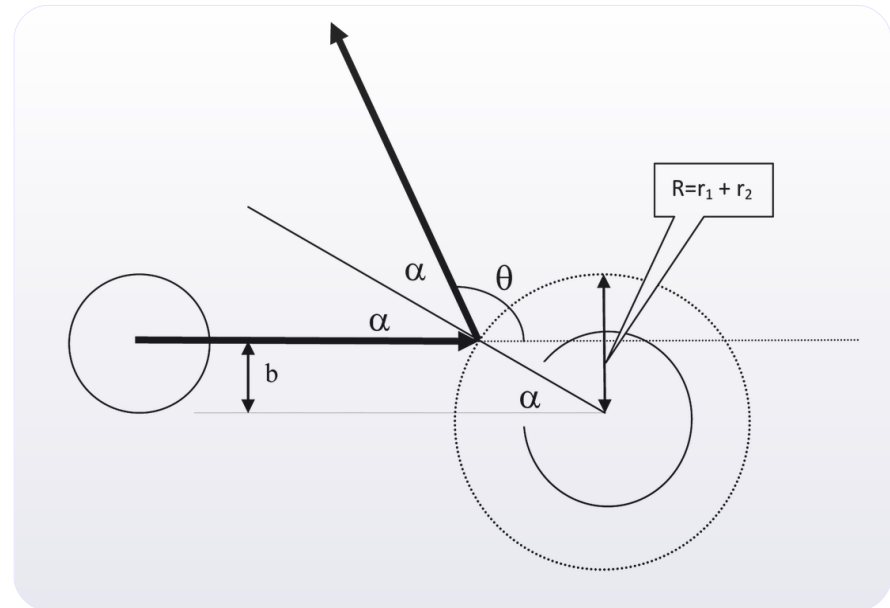
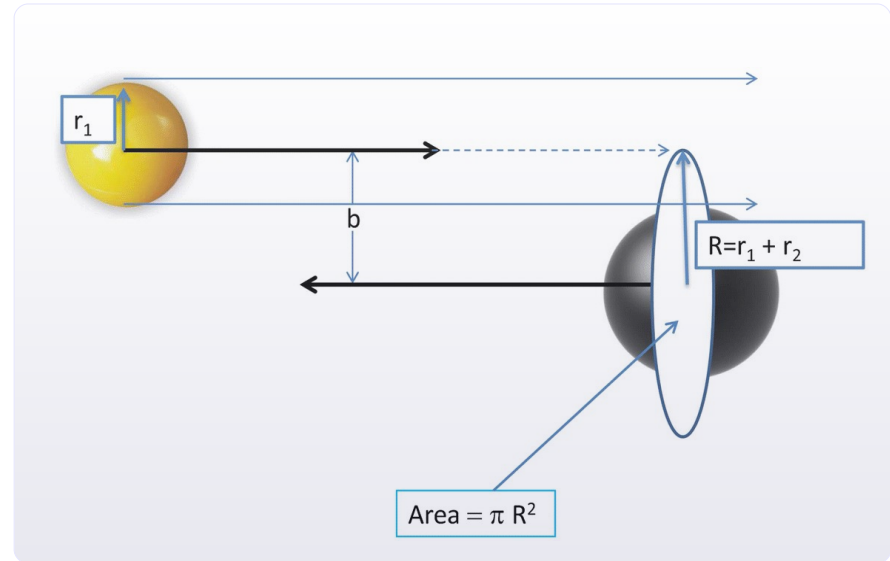
(wynik  $\neq f(\theta)$   $\rightarrow$  emisja izotropowa!)

- $\sigma = \int_0^{4\pi} \frac{d\sigma}{d\Omega} d\Omega = \int \frac{R^2}{4} d\Omega = \pi R^2 = \pi (r_1 + r_2)^2$

- Alternatywnie: całkowanie po parametrach  $b$  „biorących udział”

$$\sigma = 2\pi \int_0^{b_{\max}} b db = \pi b_{\max}^2$$

$\rightarrow b_{\max} = r_1 + r_2$



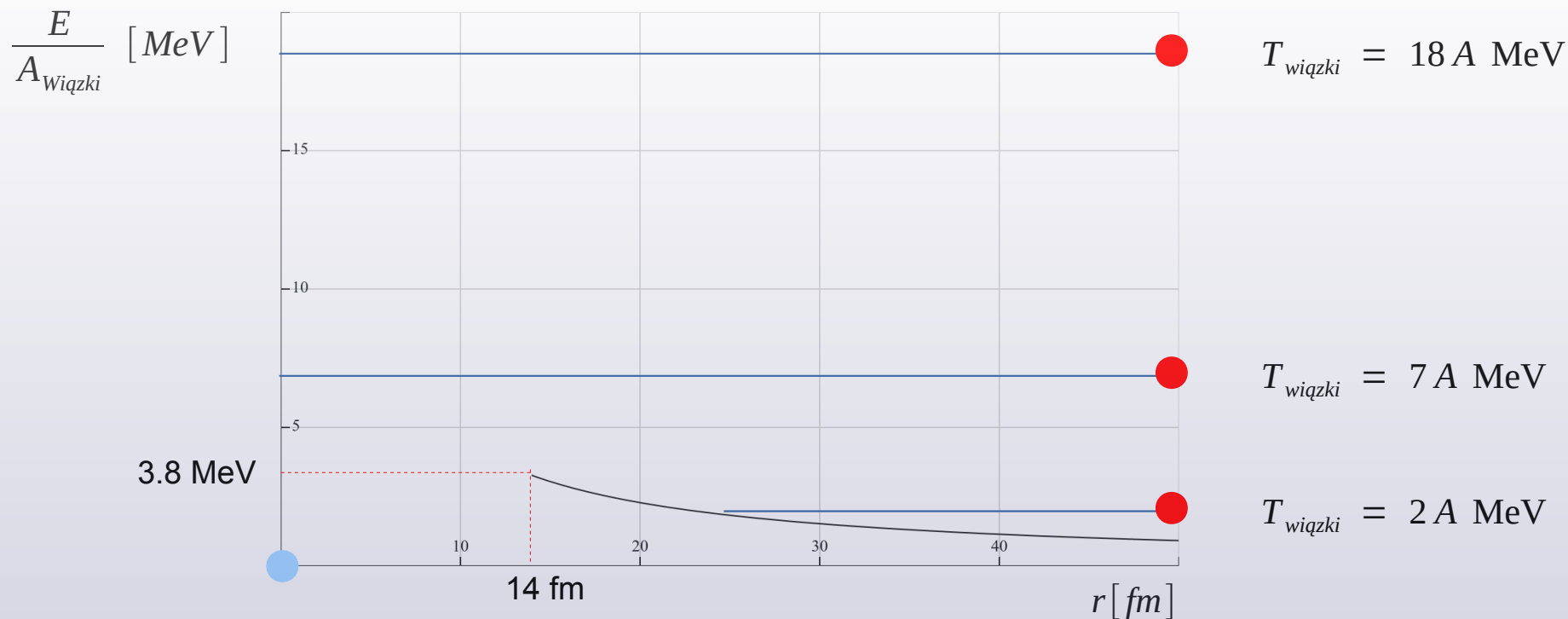
# Wpływ pola Coulomba

- Zderzające się jądra muszą pokonać *barierę kulombowską*.

Energia potencjalna pola Coulomba:  $E_{pot}^{Coulomb} = \frac{ke^2 Z_1 Z_2}{r_{12}}$  ,  $r_{12}$  : odległość między środkami

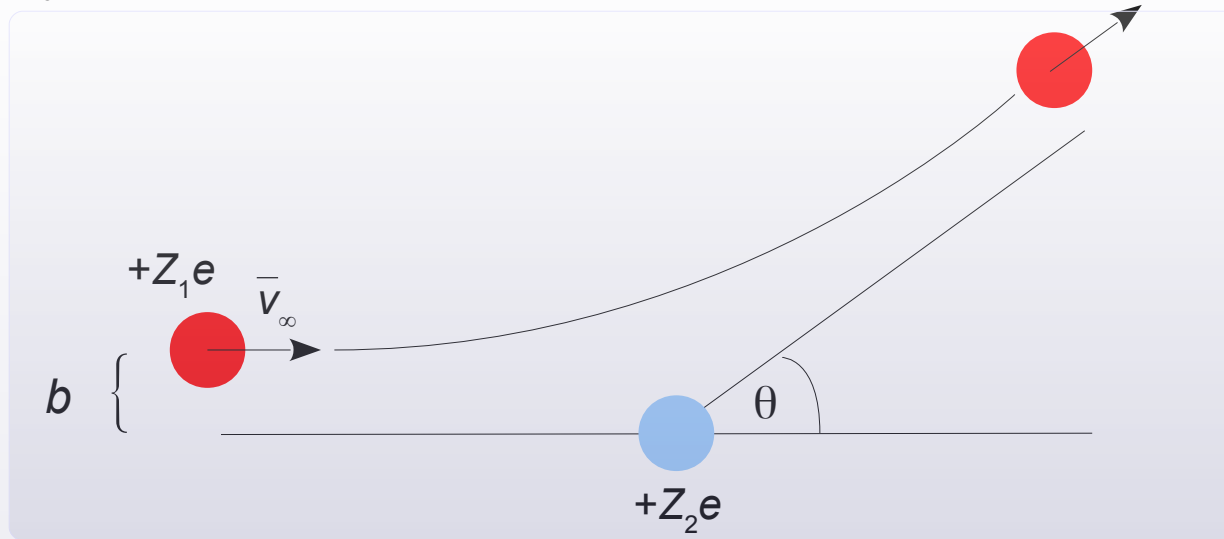
Promień jądra (w przybliżeniu):  $r(A) = r_0 A^{1/3}$  ,  $r_0 = 1.2 \text{ fm}$

- Np. dla zderzeń  ${}^{197}_{79}\text{Au}$  z  ${}^{197}_{79}\text{Au}$  :  $r_{Au} + r_{Au} \approx 14 \text{ fm}$



➔ W zderzeniach jąder  $E_{pot}^{Coulomb} \lesssim 5A \text{ MeV}$ . Przy  $T_{wiazki} \sim 50A \text{ MeV}$ , niewielkie osłabienie ruchu.

- W ujęciu klasycznym:



Hamiltonian z  $E_{pot} \sim \frac{Z_1 Z_2}{r}$   $\longrightarrow$   $\theta(b) = 2 \operatorname{atan} \frac{k Z_1 Z_2 e^2}{b \cdot \mu v_\infty^2}$  ,  $\mu$  : masa zred.

por. K.Siwiek-Wilczyńska, Reakcje fuzji i ich zastosowanie do produkcji nieznaných nuklidów, s. 10

Kąt rozproszenia  $\theta$  monotonicznie maleje z  $b$  !  
Cząstka o wysokim  $b$   $\rightarrow$  niewielkie odchylenie.

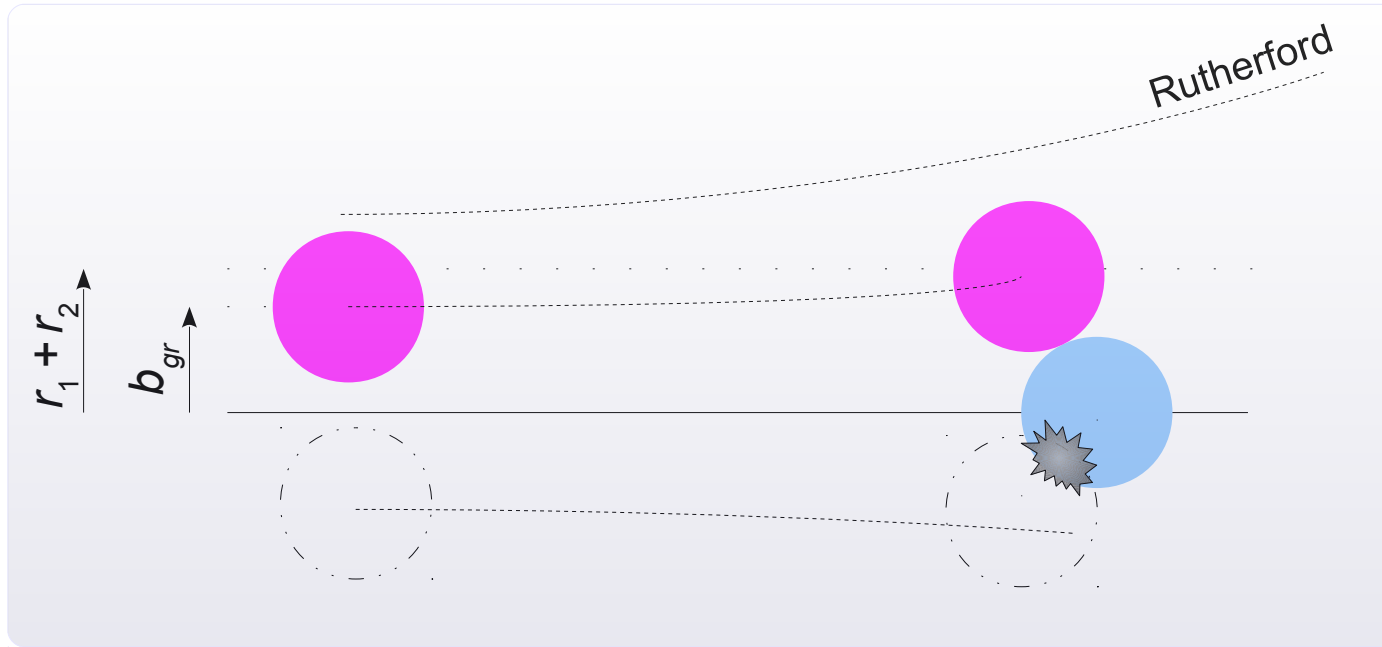


$$\left( \frac{d\sigma}{d\Omega} \right)_{Ruth} = \left( \frac{k Z_1 Z_2 e^2}{4 E_{K,CM}} \right)^2 \frac{1}{\sin^4 \frac{\theta}{2}}$$

, gdzie  $E_{K,CM} = \frac{1}{2} \mu v_\infty^2$

- $\int \left( \frac{d\sigma}{d\Omega} \right) d\Omega = \infty$

Każda cząstka w wiązce „odczuje” to oddziaływanie.  
Cząstki o wysokich  $E_{K,CM}$  „odczują” niewiele ( $\sim 1/E^2$ )



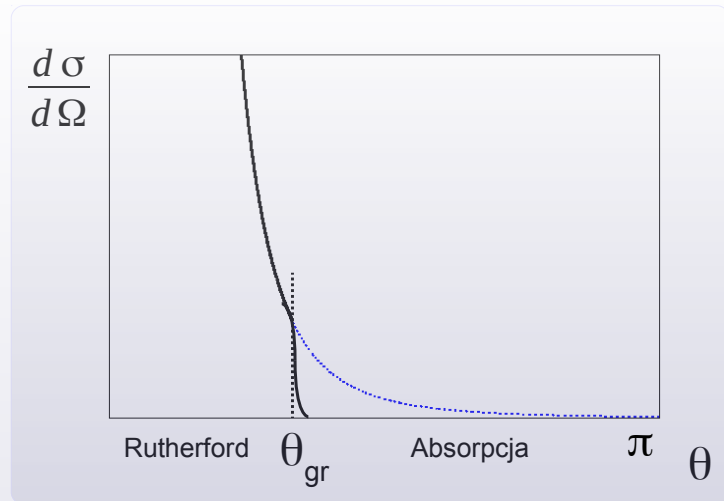
- Model silnej absorpcji:**

$$\theta \in [0, \theta_{gr}] : \left( \frac{d\sigma}{d\Omega} \right)_{rozp} = \left( \frac{d\sigma}{d\Omega} \right)_{Ruth} \quad (\Delta\sigma_r = 0)$$

$$\theta \in [\theta_{gr}, \pi] : \left( \frac{d\sigma}{d\Omega} \right)_{rozp} = 0$$

(wszystkie cząstki, które by się rozproszyły, dokładają się do  $\sigma_r$ )

$\theta_{gr}$  : "grazing angle"



- $$\sigma_r = \int_{\Delta\Omega} \left( \frac{d\sigma}{d\Omega} \right)_{Ruth} d\Omega = 2\pi \cdot \int_{\theta_{gr}}^{\pi} \left( \frac{kZ_1Z_2e^2}{4E} \right)^2 \frac{1}{\sin^4 \frac{\theta}{2}} \cdot \sin\theta d\theta = \dots$$

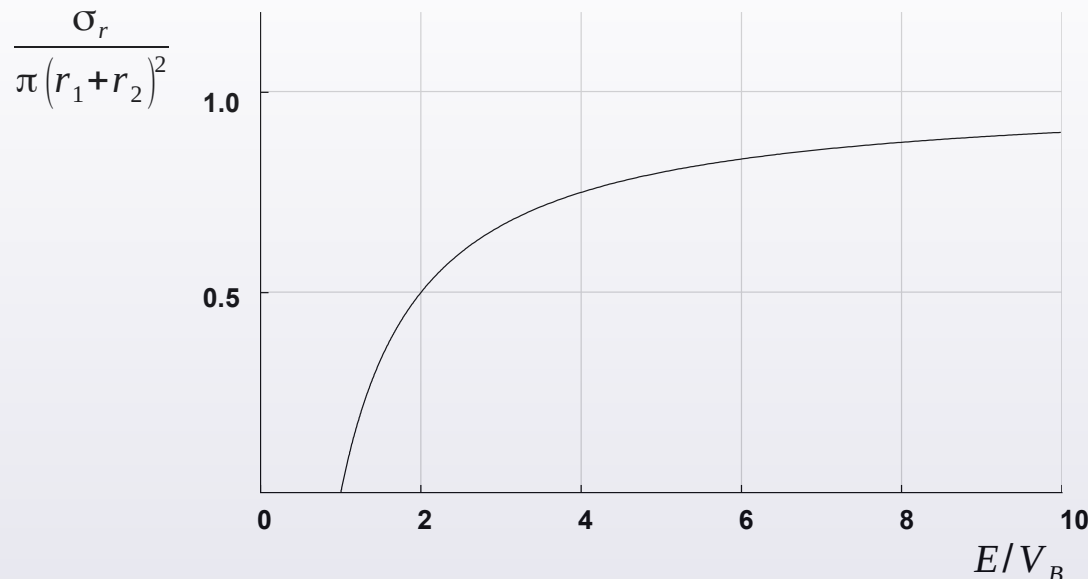
por. K.Siwiek-Wilczyńska, Reakcje fuzji i ich zastosowanie do produkcji nieznanych nuklidów, s. 19

→

$$\sigma_r = \underbrace{\pi(r_1 + r_2)^2}_{\text{Zderzenie kul}} \cdot \underbrace{\left(1 - \frac{V_B}{E}\right)}_{\text{Poprawka}}, \text{ gdzie: } E = \frac{1}{2}\mu v_\infty^2, \quad V_B = \frac{kZ_1Z_2e^2}{r_1+r_2}$$

- Ale  $r \sim A^{1/3}$  →  $\sigma_r \sim (A_1^{1/3} + A_2^{1/3})^2$

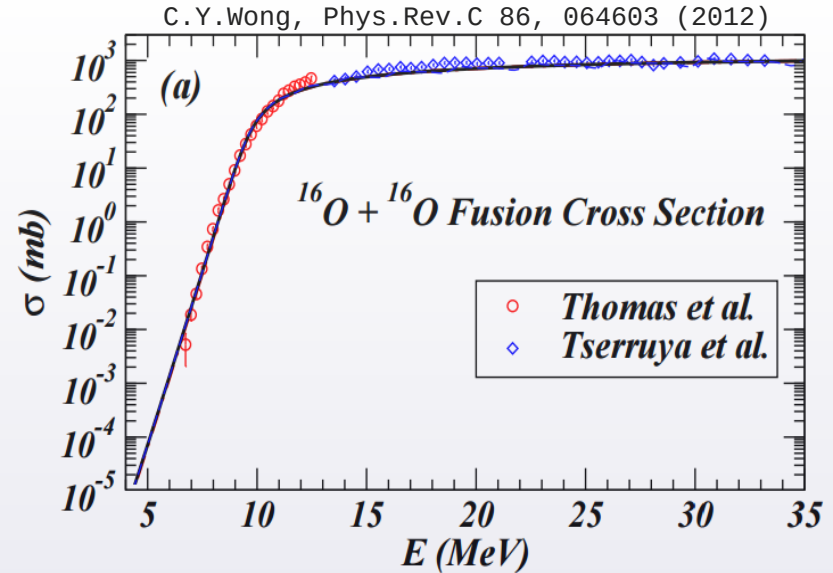
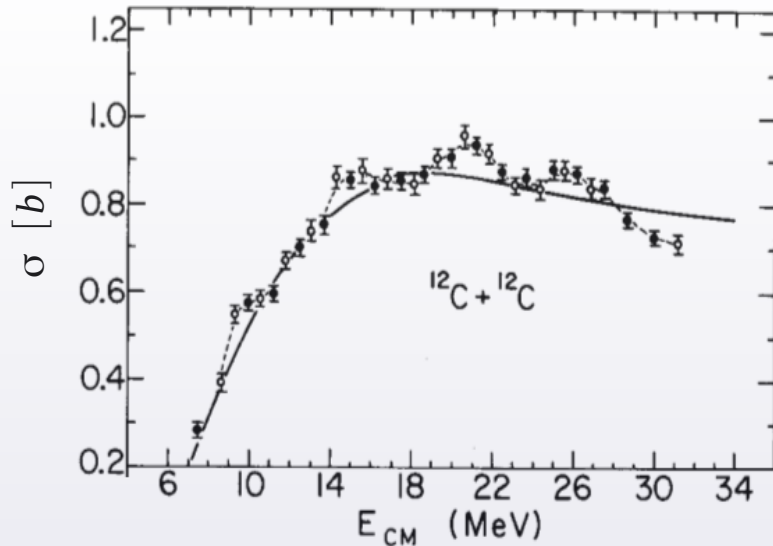
- $\sigma_r = f(E)$ : „**funkcja wzbudzenia**” ( „**excitation function**” )



- Poprawka < 1:  
 jony o  $b \lesssim b_{gr}$ ,  
 zanim doleczą do jądra tarczy,  
 nieco się odchyłą  
 → część uniknie absorpcji.



# Przekrój czynny na reakcję: wyniki pomiarów



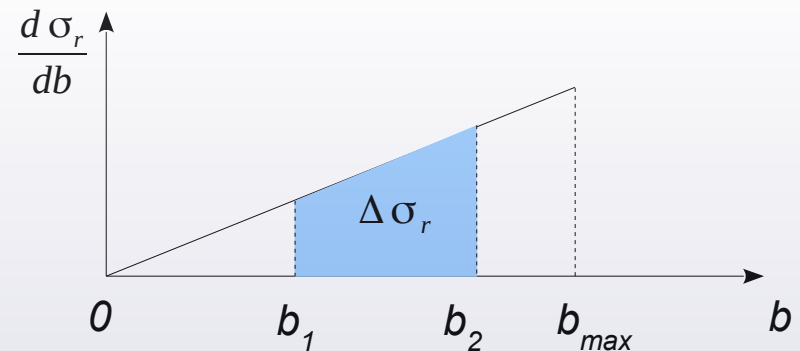
- Wykresy: doświadczalne przekroje czynne na fuzję. Przy  $E \sim$  kilka MeV  $\sigma(E)$  narasta, a następnie nasycy się do wartości  $\pi(r_1+r_2)^2$

- Dla energii relatywistycznych  $E \gg V_B \implies \sigma_r \rightarrow \pi(r_1 + r_2)^2$

- Z drugiej strony, jeśli interesują nas zderzenia tylko w przedziale parametrów  $b \in [b_1, b_2]$ :

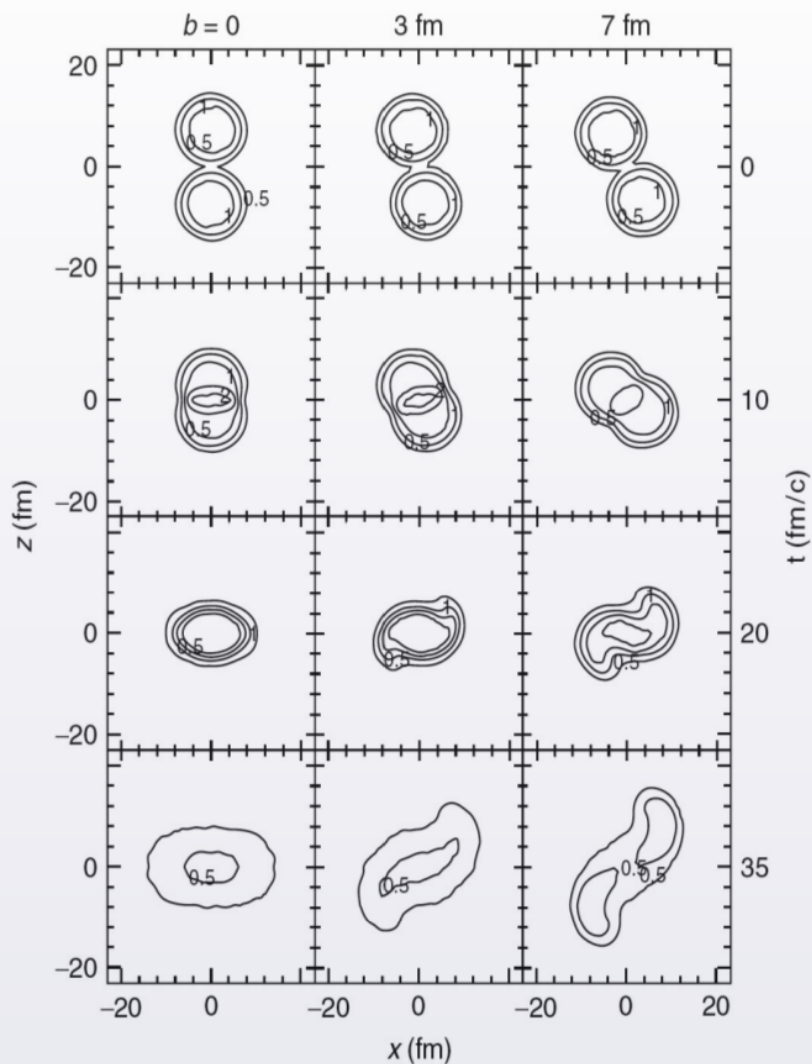
$$d\sigma_r = 2\pi b db \implies \Delta\sigma_r = \pi(b_2^2 - b_1^2)$$

$$\text{Centralność zderzenia [\%]} \equiv \frac{\Delta\sigma_r (b \in [0, b_{max}^{\text{exp}}])}{\sigma_r}$$



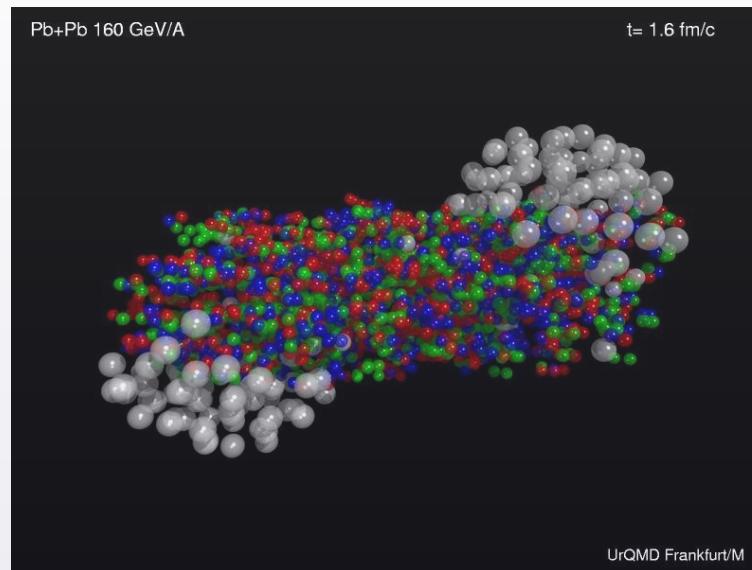
## **5. Model participants – spectators, centralność zderzenia**

- Symulacja zderzenia Au+Au przy  $T_b = 0.4A$  GeV dla trzech różnych parametrów zderzenia (BUU)



P. Danielewicz, Phys. Rev. C 51, 716 (1995)

- Symulacja zderzenia Au+Au przy  $T_b = 160A$  GeV Zderzenie o pośrednim  $b$  (UrQMD)



Kule białe: hadrony  
Kule kolorowe: kwarki i gluony

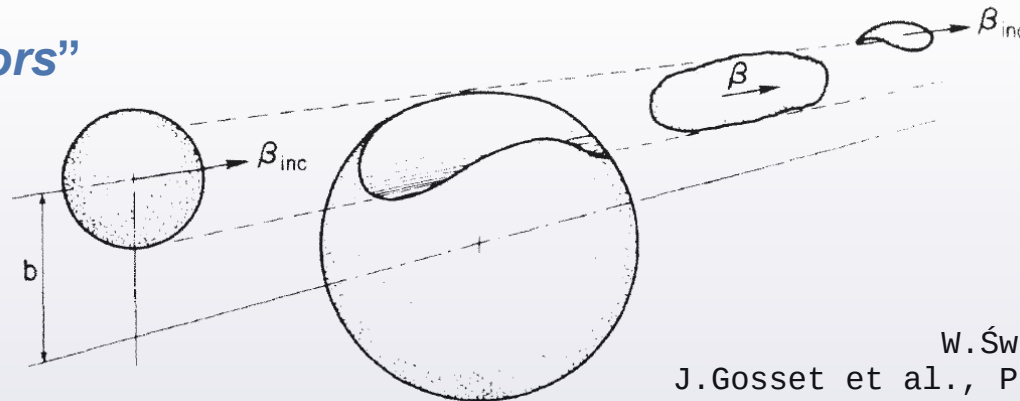


Wyodrębnione strefy:

uczestników (participant) i  
obserwatorów (spectators)

## Model geometryczny "participants-spectators"

(1976/77)



W.Świątecki (1976) unpublished  
J.Gosset et al., Phys. Rev. C 16, 629 (1977)  
G.D.Westfall et al., Phys.Rev.Lett. 37,1202(1976)

- Jądra uderzają w siebie przy parametrze zderzenia  $b \rightarrow$  przekrycie zbliżone do walca. Powstaje "fireball" / "collision zone" (strefa zderzenia).
- Partycypanci (nukleony uczestniczące w zderzeniu) -vs- widzowie.

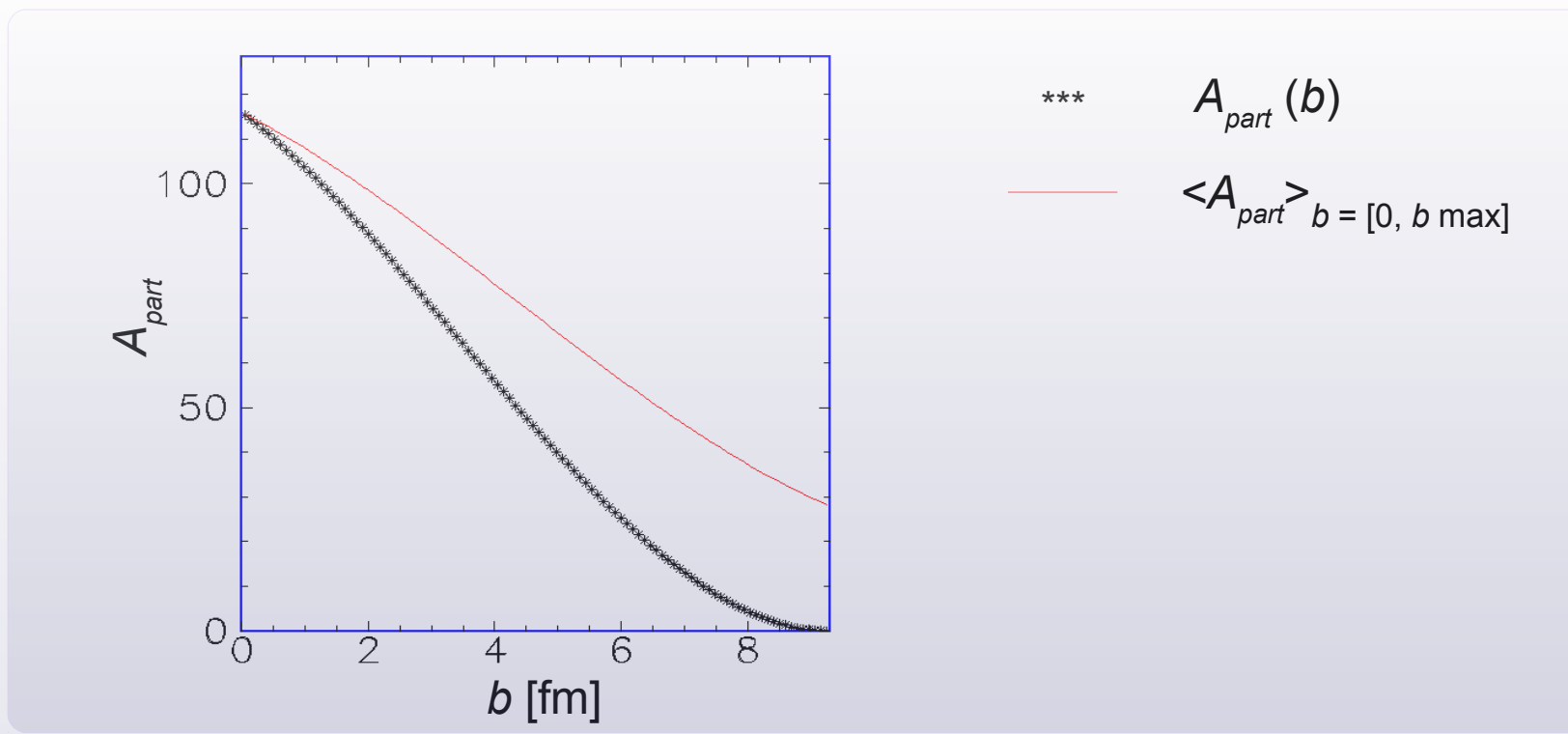
Dla jąder identycznych o promieniach  $R$  każde, liczba partycypantów:

$$A_{part}(b) = 2A \cdot \left[ 1 + \left( \frac{3}{\sqrt{2}} - 3 \right) \frac{b}{2R} + \left( 3 - 2 \frac{3}{\sqrt{2}} \right) \left( \frac{b}{2R} \right)^2 + \left( \frac{3}{\sqrt{2}} - 1 \right) \left( \frac{b}{2R} \right)^3 \right]$$

- W eksperymencie rejestrujemy zderzenia w przedziale parametrów  $b \in (b_1, b_2)$ .  
→ otrzymujemy cały rozkład  $A_{part}$ . Wartość średnia:

$$\langle A_{part} \rangle_{b \in [b_1, b_2]} = \frac{1}{\int_0^{b_{max}} 2\pi b db} \cdot \int_{b_1}^{b_2} A_{part}(b) 2\pi b db$$

- Przykład: zderzenie  $^{58}\text{Ni} + ^{58}\text{Ni}$



- Np. zderzenia przy  $b \in [0, 5]$  fm

$$A_{part}(0 \text{ fm}) = 116$$

$$A_{part}(5 \text{ fm}) = 40$$

$$\langle A_{part} \rangle_b = 67$$

- Niestety, w eksperymencie nie możemy bezpośrednio sterować  $b$ .  
 Jądra zderzane są przy całym zakresie parametrów  $b$ .

Jednak jest sposób na selekcję („zgrubną”) przedziału centralności zderzenia →

Ale... krotność cząstek wyemitowanych w zderzeniu jest silnie skorelowana z  $b$  :

- Np. zderzenia Ni + Ni przy  $T_b = 1.9A$  GeV:

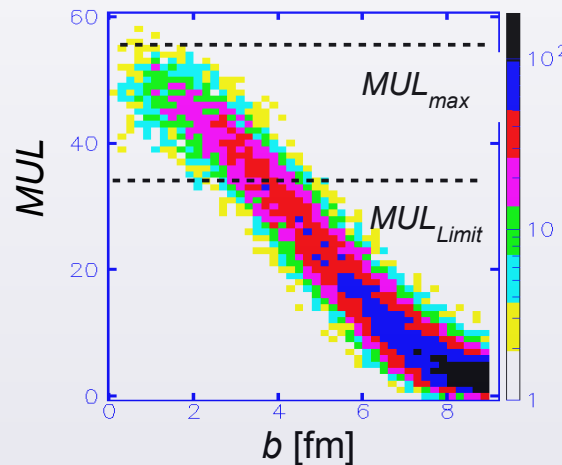
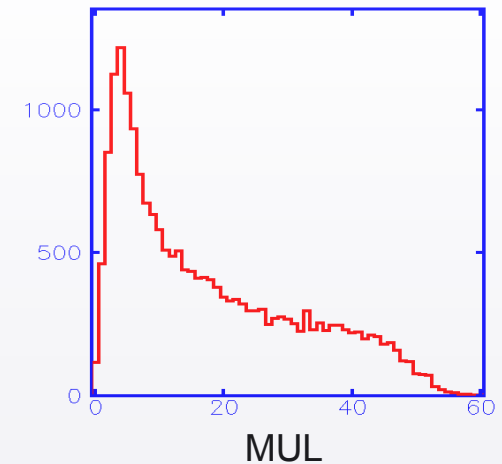
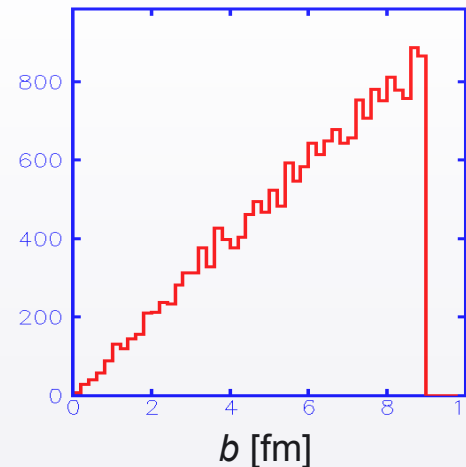
Symulacja. model zderzenia : IQMD ,  
 środowisko : GEANT ,  
 układ doświadcz. : FOPI.

„MUL” = krotność cz. naładowanych wyemitowanych pod  $\theta_{LAB} \in [7^\circ, 100^\circ]$ .

$$\int_0^{b_{Limit}} 2\pi b db = \Delta\sigma_r \sim \int_{MUL_{max}}^{MUL_{Limit}} dMUL$$

$$\text{Centralność [\%]} = \frac{\sum_{MUL_{max}}^{MUL_{Limit}} dMUL}{\sum MUL}$$

W eksperymencie można zażądać, aby układ rejestrował zdarzenie  $\Leftrightarrow MUL > MUL_{Limit}$ .  
 Zadanie to spełnia elektroniczny układ **trygera**.  
 Jednak wtedy brak doświadczalnej  $MUL_{max}$ .



Nomenklatura: zderzenia centralne,  
 semi-centralne,  
 peryferyjne...

# Doświadczalny przekrój czynny dla klasy centralności

- Często: tryger (online) narzuca minimalne odcięcie  $MUL$ . Detektory rejestrują  $N_{trigger}$  zdarzeń. Przed tarczą: detektor wiązki rejestruje  $N_{beam}$  jonów wiązki.

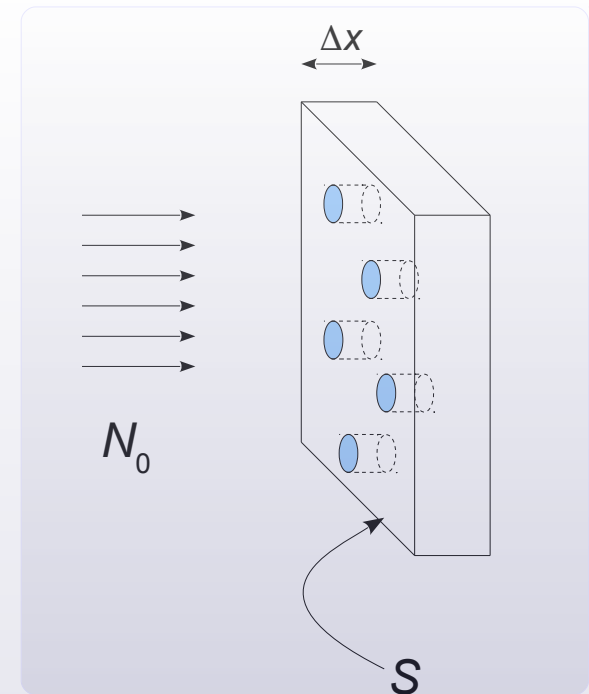
$$\frac{N_{trigger}}{N_{beam} \cdot P_{int}} = \text{Centralność [\%]} \approx \frac{\Delta\sigma (b = [0, b_{Limit}])}{\sigma_r} \approx \frac{\pi b_{Limit}^2}{\pi [r_0 (A_B^{1/3} + A_T^{1/3})]^2}$$

- Prawdopodobieństwo  $P_{int}$  reakcji jądra wiązki z jądrem tarczy

$$\left\{ \begin{array}{l} P_{int} = \frac{\Delta S}{S} \\ \Delta S = \sigma_r \cdot n_T \cdot S \cdot \Delta x \\ \frac{n_T}{N_A} = \frac{\rho_T}{A_T} \\ \sigma_r \approx \pi [r_0 (A_B^{1/3} + A_T^{1/3})]^2 \end{array} \right.$$



$$P_{int} = \sigma_r \cdot \frac{(\rho \Delta x)_T}{A_T} \cdot N_A$$



- Typowe tarcze mają grubości tak dobrane, aby:  $P_{int} \sim 1\%$

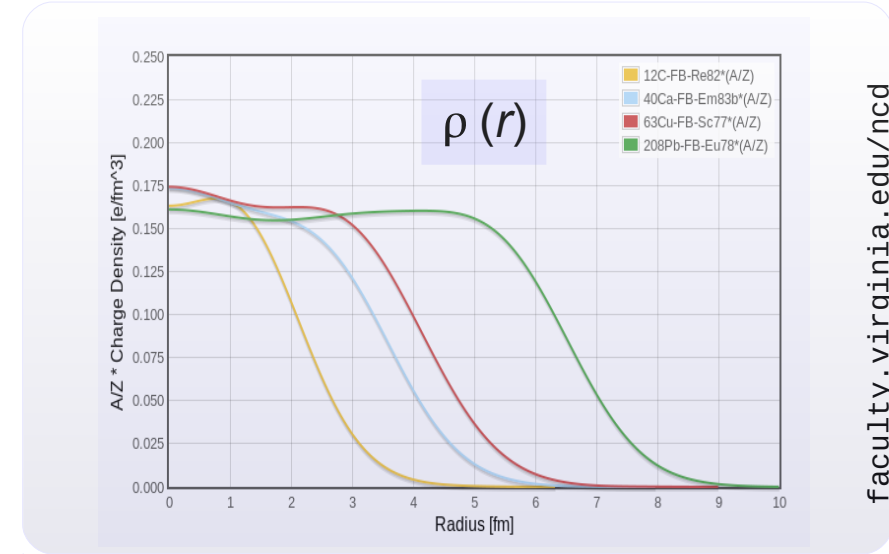
$$P_{int} \propto (\rho \Delta x)_T$$



Grubość tarczy często podawana w:  $\rho \Delta x$  [mg/cm<sup>2</sup>]

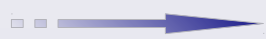
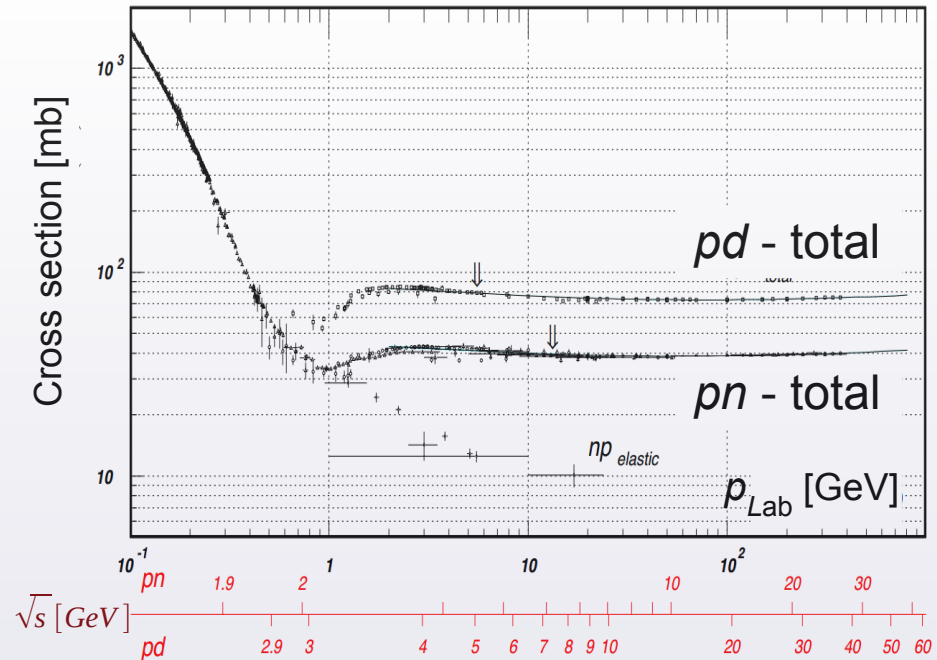
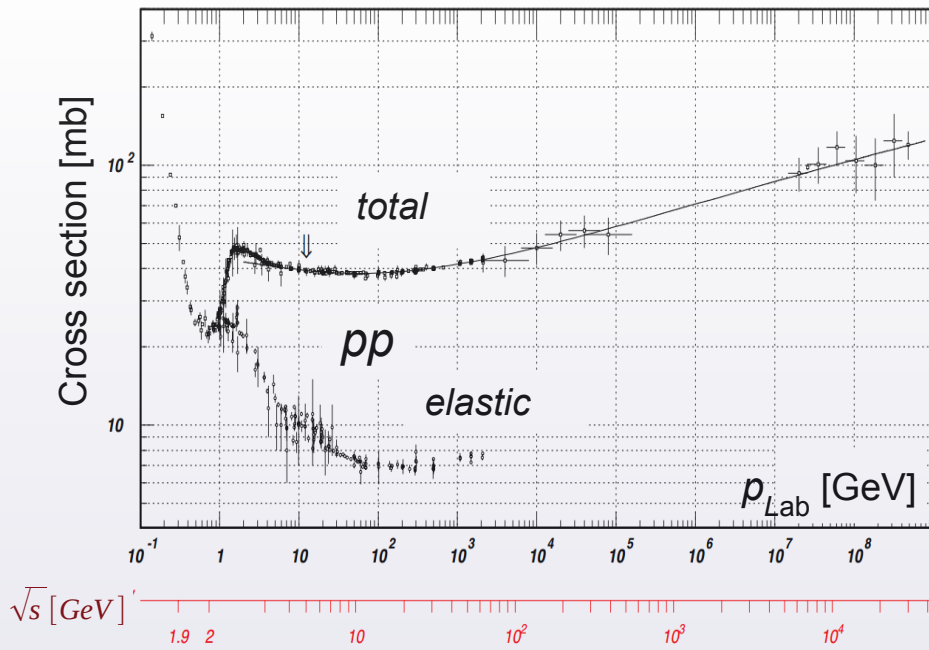
# Model Glaubera

- Relatywistyczne zderzenie jąder:
  - zbudowane z sumy pojedynczych zderzeń NN
  - profil jądra jest rozmyty.  
[  $\rho(r) \sim \text{Woods-Saxon}$  ]
- Przekrój czynny na zderzenie NN nie jest stały.



faculty.virginia.edu/ncd

[journals.aps.org/prd/abstract/10.1103/PhysRevD.86.010001](https://journals.aps.org/prd/abstract/10.1103/PhysRevD.86.010001)

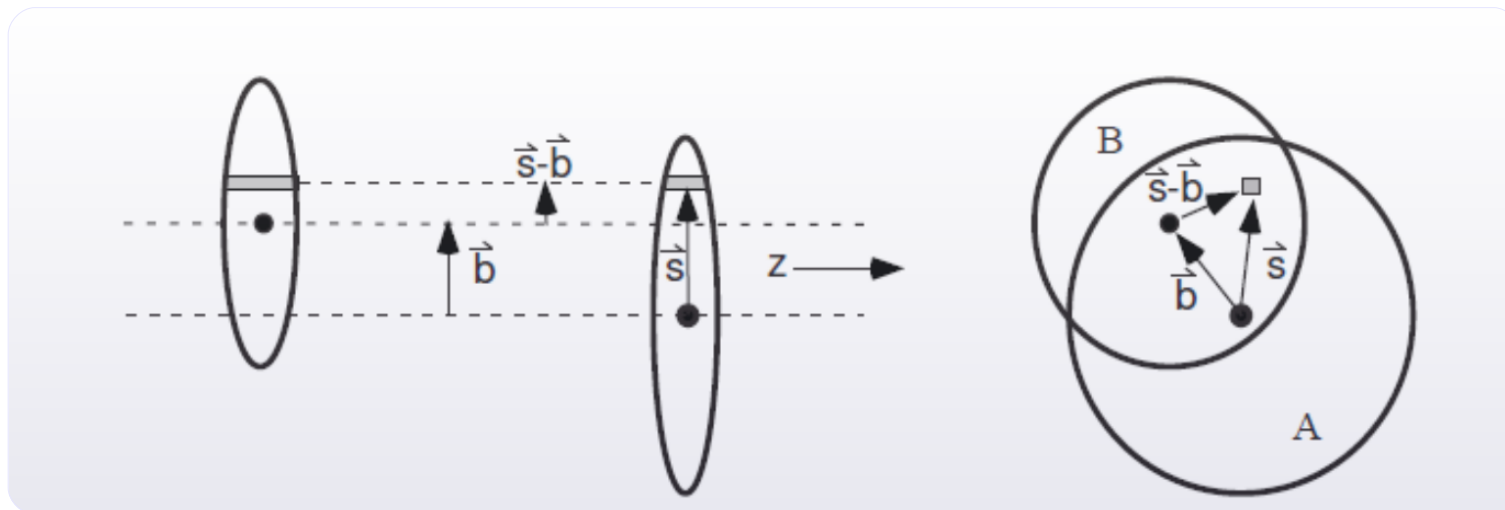


Wahnięcie + szerokie plateau  $\sigma_{\text{NN}} \approx 40..50 \text{ mb}$



Talk: J. Wilkinson, [www.physi.uni-heidelberg.de/~reygers/lectures/2014/qgp\\_journal\\_club/talks/2014-08-18-glauber-model.pdf](http://www.physi.uni-heidelberg.de/~reygers/lectures/2014/qgp_journal_club/talks/2014-08-18-glauber-model.pdf)

Opis: P. Shukla, [cds.cern.ch/record/531187/files/0112039.pdf](http://cds.cern.ch/record/531187/files/0112039.pdf)



- Zderzenie jąder A z B przy parametrze zderzenia  $b$ . Jądra mają profile  $\rho(r)$ . Zderzenie jąder  $\equiv$  suma zderzeń indywidualnych nukleonów.

- Funkcja grubości  $T_A$  [ $\text{m}^{-2}$ ]:

$$T_A(\vec{s}) = \int n_T(\sqrt{\vec{s}^2 + z^2}) dz, \quad \int T_A(\vec{s}) d^2s = 1$$

- Funkcja przekrycia  $T_{AB}$ :

$$T_{AB}(\vec{b}) = \int d^2s T_A(\vec{s}) T_B(\vec{s} - \vec{b}), \quad \int T_{AB}(\vec{b}) d^2b = 1$$

$$\rightarrow T_{AB}(b) \cdot \sigma_{\text{NN, inel.}} = \text{prawdopodobieństwo pojedynczego zderzenia NN}$$

- Ilość zderzeń NN podlega statystyce r. binomialnego. Prawdopodobieństwo  $n$  zderzeń NN:

$$P(n, b) = \binom{AB}{n} [T_{AB} \sigma_{NN, inel}]^n [1 - T_{AB} \sigma_{NN, inel}]^{AB-n}$$

- Całkowity przekrój czynny na zderzenie jądro-jądro :  
Do zderzenia jądro-jądro dochodzi, gdy dojdzie przynajmniej do 1 zderzenia NN:

$$P(\text{min. 1 zderzenie NN}) = 1 - P(0 \text{ zderzeń NN})$$

$$\sigma_{AB, inel} = 2\pi \int_0^\infty \left\{ 1 - [1 - T_{AB}(b) \sigma_{NN, inel}]^{AB} \right\} b db$$

- Liczba „binarnych” zderzeń NN:

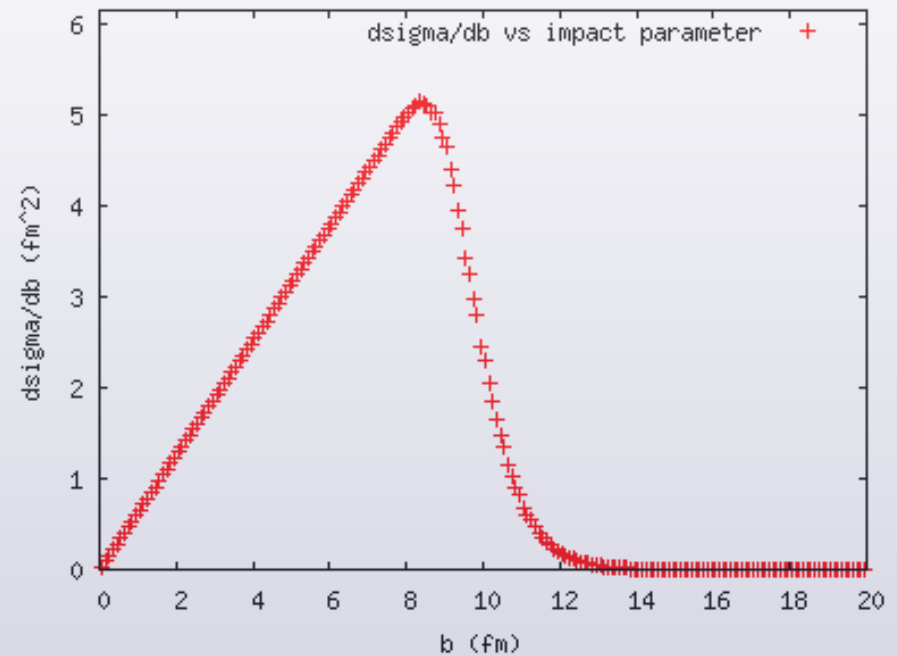
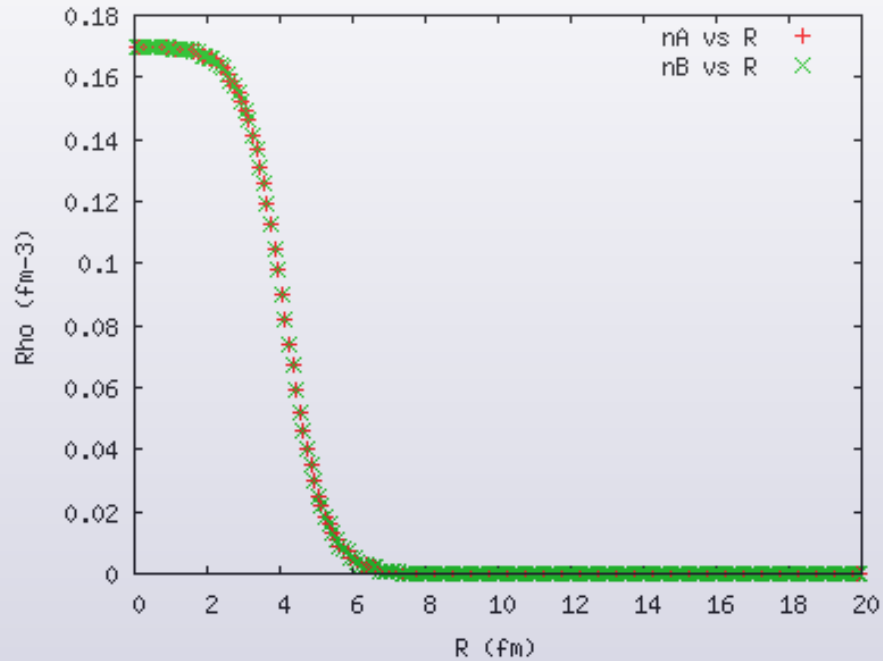
$$N_{coll}(b) = \sum_{n=1}^{AB} n P(n, b) = \dots = AB \cdot T_{AB}(b) \sigma_{NN, inel}$$

- Liczba nukleonów-partycypantów:

$$N_{part}(b) = A \int T_A(\vec{s}) \left\{ 1 - [1 - T_B(\vec{s} - \vec{b}) \sigma_{NN, inel}]^B \right\} d^2 s + \\ B \int T_B(\vec{s} - \vec{b}) \left\{ 1 - [1 - T_A(\vec{s}) \sigma_{NN, inel}]^A \right\} d^2 s$$

- Model Glaubera online (+ tutorial) : [web-docs.gsi.de/~misko/overlap/](http://web-docs.gsi.de/~misko/overlap/)

Np. dla zderzenia  $^{58}\text{Ni} + ^{58}\text{Ni}$ :



	Jednolite kule	Woods-Saxon
$\langle A_{part} \rangle_b$	60	65
$\langle N_{coll} \rangle_b$	99	93

- Cząstki istniejące przed zderzeniem:
  - Multifragmentacja / Ewaporacja
  - Koalescencja,
  - Czasowe wzbudzenie (np.  $NN \rightarrow N\Delta(1232)$ ,  $\Delta \rightarrow N\pi$ )
- Produkcja nowych cząstek (np.  $NN \rightarrow NK^+\Lambda$ )
- (ew.) Absorpcja cząstek wcześniej wyprodukowanych (np.  $K^-N \rightarrow \pi\Lambda$ )
- Emisja:
  - model termiczny
  - stopping
  - ruchy kolektywne: pływ radialny, skierowany, eliptyczny
- Równanie stanu materii jądrowej
- Modyfikacje własności cząstek w materii jądrowej

## **6. Multifragmentacja vs ewaporacja**

# Multifragmentacja

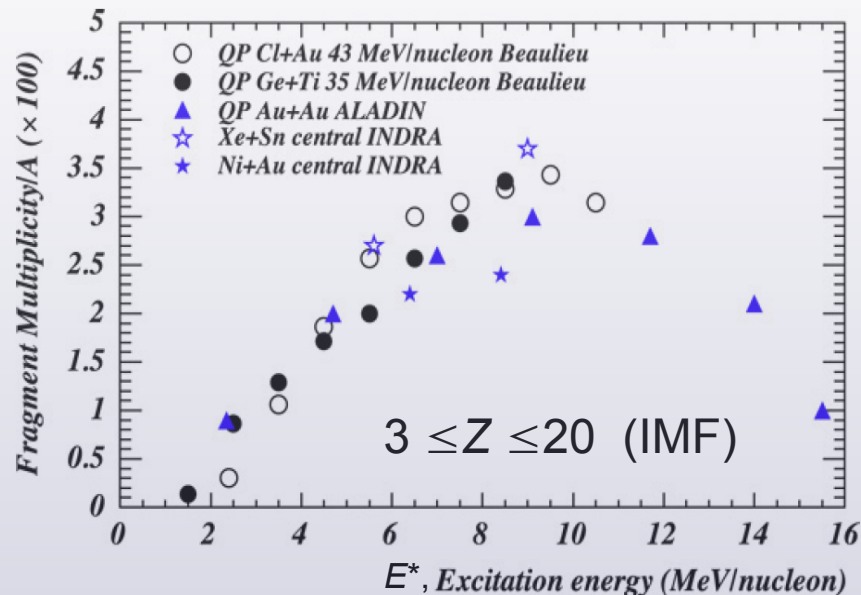
- S. Das Gupta, A.Z. Mekjian, M.B. Tsang, „Liquid-gas phase transition in Nuclear Multifragmentation”, s. 98

[link.springer.com/chapter/10.1007%2F0-306-47915-X\\_2](http://link.springer.com/chapter/10.1007%2F0-306-47915-X_2)

is comparable with  $\tau_{re}$ . At excitation energy comparable to binding energy  $\epsilon \approx 8$  MeV/nucleon the very existence of a long-lived compound nucleus is unlikely which leads to the scenario of an explosion-like process involving the whole nucleus. This will lead to multiple emission of nuclear fragments of different masses. This is what is called “multifragmentation” where ‘multi’ is more than two. Associated with multifragmentation is a term Intermedi-

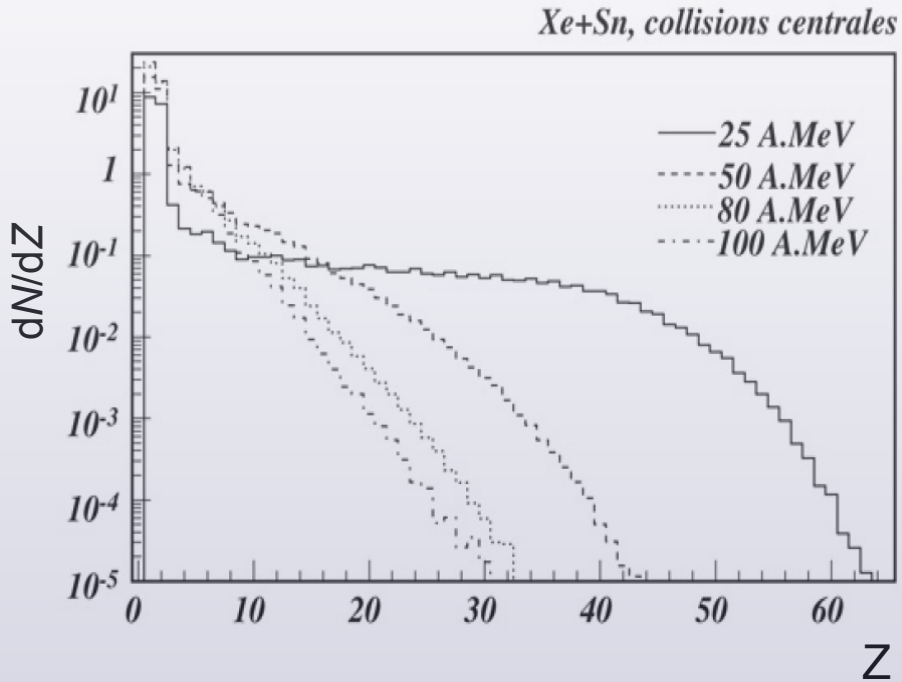
- Nazewnictwo emitowanych cząstek:
  - $1 \leq Z \leq 2$  : **LCP** (Light Charged Particle)
  - $3 \leq Z \leq 20$  : **IMF** (Intermediate Mass Fragment)

- Produkcja IMF w funkcji energii wzbudzenia  $E^*$  jądra na nukleon (lub wzbudzonego fragmentu, np. spektatora pochodzącego od jądra wiązki:  $QP = quasiprojectile$  ).



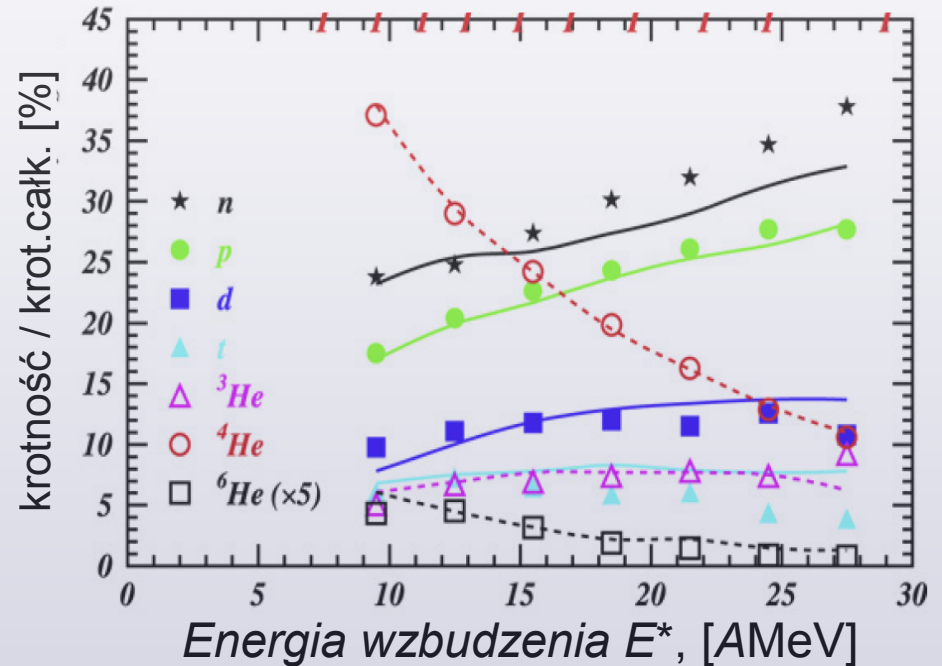
- „Początek” IMF przy  $E^*/A_{\text{źródła}} \approx 2$  MeV.
- Maksimum przy  $E^*/A_{\text{źródła}} \approx 9$  MeV (nb.  $E_B$  jądra/nukleon)
- Q: Co się dzieje przy wyższych energiach?

- Rozkład liczby masowej  $Z$  fragmentów emitowanych ze zderzeń  $^{129}\text{Xe} + \text{nat}\text{Sn}$  przy energiach wiązki 25A – 100A MeV



B.Borderie, M.F.Rivet, Prog.Part.Nucl.Phys. 61, 551 (2008)

- Procentowy wkład danych fragmentów w zależności od energii wzbudzenia  $E^*$ .  
 Dane dla zderzenia  $^{95}\text{Ar} + ^{197}\text{Au}$  przy  $T_b = 95\text{A MeV}$

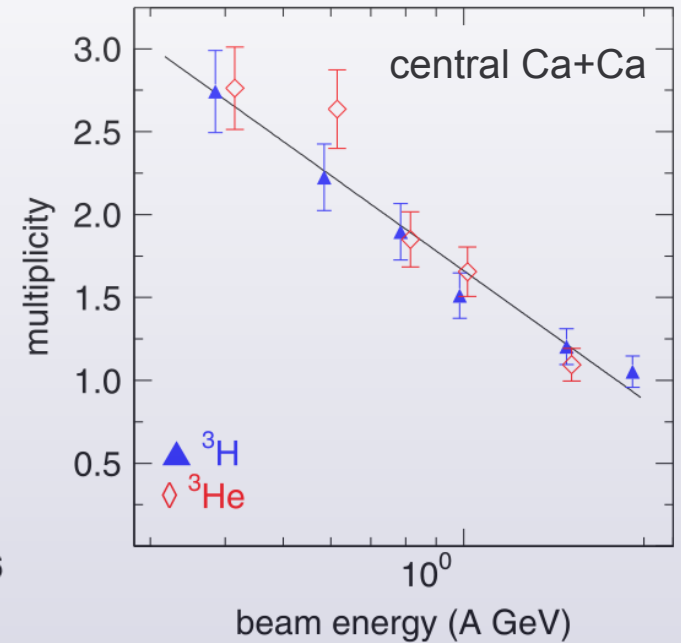
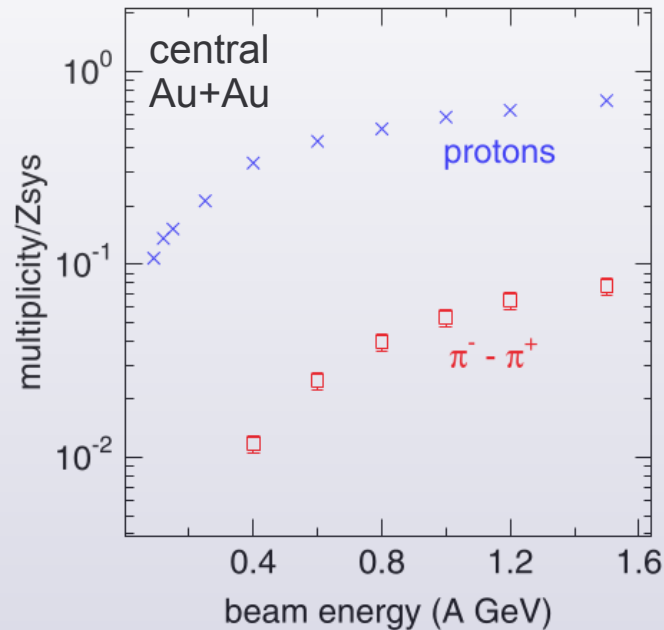
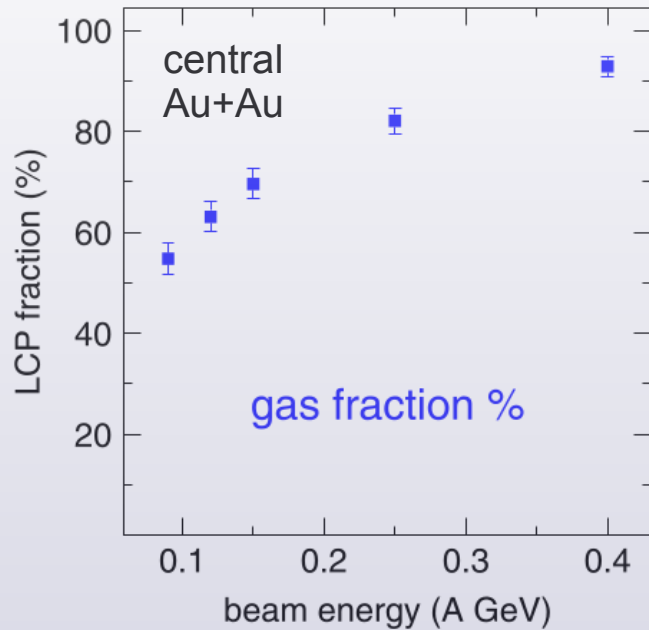


Im wyższe  $E_{\text{wzbudzenia}} / A$ :

Rośnie wkład emisji fragmentów lekkich (LCP) kosztem cięższych (IMF).  
 Strefa zderzenia lub dany spektator dzieli się na coraz mniejsze fragmenty.

# Dalsze zawężanie do emisji LCP

- **LCP** :  $1 \leq Z \leq 2$  (Light Charged Particle) ~ cząsteczki gazu
- **IMF** :  $3 \leq Z \leq 20$  (Intermediate Mass Fragment) ~ kropelki cieczy



W.Reisdorf et al., Nucl.Phys. A 848, 366 (2010)



- Z energią wiązki: wzrost LCP na rzecz IMF
- Równowaga „ciecz” - „gaz” (50-50) :  $T_B \sim 80A \text{ MeV}$
- Również krotność  $^3\text{H}$  i  $^3\text{He}$  maleje z energią wiązki,



## 7. Produkcja nowych cząstek

# Produkcja barionów $\Delta$

- Bariony  $\Delta(1232)$  :  $\Delta^{++}$ ,  $\Delta^+$ ,  $\Delta^0$ ,  $\Delta^-$   
                           uuu    uud    udd    ddd

$$m = 1,23 \text{ GeV}$$

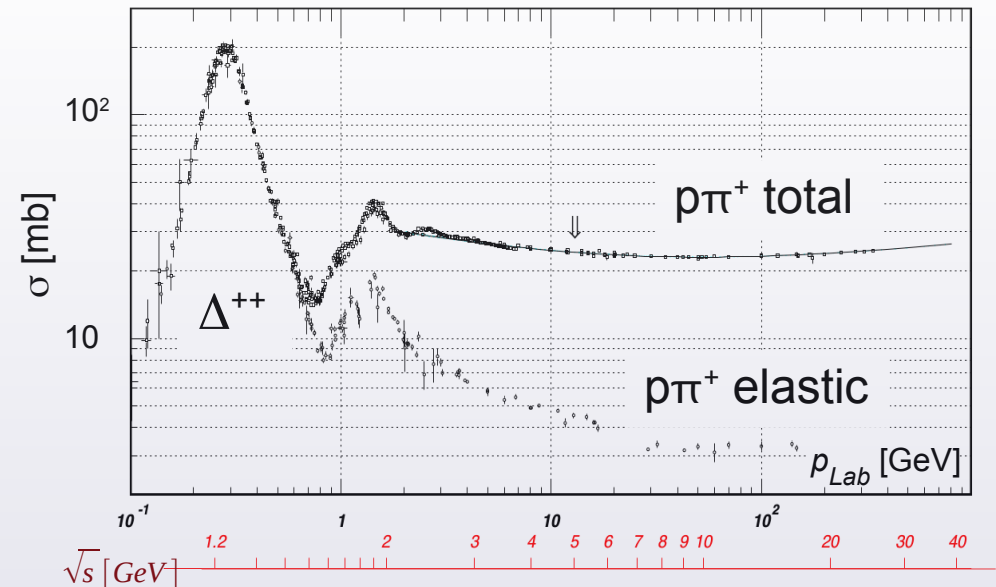
$$\Gamma = 0,12 \text{ GeV} \rightarrow \tau = 5.6 \cdot 10^{-24} \text{ s}$$

$$(c\tau = 1.7 \text{ fm !})$$

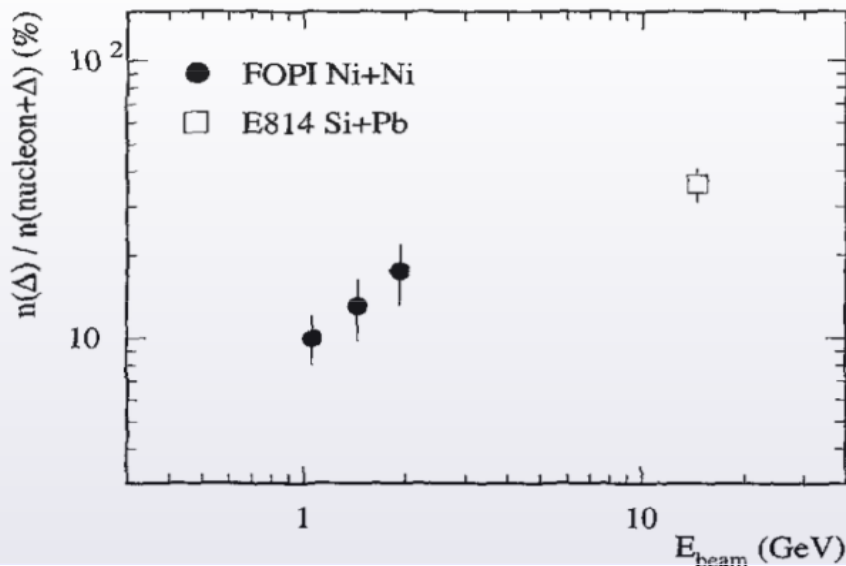
- Rozpady  $\Delta$  (>99%)
 

{	$\Delta^{++} \rightarrow p \pi^+$
	$\Delta^+ \rightarrow p \pi^0, n \pi^+$
	$\Delta^0 \rightarrow p \pi^-, n \pi^0$
	$\Delta^- \rightarrow n \pi^-$

- Przekrój czynny na  $p\pi^+ \rightarrow \dots$



B.Hong et al., Phys.Lett.B 407, 115 (1997)



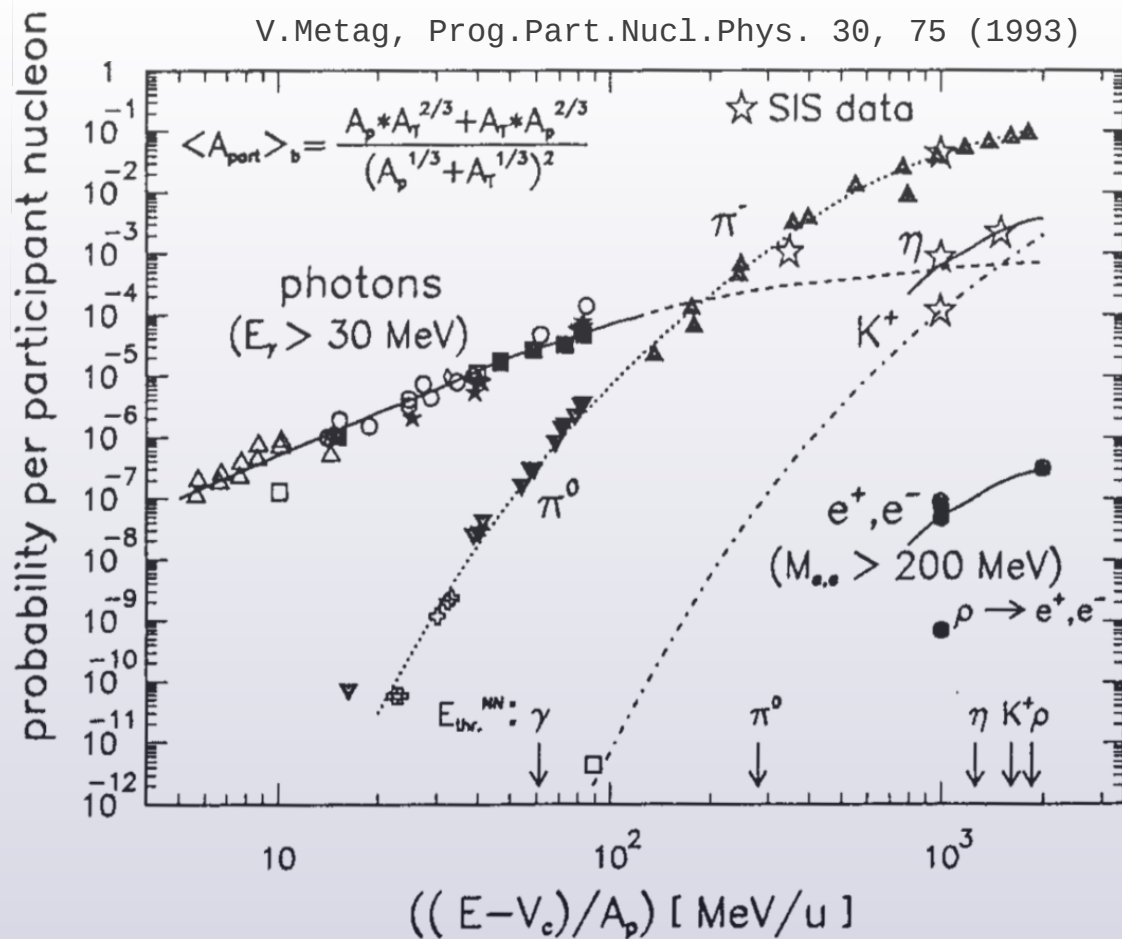
Przy  $T_B \rightarrow 1..2A \text{ GeV}$

Z widm energii  $\pi^-$  wydzielano składnik pochodzący z rozpadu  $\Delta^{0,-} \rightarrow N\pi^-$ .  
 Stąd ekstrapolowano do wszystkich  $\Delta$ .

$$N_{\Delta(1232)} : N_N \approx 10 \dots 20 \text{ procent !}$$

Przy  $T_b \gtrsim 1 \text{ GeV}$ :

„materia rezonansowa” / „resonance matter”



Typ	Skład	$m$ [GeV/c <sup>2</sup> ]
$\pi^0$	$\frac{1}{\sqrt{2}}(u\bar{u} - d\bar{d})$	135
$\pi^-$	$d\bar{u}$	140
$K^+$	$u\bar{s}$	495
$\eta$	$\frac{1}{\sqrt{6}}(u\bar{u} + d\bar{d} - 2s\bar{s})$	548
$\rho^0$	$\frac{1}{\sqrt{2}}(u\bar{u} - d\bar{d})$	776

- Krotność produkcji na zderzenie:

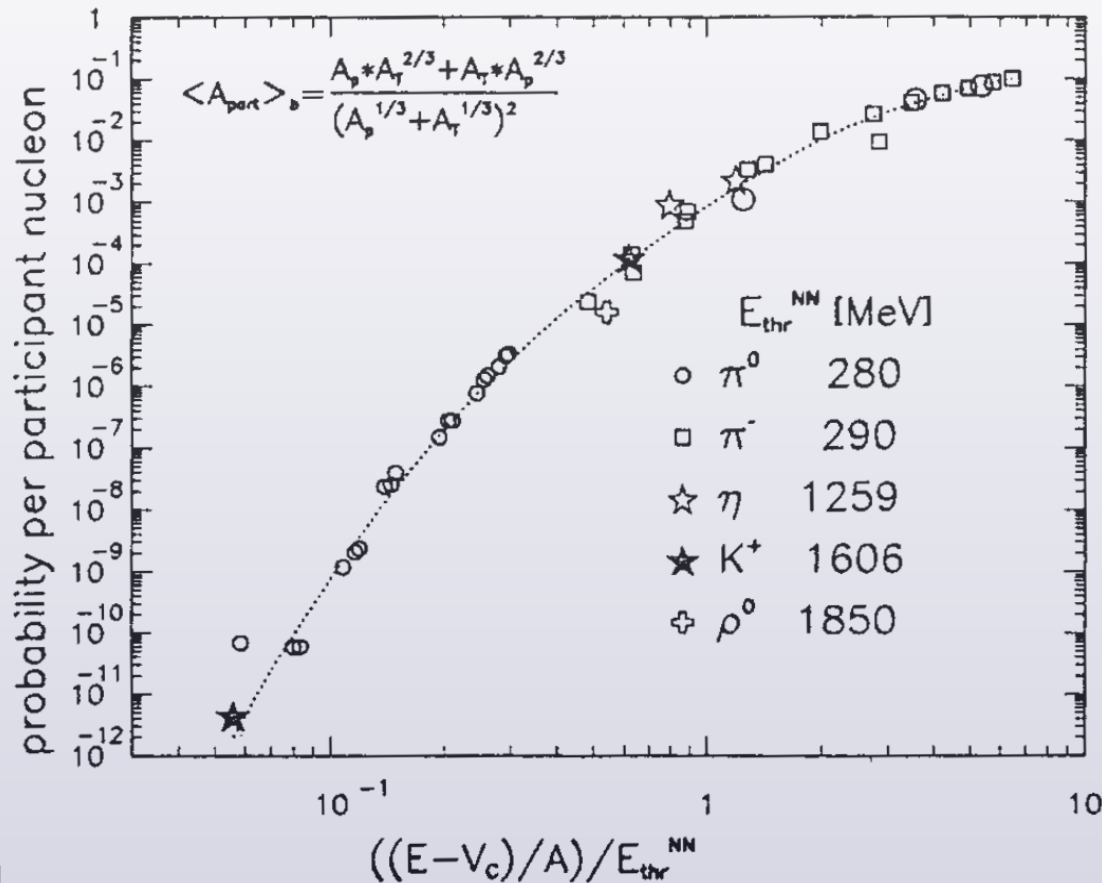
$$N_{cz\acute{a}stka} = \frac{\sigma_{cz\acute{a}stka}}{\sigma_{reakcja}}$$

- Wykres:

$$\frac{N_{cz\acute{a}stka}}{\langle A_{part} \rangle_{b \in [0, b_{max}]}} = f \left( \frac{T_B - V_{Coul}}{A_T} \right)$$

- Produkcja fotonów i mezonów ( $q\bar{q}$ ): – dla każdej z cząstek narasta z  $T_B$ ,  
– „rozpoczyna się” głęboko poniżej progu NN
- Już od  $T_B \approx 20A$  MeV : produkcja  $\pi^0$ .  
Przy  $T_B \approx 800A$  MeV (a nawet  $80A$  MeV!) : produkcja cząstek z kwarkiem dziwnym

- V. Metag, 1993:  
Jeśli dla każdego przypadku produkcji mezonu, podzielić  $T_b/A$  przez  $T$  progową,  
To niemal wszystkie dane uplasują się na jednej krzywej.



- Oś X:

$$\frac{T_B - V_{Coul}}{A_T}$$



$$\frac{T_B - V_{Coul}}{A_T} / T_{progowa NN}$$

- Skalowanie:

przechodzi przez 11 rzędów wielkości !

$$\frac{P}{\langle A_{part} \rangle} = N \cdot \exp(P_0 + P_1 x + P_2 x^2)$$

$$\begin{cases} N = 9.36 \times 10^{-4} \\ P_0 = 3.76 \\ P_1 = -0.817 \\ P_2 = 0.091 \end{cases}$$

- Q: czyżby produkcję cząstek należało rozpatrywać globalnie, jako zjawisko zależne tylko od dostępnej energii?

## Podsumowanie etapu:

- W zderzeniach AA:

$T_b \sim 10 \text{ A MeV}$  : dominuje multifragmentacja (IMF,  $Z \geq 3$ )

$T_b \gtrsim 100 \text{ A MeV}$  : emisja IMF słabnie, dominacja LCP ( $Z \leq 2$ )  
produkcja nowych cząstek: fotony, mezony, bariony  $\Delta$

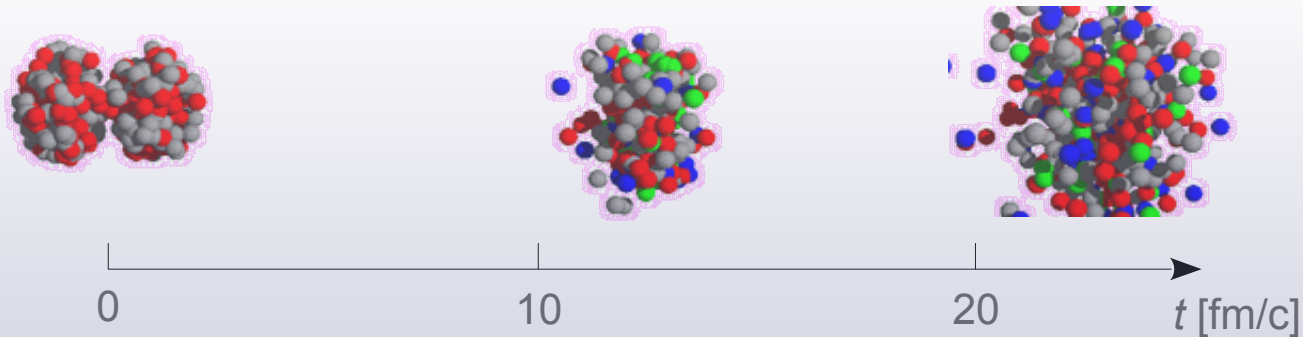
$T_b \approx 0.8A \text{ GeV}$  : wyraźnie zaobserwowana produkcja cząstek z kwarkiem s

$T_b \approx 1 A \text{ GeV}$  : Wkład barionów  $\Delta$  osiąga 10%.

- Zjawiska: **podprogowa** produkcja cząstek (poniżej progu NN) – wyraźnie widoczne  
**globalne skalowanie** produkcji niekt. mezonów – spektakularne

- **Q:** Czy istnieje model, który opisuje krotności wyemitowanych cząstek za pomocą prostego mechanizmu, niewielkiej liczby wielkości fizycznych, tak aby zmiana np. 1 czy 2 wielkości generowała wyraźny wzrost wszystkich krotności?

## 8. Model statystyczny emisji cząstek



- **Freeze-out** (wymrożenie) : końcowy etap zderzenia, w którym ustaje produkcja cząstek (za wyjątkiem rozpadów cząstek długożyciowych) oraz ich wzajemne oddziaływania

Można też definiować 2 rodzaje *freeze-outu*:

- ↪ **Freeze-out chemiczny** : ustaje produkcja cząstek
- ↪ **Freeze-out termiczny** : ustaje oddziaływanie pomiędzy cząstkami

## MODEL STATYSTYCZNY

- Hipoteza: przed *freeze-out* doszło do **równowagi termodynamicznej**. Zaszły:
  - ↪ **Równ. chemiczna** : liczby/proporcje wszystkich cząstek ustaliły się równowagowo,
  - ↪ **Równ. termiczna** : rozkłady emisji stały się równowagowe. *Uwaga*: zatarcie pamięci

# Model statystyczny emisji cząstek (zarys)

- Zbiór emitowanych cząstek : układ izolowany  $N$  cząstek o całkowitej energii  $E$  .  
W układzie dla pojedynczej cząstki dostępne są stany o  $E_i$ . Dla cząstek relatywistycznych,

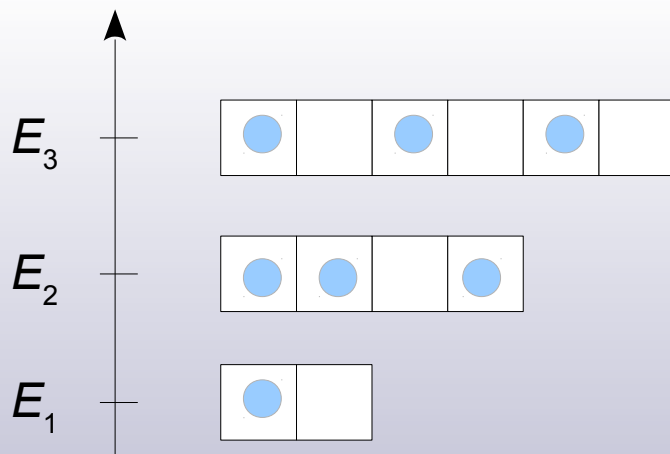
$$E_i = \sqrt{p_i^2 + m_i^2}$$

→ daną energię można osiągnąć albo przez pęd (wektor), albo przez masę.

- Makrostan** (obsadzenie stanów energetycznych).  
1 makrostan może być realizowany przez wiele **mikrostanów**.

- Więzy układu:  $N = \sum_i N_i$  ,  $E = \sum_i N_i \cdot E_i$  , ...

⊕ inne prawa zachowania:  $Q \equiv$ całkowity ładunek,  $B \equiv$ całk. liczba barionowa,  $S \equiv$ całk. dziwność



$S_i$	$N_i$	$p_i$
6	3	0.50
4	3	0.75
2	1	0.50

- $p_i \equiv$ prawdopodobieństwo obsadzenia stanu  $E_i$

$$p_i = N_i / S_i$$

$\Omega_i \equiv$ liczba kombinacji realizujących stan  $E_i$

$$\Omega_i = \frac{S_i!}{(S_i - N_i)! \cdot N_i!}$$

- Szukamy rozkładu prawdopodobieństwa  $p(E)$  dla najbardziej prawdopodobnego obsadzenia stanów energetycznych, który zarazem spełnia więzy.

- Liczba możliwości przy pewnym układzie obsadzeń (*wariant dla fermionów*) :

$$\Omega = \prod_i \frac{S_i!}{(S_i - N_i)! \cdot N_i!}$$



# Model statystyczny emisji cząstek (zarys)

- Najbardziej prawdopodobne obsadzenie:  $d\Omega = 0$

Pochodna po silni trudna...

$$d\Omega = 0 \quad \longrightarrow \quad d \ln \Omega = 0$$

$$\ln \Omega = \sum_i [\ln s_i! - \ln(S_i - N_i)! - \ln N_i!] \quad \dots \approx \quad \dots \quad \sum_i [S_i \ln S_i - (S_i - N_i) \ln(S_i - N_i) - N_i \ln N_i]$$

- Warunek ekstremum:

$$n! \approx \left(\frac{n}{e}\right)^n \sqrt{2\pi n}$$

$$0 = d \ln \Omega = \sum_i \frac{\partial \ln \Omega}{\partial N_i} dN_i \quad \dots \approx \quad \dots \quad \sum_i \left[ \ln \left( \frac{S_i}{N_i} - 1 \right) dN_i \right]$$

- ⊕ zasady zachowania, dostawione metodą mnożników Lagrange'a :

$$d \ln \Omega \approx \sum_i \left[ \ln \left( \frac{S_i}{N_i} - 1 \right) dN_i \right] + \alpha \cdot d \left[ N - \sum_i N_i \right] + \beta \cdot d \left[ E - \sum_i E_i N_i \right]$$

$$d \ln \Omega \approx \sum_i \left[ \ln \left( \frac{S_i}{N_i} - 1 \right) - \alpha - \beta E_i \right] dN_i$$

Oprócz  $N$ , w zderzeniu zachowane są:

ε całk. l. barionowa  $B = \sum b_i = A_{\text{part}}$

ε całk. ładunek  $Q = \sum q_i = Z_{\text{part}}$

ε całkowita dziwność  $S = \sum s_i = 0$

$$0 = \ln \left( \frac{S_i}{N_i} - 1 \right) - \alpha - \beta E_i$$



$$p_i = \frac{1}{e^{\beta E_i + \alpha} + 1}$$

- Zmiana oznaczeń:

$$kT = 1/\beta \quad \text{temperatura}$$

$$\mu = -\alpha/\beta \quad \text{potencjał chemiczny}$$



(wariant dla fermionów)

$$p(E) = \frac{1}{e^{(E - \mu) / kT} + 1}$$

- Zasady zachowania: ustalona liczba  $B, Q, S \rightarrow \mu_B, \mu_Q, \mu_S$

Nb.  $\left\{ \begin{array}{l} \mu_B \text{ występuje dla barionów } (b_i = \pm 1), \\ \mu_S \text{ występuje dla cz. dziwnych } (s_i = \pm 1, 2, 3), \\ \mu_Q \text{ występuje dla cz. naładowanych } (q_i = \pm 1, 2), \end{array} \right.$

nie występuje np. dla mezonów ( $b_i = 0$ )  
nie występuje dla nie-dziwnych ( $s_i = 0$ )  
nie występuje dla nienaładow. ( $q_i = 0$ )



„exp(...) - 1” dla bozonów, „E +  $\mu_B$ ” dla antybarionów, ...

- Koncentracja cząstek (n)**

Przyjmujemy, że zbiór cząstek zajmuje pewną objętość  $V$ .  
Np. objętość strefy zderzenia jądro-jądro.

Przypomnijmy proporcję ze s. 16.  $\frac{dN}{g} = \frac{V \cdot dp^3}{h^3}$ , gdzie:  $g = 2J + 1$  (degeneracja spinowa)

$$n \equiv \frac{N}{V} = g \cdot \int \frac{d^3 p}{(2\pi\hbar)^3} \frac{1}{e^{(E \pm \mu) / kT} \pm 1}$$

# Model statystyczny emisji cząstek (zarys)

- W zderzeniu wiele rodzajów cząstek → zestaw koncentracji  $n_i$

$$n_{\pi^{+,0}} \quad n_{K^\pm} \quad n_{p,d,t,He,\Delta,N^*} \quad \dots$$

przy czym:

$$n_i = g_i \cdot \int \frac{d^3 p}{(2\pi)^3} \frac{1}{e^{(E_i \pm \mu_i) / kT} \pm 1}$$

gdzie ogólnie:

$$\mu_i = b_i \mu_B + s_i \mu_S + z_i \mu_Q$$

- Uwaga: konwencja

$$kT [\text{J}] \rightarrow \frac{k = 1}{T [\text{MeV}]}$$

- Jak więc widać, formuły nie są takie same: minimalna energia =  $m_i$ ,  
(nie-)obecność  $\mu_i$ , różne spiny →  $g_i$   
Ale: dla całego zestawu wspólne są:  $T, \mu_B, \mu_Q, \mu_S$  (oraz  $V$ ).

Znany stan wejściowy ( $A, Z, S$ ) pozwala na uzależnienie wszystkich parametrów od  $T$  i  $\mu_B$ .

- Niektóre cząstki są rezonansami → do  $n_i$  dla danego rezonansu wstawia się rozkład Breita-Wignera prawdopodobieństwa w funkcji masy.
- Referencje dla zainteresowanych: A. Mekjian et al., Phys. Lett. B 651 (2007) 33  
A. Andronic et al., Nucl. Phys. A 772 (2006) 167

## Model statystyczny emisji cząstek (jak to działa?)

- W eksperymencie rekonstruujemy doświadczalnie *krotności emisji na 1 zderzenie* dla cząstek różnych typów (najlepiej: jak najwięcej).

Kłopot: we wzorze na koncentrację mamy  $V$ .

Objętość strefy zderzenia nie musi być doświadczalnie znana.

Sposób obejścia: z doświadczalnych krotności formujemy stosunki krotności. Wówczas, wg modelu, znika zależność od  $V$ .

- Kod komputerowy, np. **Thermus**: [www.phy.uct.ac.za/phy/people/academic/wheaton/research](http://www.phy.uct.ac.za/phy/people/academic/wheaton/research)

**Input**: zestaw doświadczalnych (stosunków) krotności cząstek emitowanych / zderzenie

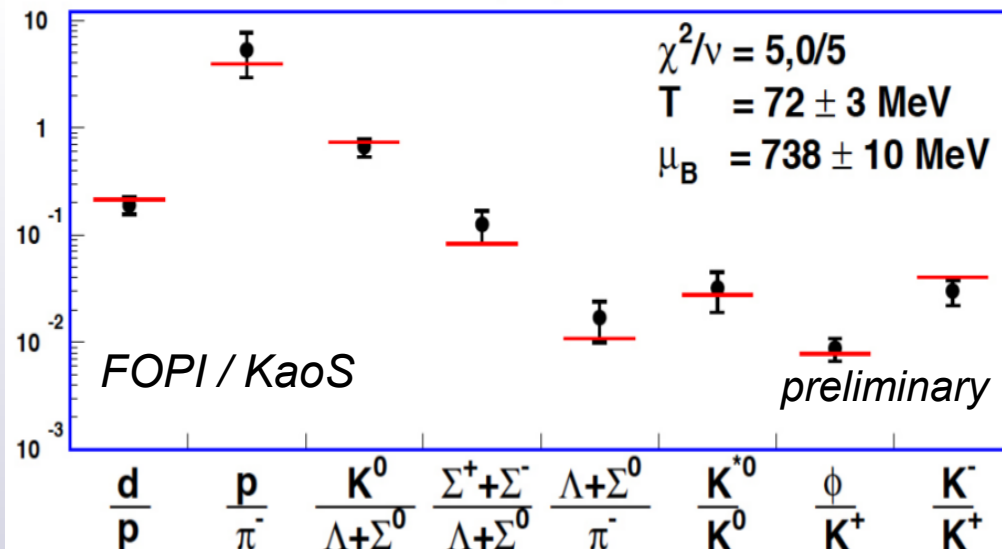
Kod, zmieniając  $T$  i  $\mu_B$ , poszukuje takiego zestawu krotności modelowych, dla którego  $\chi^2$  dopasowania do danych jest najmniejsze.

**Wynik**:  $T, \mu_B$  najlepszego dopasowania  $\oplus$  zestaw krotności modelowych

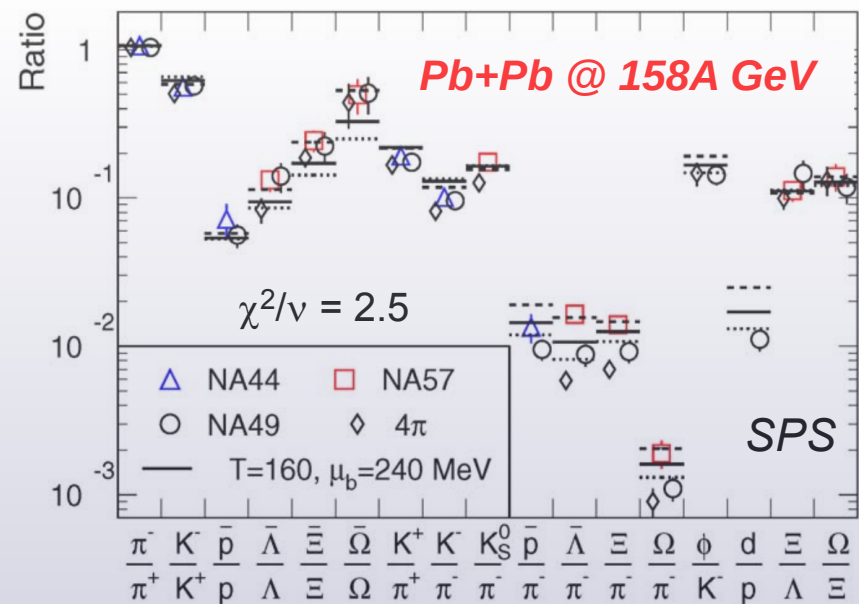
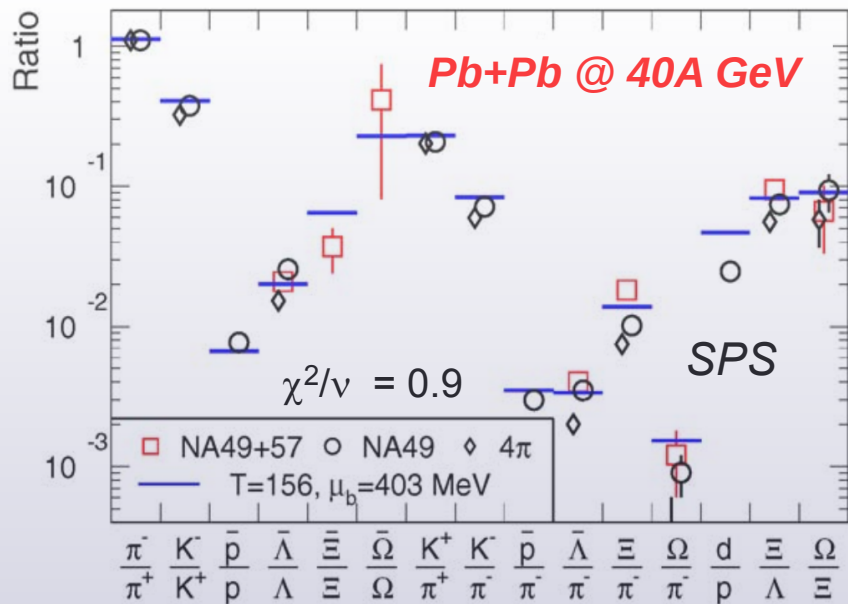
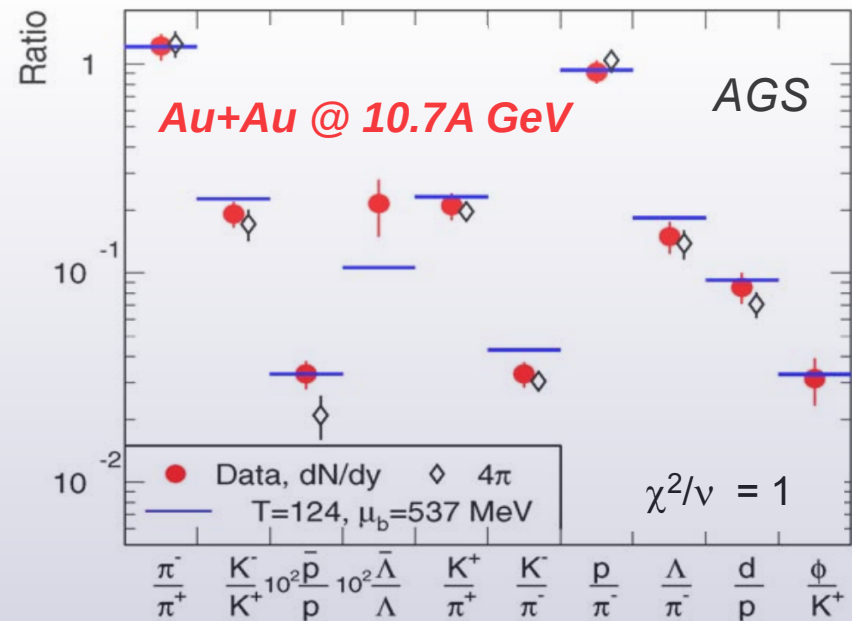
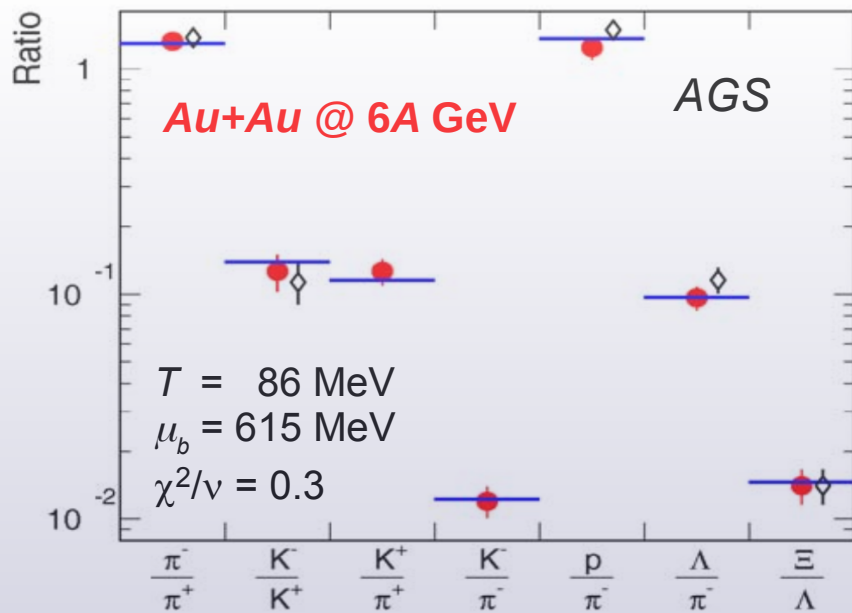
- Przykład**:

Stosunki krotności z centralnych zderzeń:

Al+Al @ 1.9A GeV

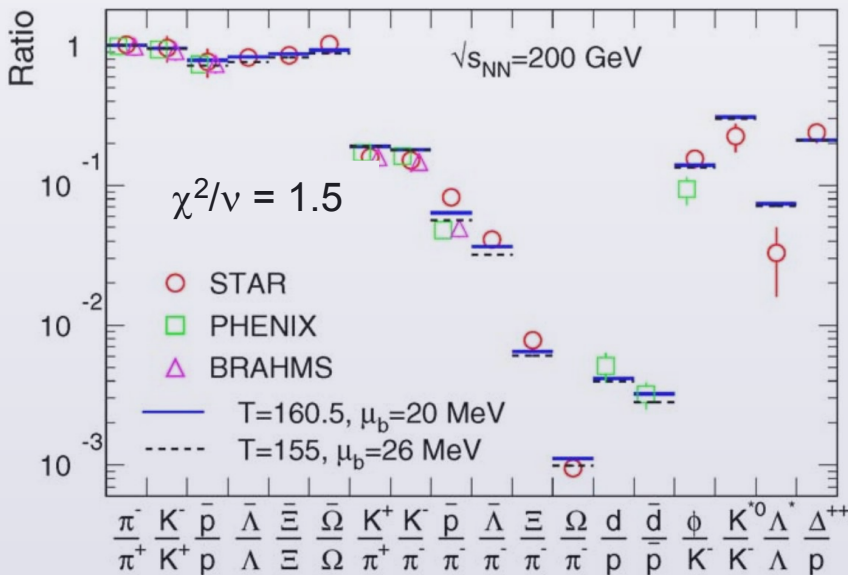
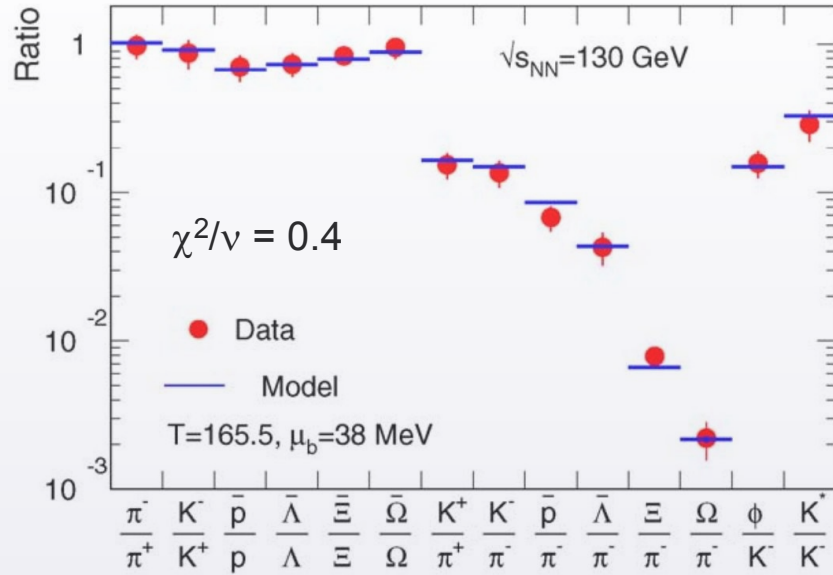


# Model statystyczny : przykłady

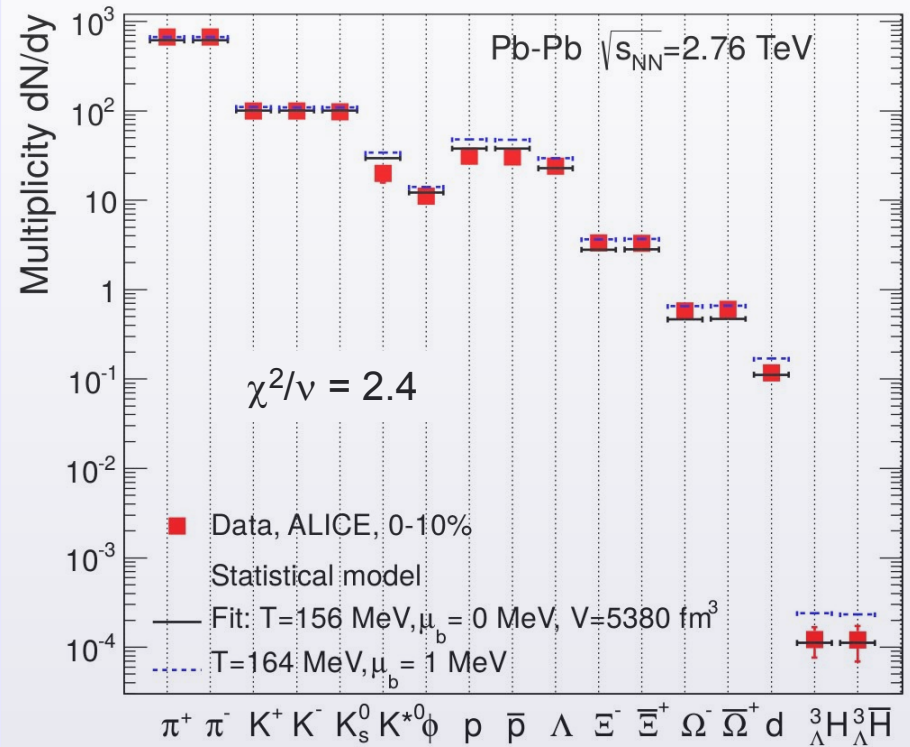


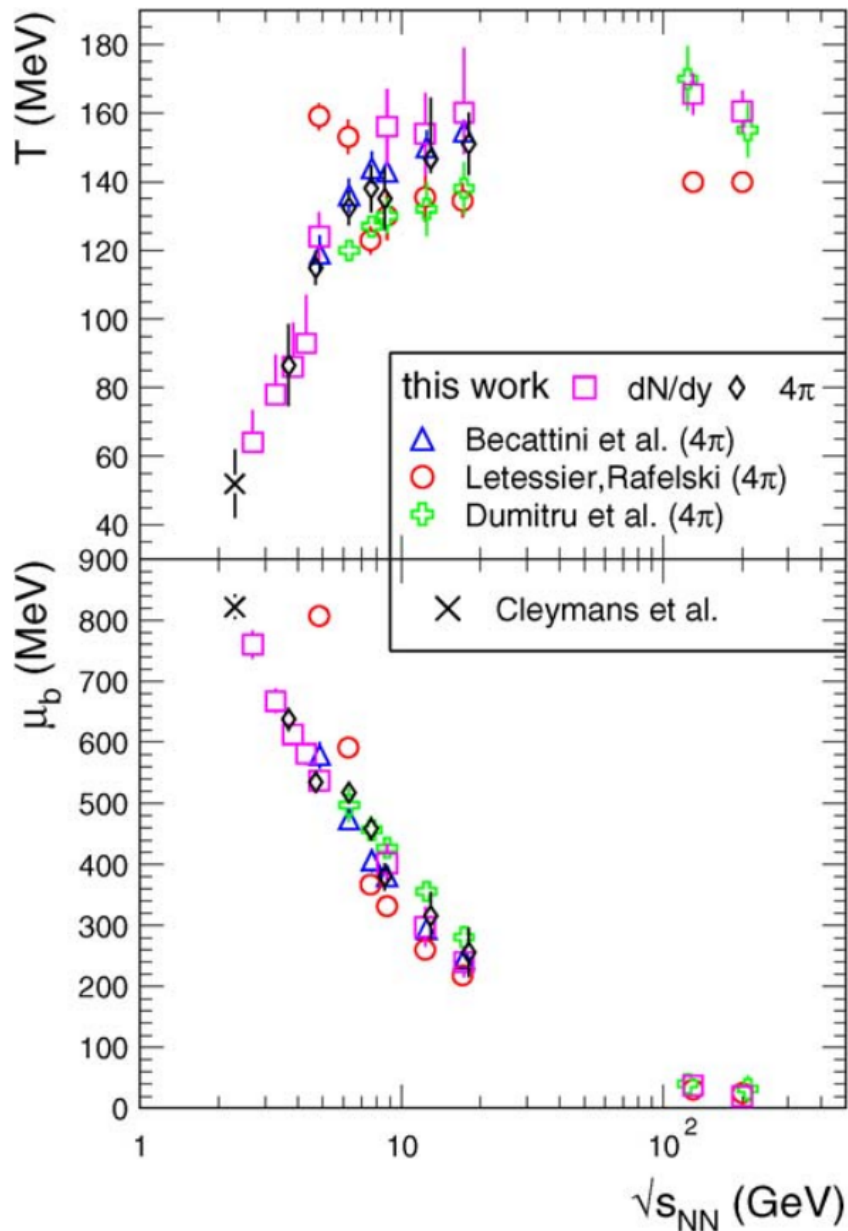
A. Andronic et al., Nucl. Phys. A 772 (2006) 167

## Zderzenia w akceleratorze RHIC (Brookhaven)

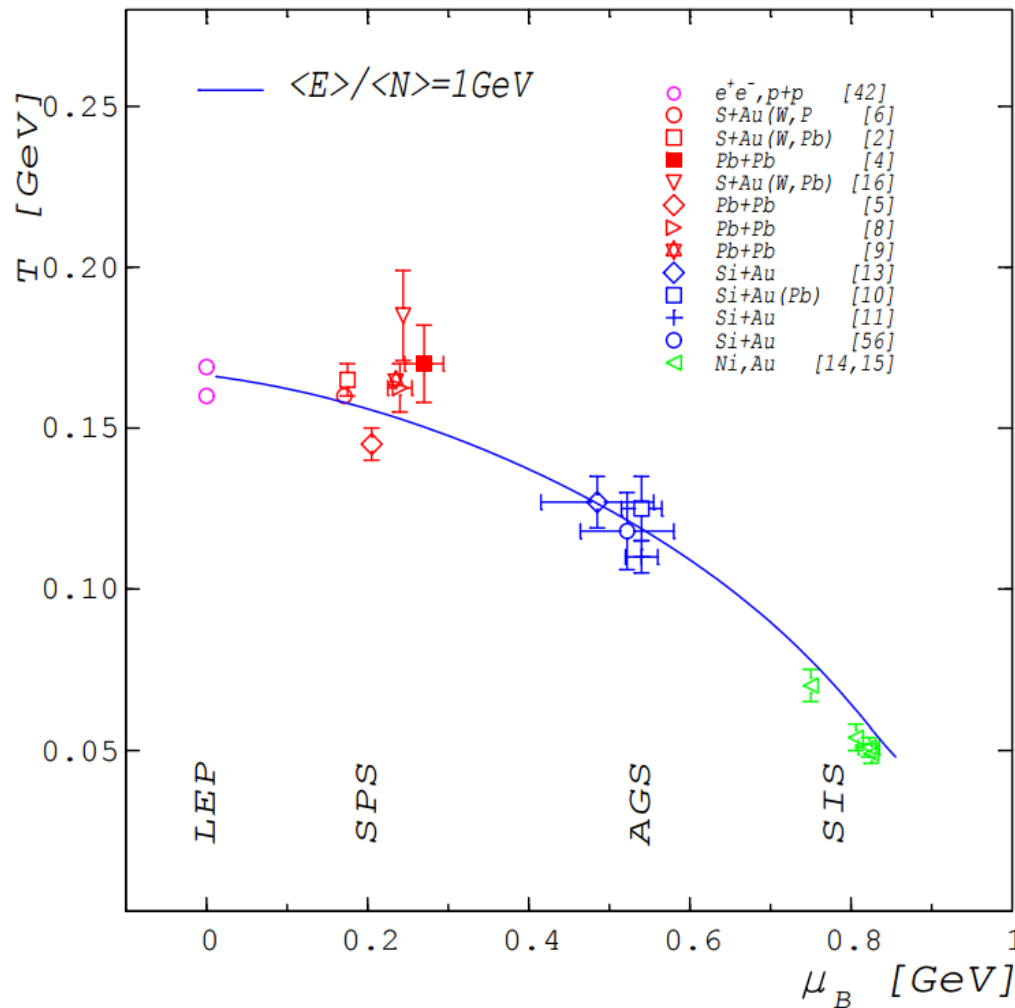


## Zderzenia w akceleratorze LHC (CERN)





- Wyraźne zależności  $T$  i  $\mu_B$  od energii wiązki
- $T$  wzrasta i nasycą się do  $\sim 160$  MeV
- $\mu_B$  maleje.



J. Cleymans, K. Redlich, Phys. Rev. C 60, 054908 (1999)

- Krotności w chwili wymrozenia chemicznego kreślą wyraźny kontur na diagramie  $\mu_B - T$ .

Tzw. „*diagram fazowy*”

- Otrzymane temperatury nie przekraczają 160 MeV.

- Skutek np. dla stosunku  $\bar{p}/p$  :

Można pokazać  $N = Z \Rightarrow \mu_Q = 0$

$$n_{\bar{p}(p)} = 2 \int \frac{d^3 p}{(2\pi\hbar)^3} \frac{1}{e^{(E \pm \mu_B)/T} + 1}$$

Dla  $p(\bar{p})$  :  $e^{(E \pm \mu_B)/T} \gg 1$

$$\frac{n_{\bar{p}}}{n_p} \approx \exp\left(-2\frac{\mu_B}{T}\right)$$

➔  $\bar{p}/p$  rośnie z energią wiązki



- W praktyce bardzo często

$$e^{(E \pm \mu_B) / T} \gg 1$$

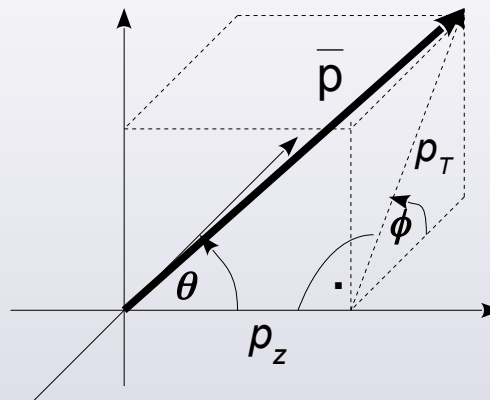
i wówczas:

$$n_i \rightarrow \frac{g_i}{(2\pi\hbar)^3} e^{\mp \frac{\mu_B}{T}} \int d^3 p e^{-\frac{E}{T}}$$

- Rozkład Fermiego-Diraca / Bosego-Einsteina przechodzi w **rozkład Boltzmann**.  
Dla danej cząstki:

$$\frac{d^3 n}{dp^3} \sim e^{-\frac{E}{T}}, \quad \text{gdzie } E = \sqrt{p^2 + m^2}$$

- Pędy cząstek: 3-dim przestrzeń. Co widać w reprezentacji sferycznej?



→ R. Boltzmann jest funkcją niezależną od kątów emisji (**emisja izotropowa**)

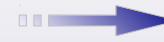
# Rozkład Boltzmann

- Element  $dp^3$  :

$$dp^3 = p^2 dp \cdot \sin \theta d\theta d\phi$$

$p$  jest długością wektora

- $\frac{dn}{p^2 dp} \sim e^{-\frac{E}{T}} \int_0^{2\pi} \int_0^{\pi} \sin \theta d\theta d\phi$



- $\frac{dn}{dp} \sim p^2 e^{-\frac{E}{T}}$

Lub w funkcji energii:

$$E^2 = p^2 + m^2$$



$$2EdE = 2pdp$$

- $\frac{dn}{dE} \sim pE e^{-\frac{E}{T}}$

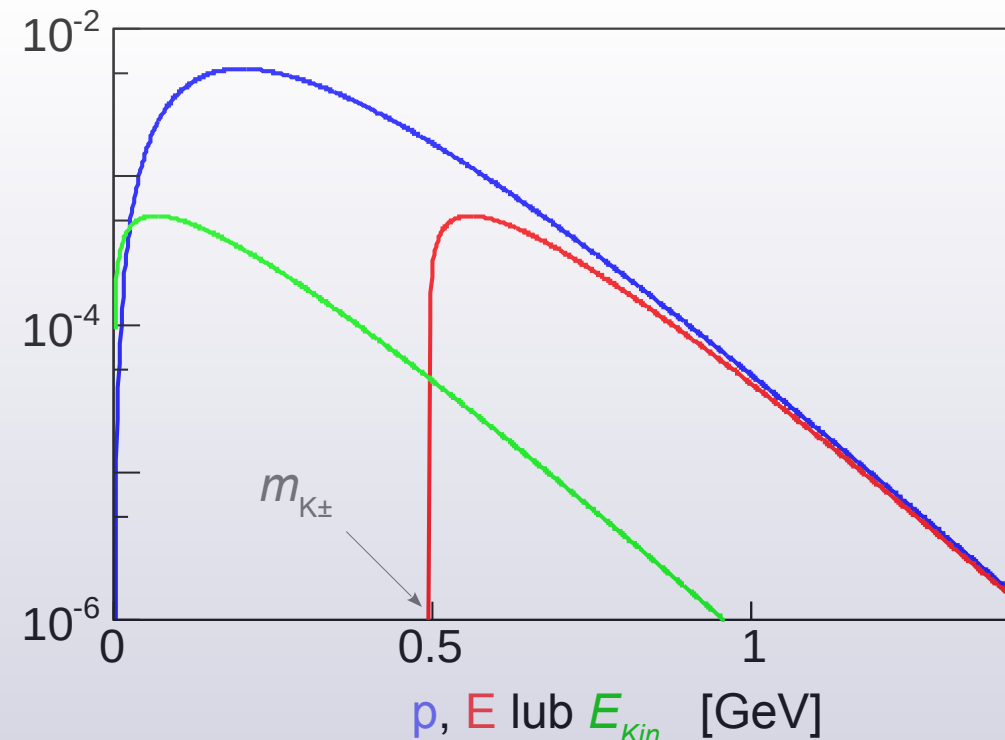
- Ogólny przebieg rozkładu:

Przykład dla  $K^\pm$

( $m_{K^\pm} = 0,494$  GeV)

emitowanych z  $T = 0,100$  GeV:

- $dn/dp$
- $dn/dE$
- $dn/dE_{Kin}$



# Rozkład Boltzmanna w zmiennych relatywistycznych

- Rozkład populacji cząstek jest opisany w układzie CM źródła cząstek, a nie w układzie LAB. Wg transformacji Lorentza przejście  $p_z^{\text{CM}} \rightarrow p_z^{\text{Lab}}$  nieliniowe  $\rightarrow$  kłopot...

Przejdźmy do relatywistycznych zmiennych, które są niezmiennicze wzgl. układu odniesienia. Zamieńmy  $\{p_x, p_y, p_z\} \rightarrow \{p_T, \phi, y\}$ , gdzie „y” =  $y_z$ .

Rozpocznijmy od przepisania normalizacji:

$$\frac{d^3 N}{dp^3} = \frac{N}{Z} \cdot e^{-\frac{E}{T}} \quad \begin{array}{l} N = \text{liczba cząstek} \\ Z = \text{suma statystyczna} \end{array} \quad Z = \int \exp(-E/T) d^3 p$$

Jakobian:  $dp_x dp_y dp_z = \frac{\partial(p_x, p_y, p_z)}{\partial(p_T, \phi, y)} dp_T d\phi dy = \dots = p_T E dp_T d\phi dy$

- R. Boltzmanna nie zależy od  $\phi$ .



$$\frac{d^2 N}{dp_T dy} = 2\pi \frac{N}{Z} \cdot p_T E \cdot e^{-\frac{E}{T}}$$

- Częsta reprezentacja w  $m_T$  (masie poprzecznej)

$$m_T \equiv \sqrt{p_t^2 + m^2} \quad \longrightarrow \quad 2 m_T dm_T = 2 p_T dp_T$$



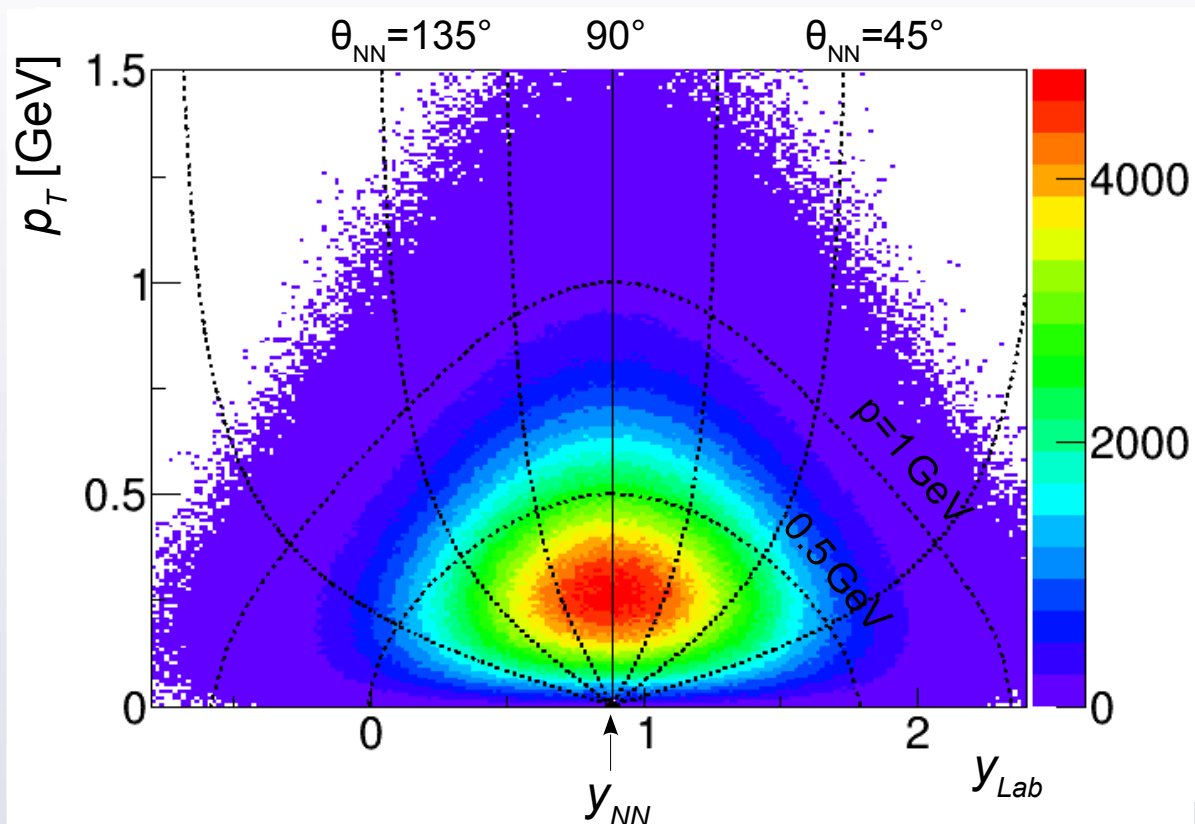
$$\frac{d^2 N}{dm_T dy} = 2\pi \frac{N}{Z} \cdot m_T E \cdot e^{-\frac{E}{T}}$$

I przy okazji:

$$\begin{cases} E = m_T \cdot ch y \\ p_z = m_T \cdot sh y \end{cases}$$

# Rozkład Boltzmann w zmiennych $p_T - y$

- Symulacja: (1) emisja  $K^+$  ze źródła boltzmannowskiego o  $T = 100$  MeV, utożsamionego ze strefą zderzenia AA przy  $T_b = 1.9A$  GeV.  
(2) obserwacja w układzie  $Lab$  rozkładu  $d^2N / dp_t dy_{Lab}$



## • Ściągawka:

jak obliczyć  $y_{NN}$ .  
( $E_b$  i  $p_b$  na 1 nukleon)

$$\left\{ \begin{array}{l} E_b = T_b + m_N \\ p_b = \sqrt{E_b^2 - m_N^2} \\ \beta_{NN} = \frac{\sum p}{\sum E} = \frac{p_b}{2m_N + T_b} \\ y_{NN} = \frac{1}{2} \ln \frac{1 + \beta_{NN}}{1 - \beta_{NN}} \end{array} \right.$$

- Poziomice  $p_{CM}$  oraz  $\theta_{CM}$  nieliniowe. Dla  $y = y_{NN}$ ,  $p_{NN} = p_{T,NN}$
- Rozkład  $d^2N / dp_t dy_{Lab}$ : symetria wokół  $y_{NN}$ , gdzie osiąga maksimum. Gdyby wykreślić  $d^2N / dp_t dy_{NN}$ , to kształt identyczny. Jedyna różnica – przesunięcie osi poziomej.  
Dla  $y = y_{NN}$  maksimum  $dN/dp_t$  nie jest przy  $p_T = 0$  (por. wzór  $d^2N / dp_t dy_{NN}$  przy ustalonym  $y_{NN} = 0$ )

- Jak powinien wyglądać rozkład  $dN/dp_T$  dla ustalonego  $y$ ? W układzie NN ( $y = y_{wNN}$ )

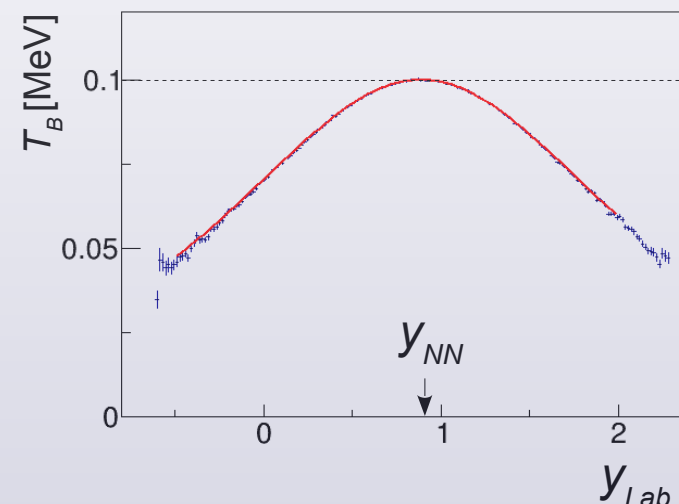
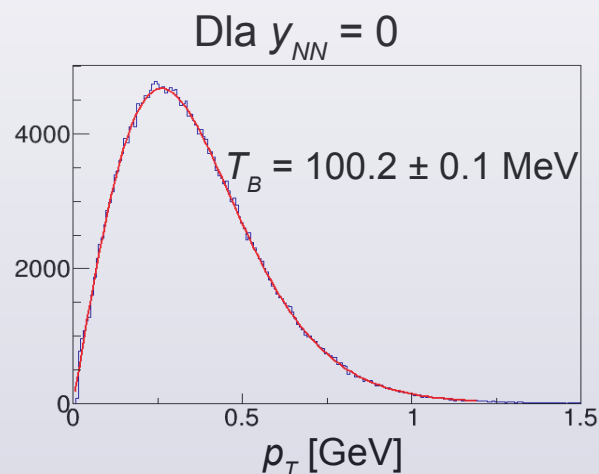
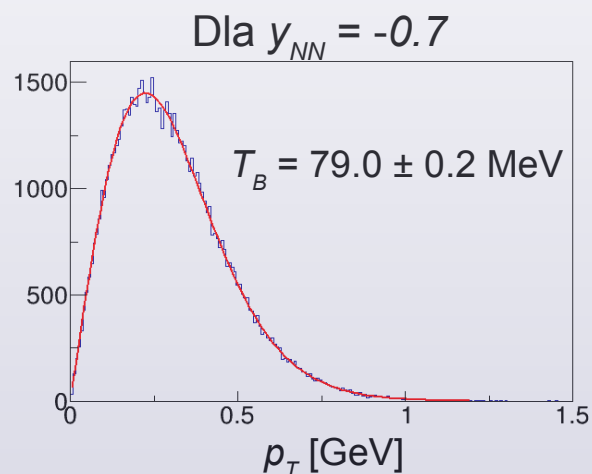
$$\left. \frac{d^2 N}{dp_T dy} \right|_{y=y_i} = 2\pi \frac{N}{Z} p_T \cdot m_T \text{ch } y_i \cdot \exp\left(-\frac{m_T \text{ch } y_i}{T}\right)$$

$$= 2\pi \frac{N}{Z} \text{ch } y_i \cdot p_T m_T \exp\left(-\frac{m_T}{T_B(y_i)}\right)$$

, gdzie

$$T_B(y_i) = \frac{T}{\text{ch } y_i}$$

„Odwrotne nachylenie”



→ „Odwrotne nachylenie” ( $T_B$ ) jest równe  $T$  tylko dla midrapidity ( $y_{NN}$ ). Poza  $y_{NN}$ :  $T_B < T$ .

- Szersza definicja  $T_B$ . Dla dowolnego rozkładu  $p_T$  ( $m_T$ ), który zachowuje się „eksponencjalnie”,  $T_B$  jest odwrotnym nachyleniem rozkładu. Model Boltzmann przewiduje zależność:

$$T_B(y_i) = \frac{T}{\text{ch } y_i}$$

- Jak w ramach modelu Boltzmann wygląda rozkład  $dN/dy$  ?  
Dla ustalonego  $y = y_i$ , scałkujemy rozkład  $p_T$

$$T_B(y_i) = \frac{T}{ch y_i}$$

$$\begin{aligned} \frac{dN}{dy} &= \int_0^\infty \frac{d^2 N}{dp_T dy} \Big|_{y=y_i} dp_T = \dots = C e^{-\frac{m}{T_B}} \left( m_0^2 T_B + 2 m_0 T_B^2 + 2 T_B^3 \right) \\ &= C e^{-\frac{m}{T} ch y} T^3 \left[ \left( \frac{m_0}{T} \right)^2 \frac{1}{ch y} + 2 \frac{m_0}{T} \frac{1}{ch^2 y} + 2 \frac{1}{ch^3 y} \right] \end{aligned}$$

- Założmy (dość częsty) przypadek  $T \ll m$ . Z wyrażenia [...] pozostanie tylko 1. wyraz. Teraz rozwińmy  $ch(y)$  wokół 0. Wynik zbiegnie do:

$$\frac{dN}{dy} \rightarrow C_2 \cdot \exp \left[ -\frac{1}{2} \left( \frac{y}{\sqrt{T/m}} \right)^2 \right]$$

- Reasumując. Jeżeli zachodzi  $T \ll m$ , to rozkład zbiega do **funkcji Gaussa**, takiej że:  $\left\{ \begin{array}{l} \sigma = \sqrt{T/m} \\ \bar{y} = 0 \end{array} \right.$

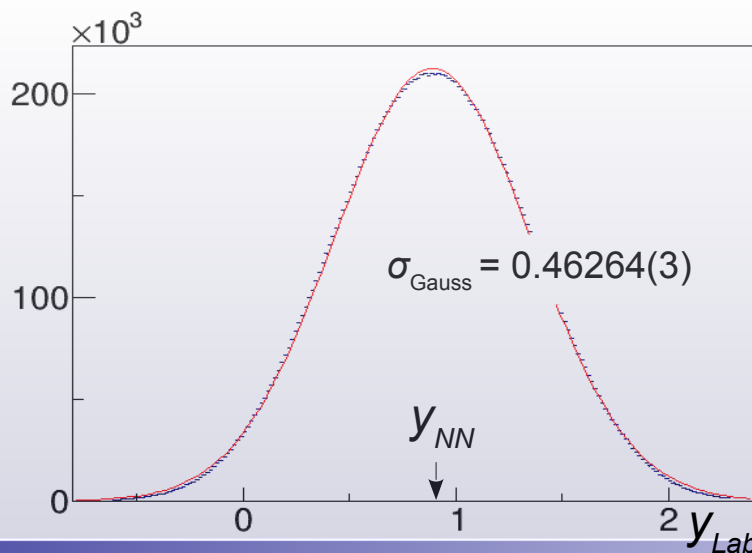
- W naszej symulacji:

- Obliczamy:

$$\sqrt{T/m} = 0.450$$

- Do rozkładu  $dN/dy$  dopasowujemy f. Gaussa

$$\sigma_{Gauss} = 0.46264(3)$$



Rozkład bardzo bliski f. Gaussa, a parametr  $\sigma$  bardzo bliski spodziewanemu!

## 9. Doświadczalne rozkłady populacji w przestrzeni pędowej

- Przypadek I:** Emisja  $K^0$  i  $\Lambda$  ze zderzeń Ni+Ni @ 1.9A GeV

Rozkłady „w języku”  $m_T$  Zamiast  $p_T$   
 – częsta reprezentacja. Dlaczego?

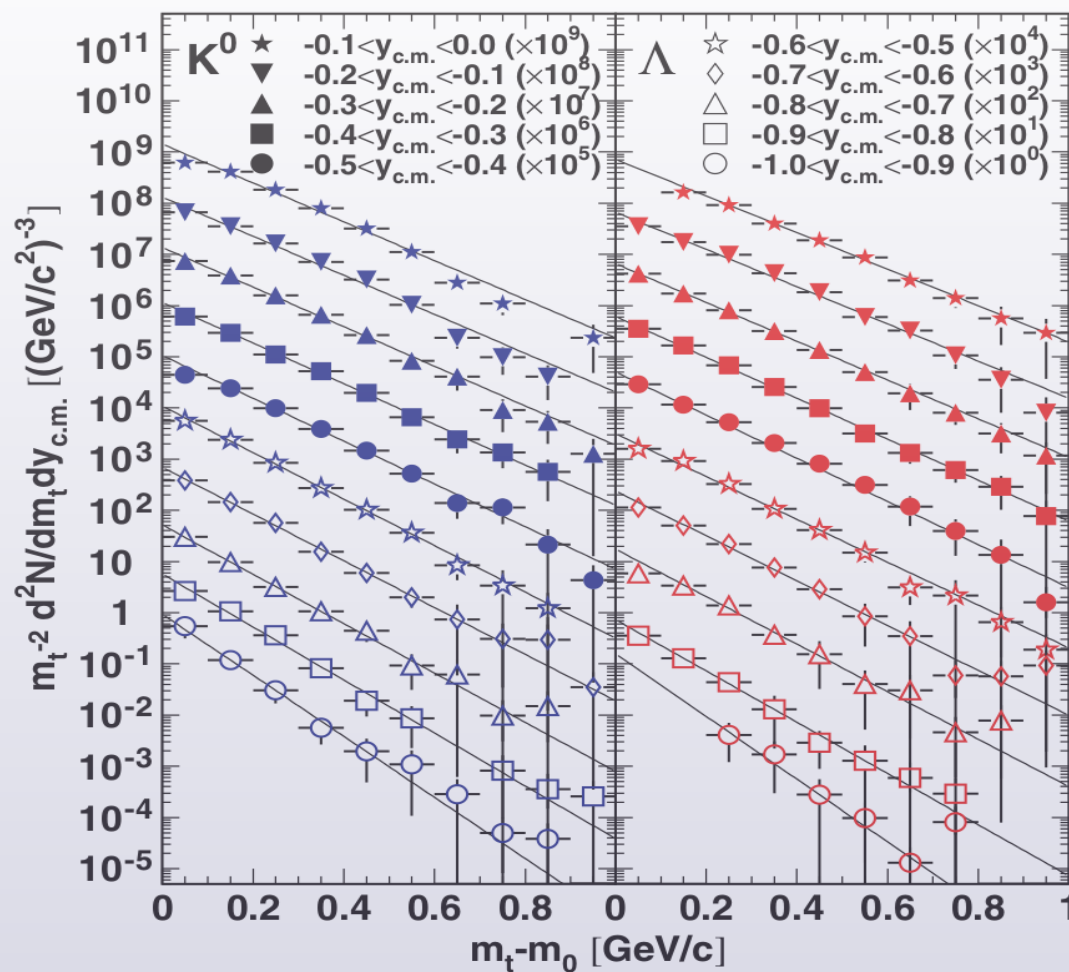
$$\frac{d^2 N}{dm_T dy} = 2\pi \frac{N}{Z} m_T E e^{-\frac{E}{T}}$$

$$\left. \frac{d^2 N}{dm_T dy} \right|_{y=y_i} \sim m_T^2 e^{-\frac{m_T}{T_B(y_i)}}$$

$$\left. \frac{1}{m_T^2} \frac{d^2 N}{dm_T dy} \right|_{y=y_i} \sim e^{-\frac{m_T}{T_B(y_i)}}$$

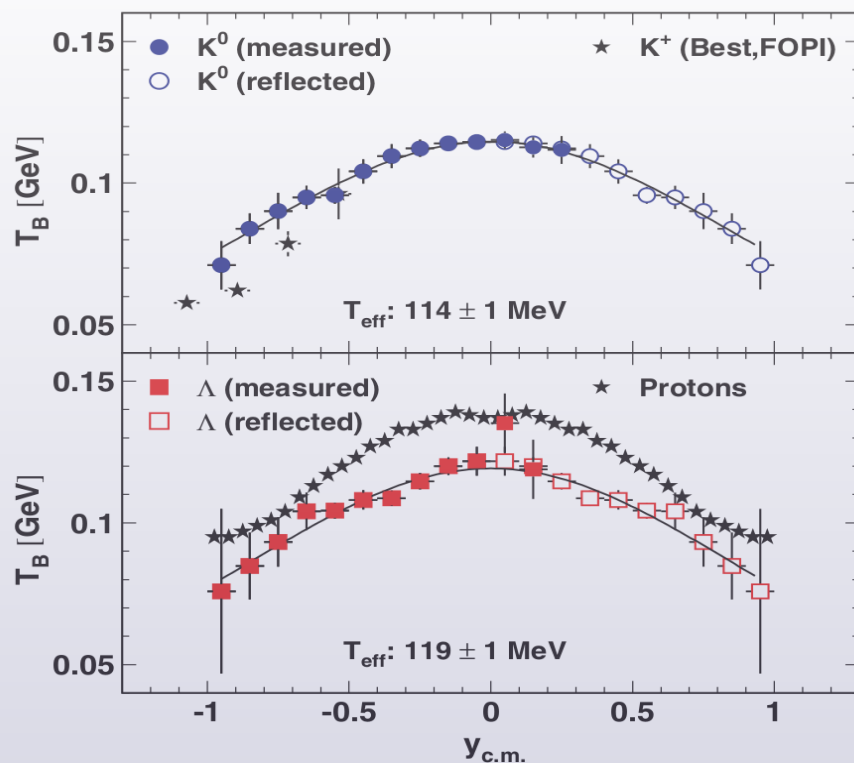
Jeżeli rozkład przestrzeni fazowej jest zgodny z modelem Boltzmann,

to tak przygotowane widma powinny mieć postać eksponencjalnie malejącą.



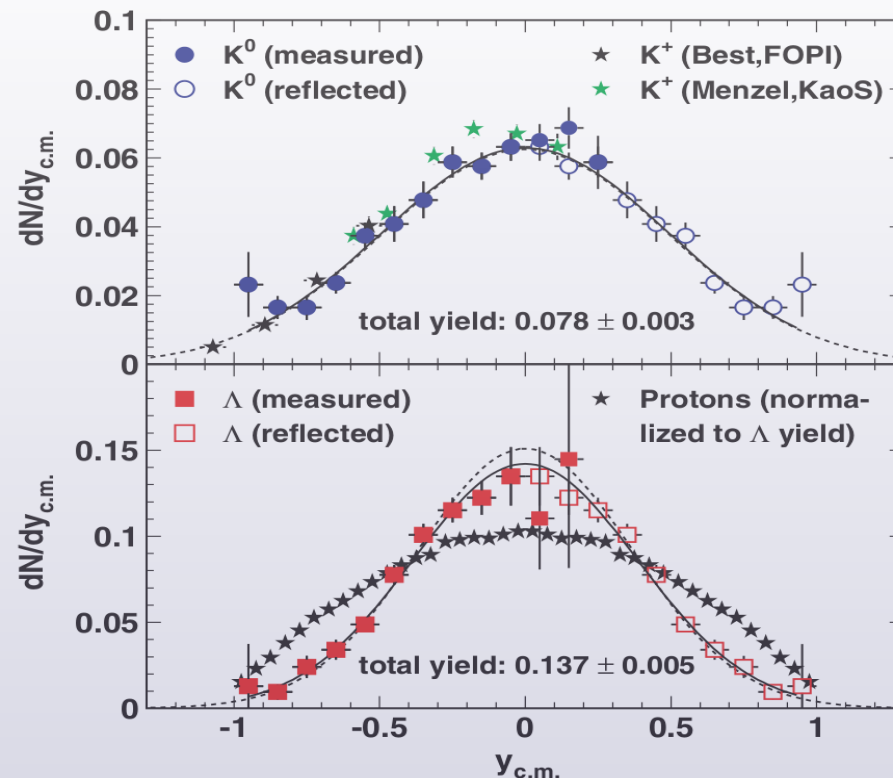


- Rozkład  $T_B = f(y)$  dla  $K^0$  i  $\Lambda$  oraz dla protonów



M. Merschmeyer et al., Phys. Rev. C 76, 024906 (2007)

- Rozkład  $dN/dy$  dla  $K^0$  i  $\Lambda$  oraz dla protonów

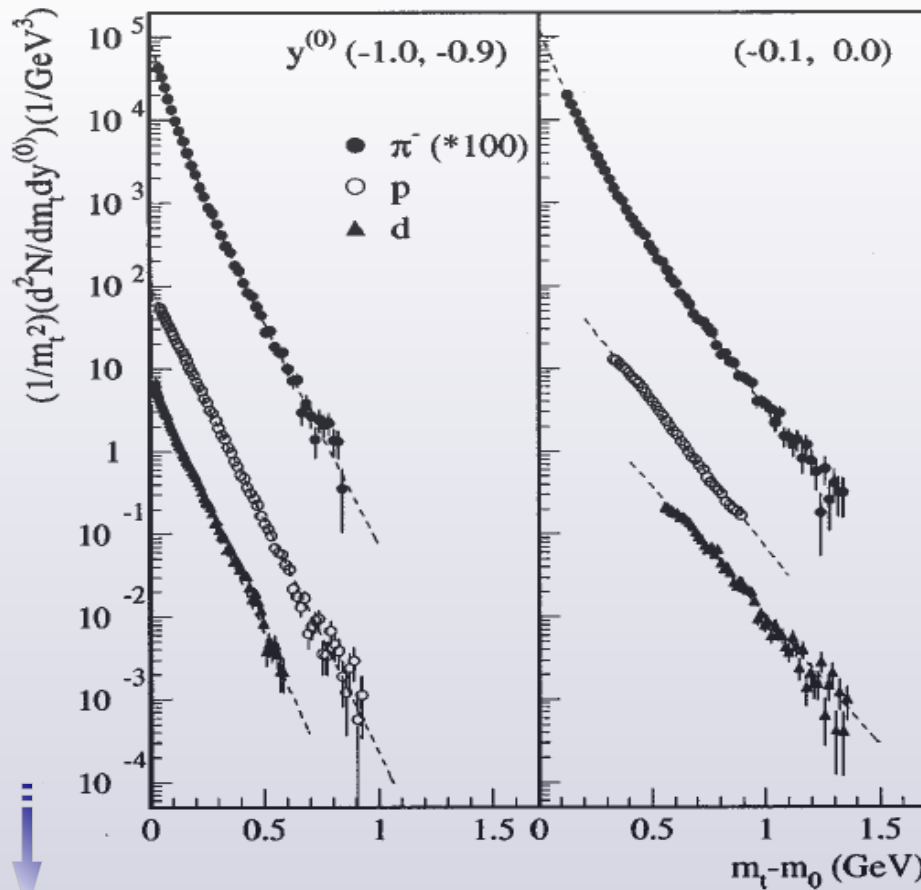


Rozkłady  $T_B = f(y)$  i  $dN/dy$  dla  $K^0$  i  $\Lambda$  dają się opisać przez model Boltzmann (w ramach niepewności)

Rozkłady  $T_B = f(y)$  i  $dN/dy$  dla protonów – już nie...

• **Przypadek II.** Emisja p, d i  $\pi^-$  ze zderzeń Ni+Ni @ 1.9A GeV.

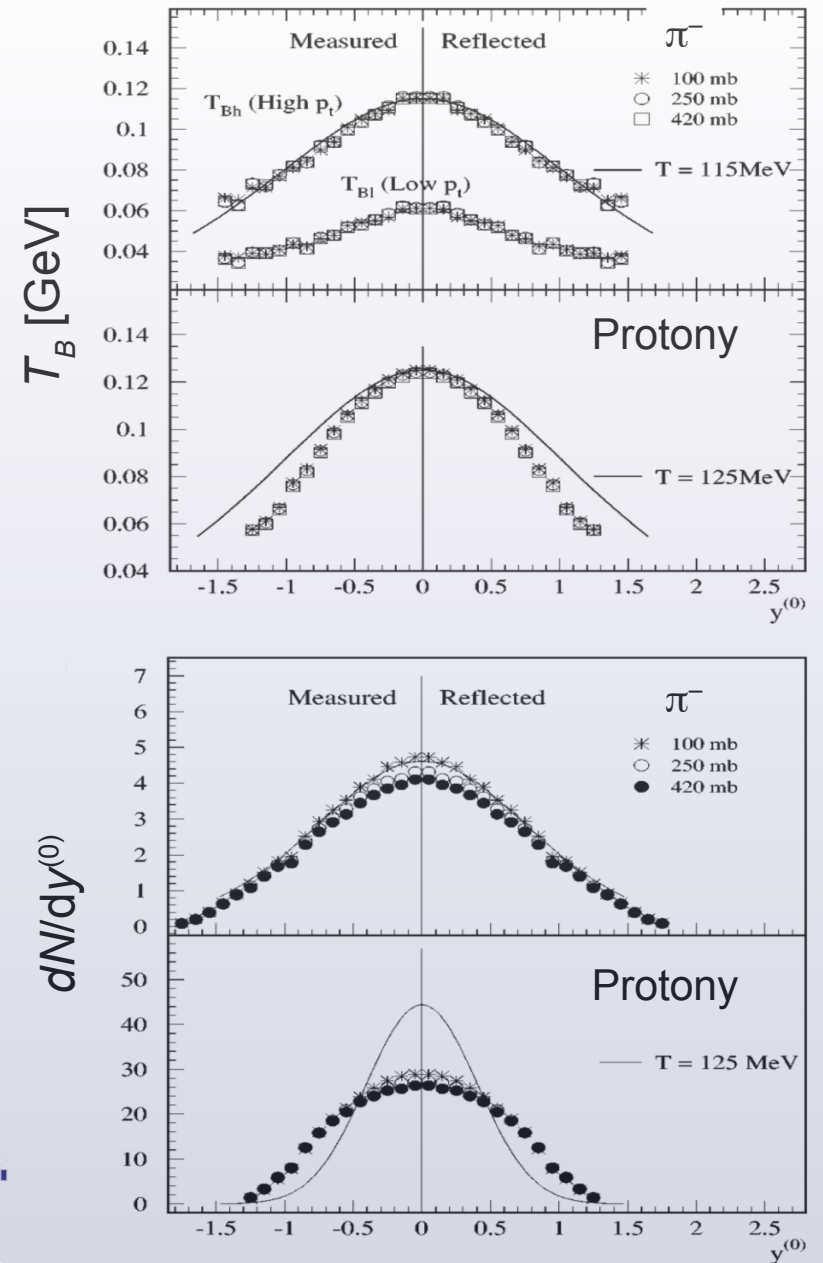
Pospiesznosc zredukowana:  $y^{(0)} \equiv \frac{y_{w Lab} - y_{CM}}{y_{CM}}$



$m_T$ : protony i deuterony zgodne z mod. Boltzmann  
 $\pi^-$ : możliwe złożenie 2 komponentów.

$T_B(y)$ : p (d),  $\pi^-$ : niezgodne z mod. Boltzmann

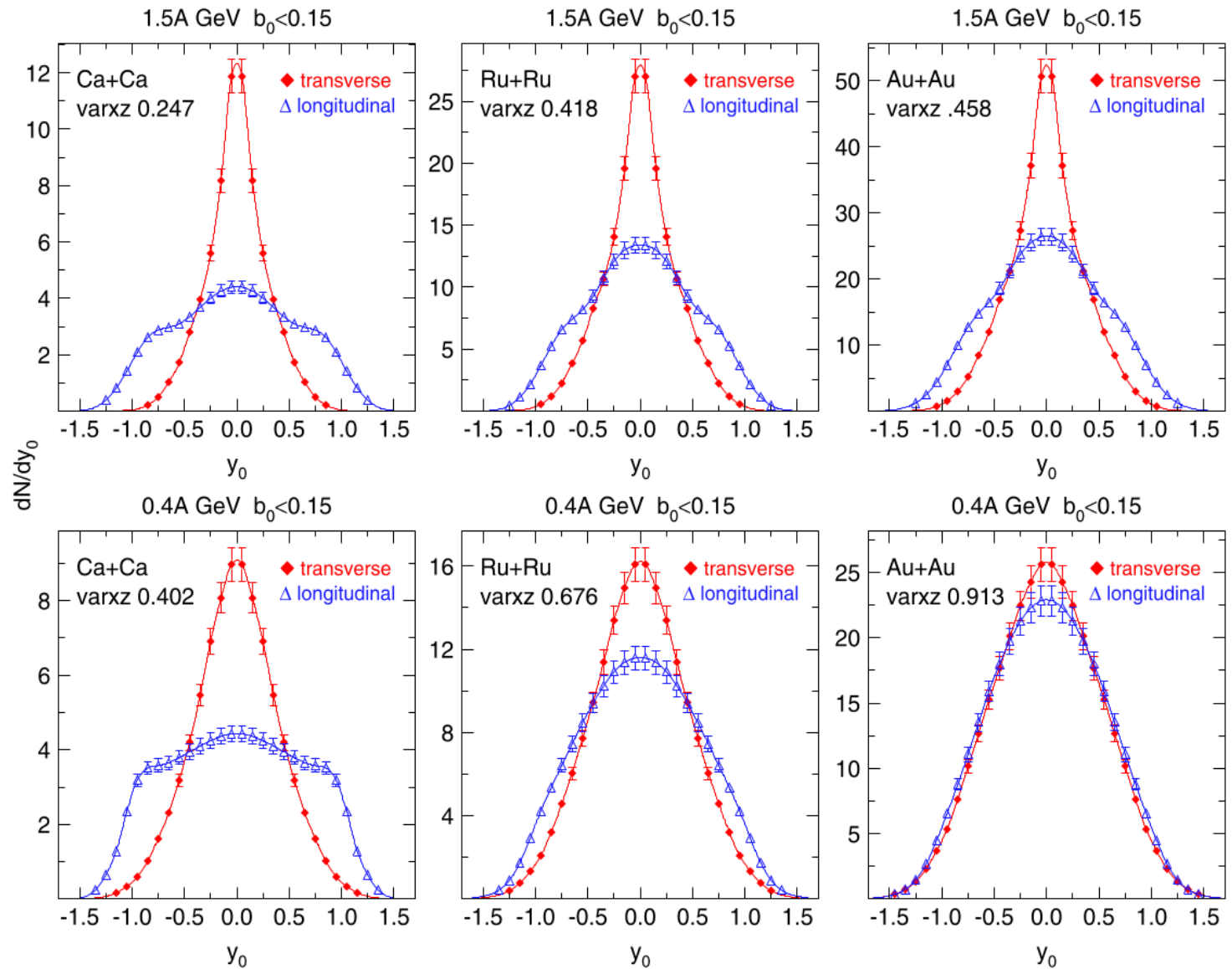
$dN/dy$ : p (d) : niezgodne z mod. Boltzmann



- Przypadek III** : Rozkłady prędkości deuteronów z centralnych zderzeń AA @ 0.4A I 1.5A GeV

$$y_z = \frac{1}{2} \ln \frac{E + p_z}{E - p_z}$$

$$y_{x,y} = \frac{1}{2} \ln \frac{E + p_{x,y}}{E - p_{x,y}}$$



- W m. Boltzmannna emisja izotropowa
- Wszystkie kierunki równouprawnione
- $dN/dy_i$  takie same



Rozkłady niezgodne z modelem Boltzmannna, za wyjątkiem Au+Au @ 0.4A GeV

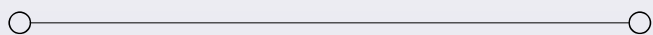
- Przypadek IV** : Rozkłady kąta polarnego emisji  $K^+$  i  $K^-$  ze zderzeń Au+Au @ 1.5A GeV

- Rozkład izotropowy :

$$\frac{dN}{\sin\theta d\theta} = const$$

$$\longrightarrow \frac{dN}{d\cos(\theta)} = const$$

- Model Boltzmanna : rozkład izotropowy

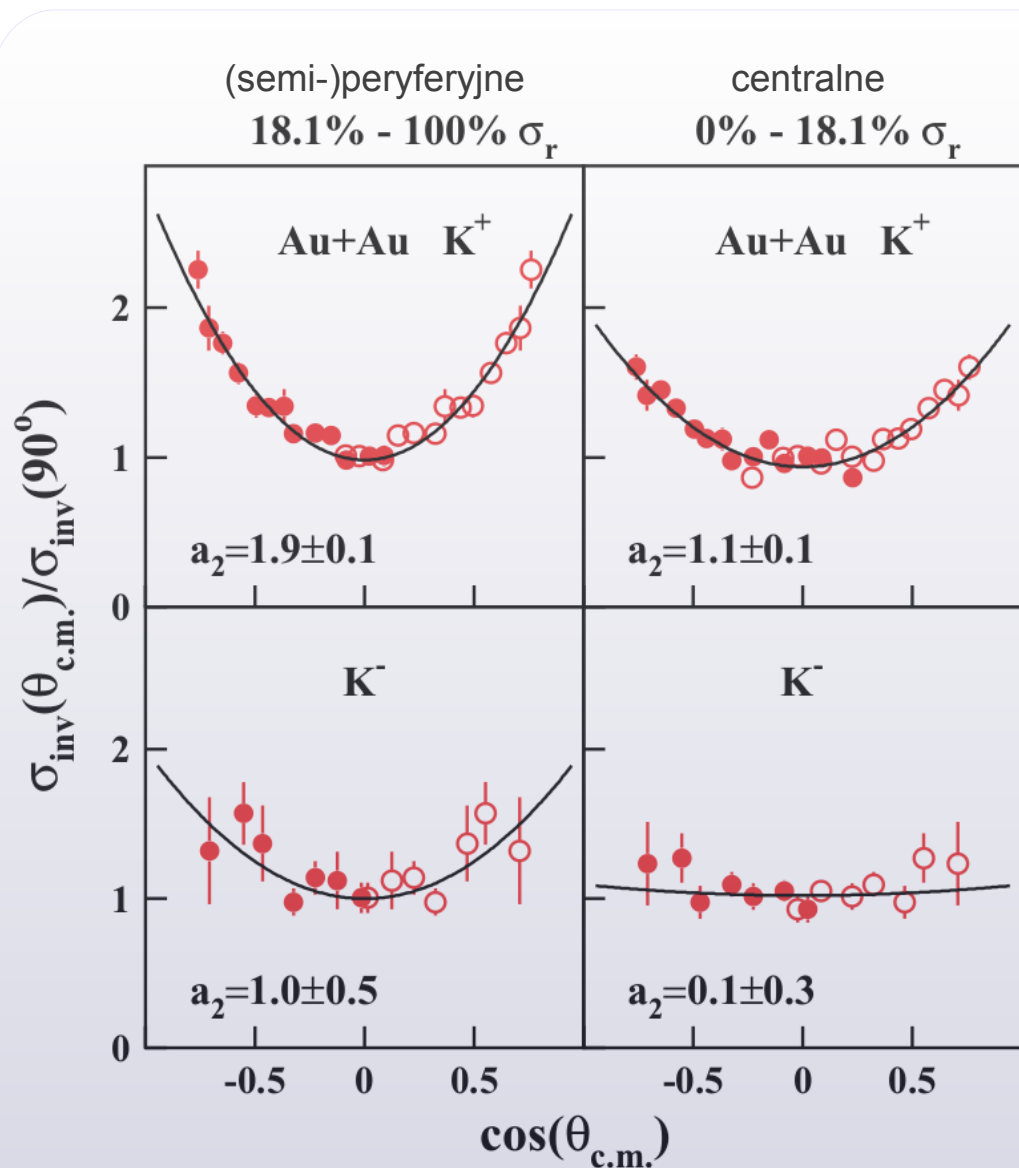


- Eksperyment(y):

Obserwowana anizotropia kąta (za wyjątkiem  $K^-$  ze zd. centralnych)

- Parametryzacja fenomenologiczna:

$$\frac{dN}{d\cos\theta_{NN}} \sim 1 + a_2 \cos^2\theta_{NN}$$

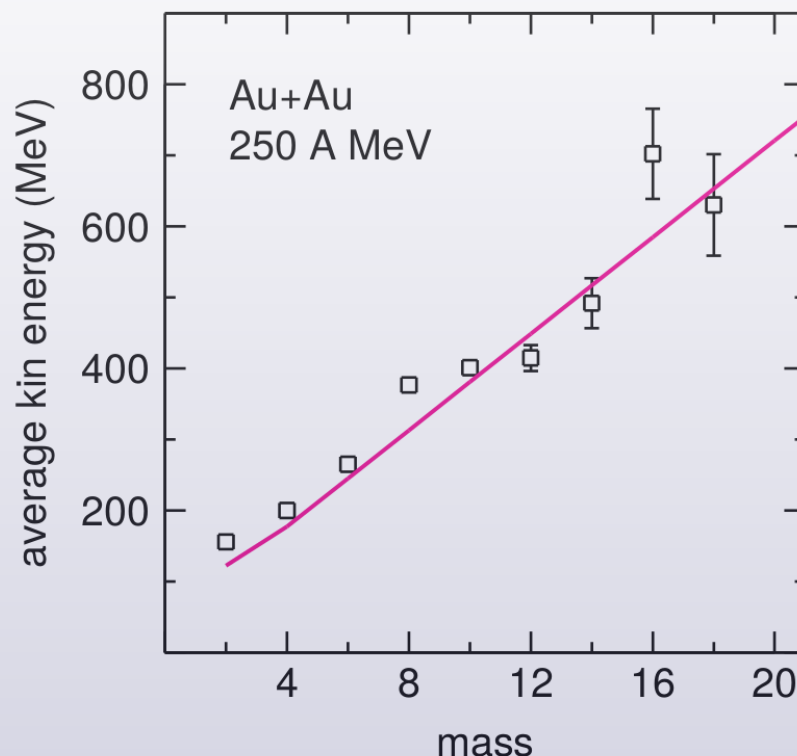


A. Förster et al., Phys. Rev. C 75, 024906 (2007)

## 10. Ruch kolektywny w zderzeniach ciężkich jonów

- Średnia energia kinetyczna 1 cząstki w ruchu termicznym:  $\langle E_{Kin} \rangle = \frac{3}{2}kT$   
(w przybliżeniu nierelatywistycznym)

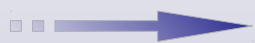
Nie zależy od masy cząstki. Tymczasem:



W. Reisdorf, H.G. Ritter,  
Annu. Rev. Nucl. Part. Sci. 47, 663 (1997)

- Gdyby wszystkie cząstki cechował dodatkowy składnik ruchu ze wspólną prędkością  $v$ , to w przybliżeniu nierelatywistycznym :

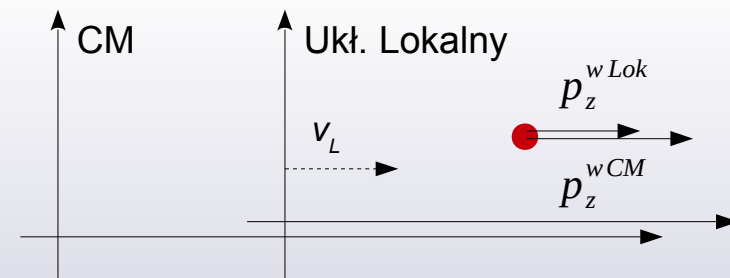
$$\langle E_{Kin} \rangle \approx \frac{3}{2}kT + \frac{mv^2}{2} = A + B \cdot m$$



Argument za istnieniem (dodatkowego) ruchu kolektywnego

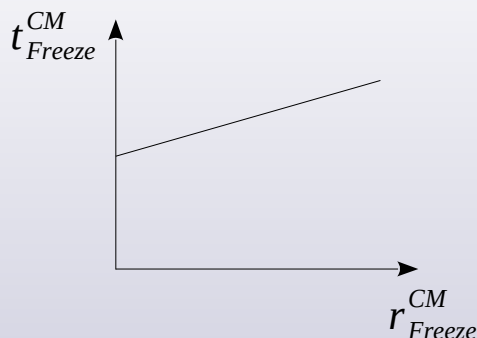


1. Materia jest w równ. termodynamicznej w układzie lokalnym, ale kolejne powłoki ekspandują (radialnie, ze stałą  $v_r$  (założenie)  $\rightarrow$  nadal symetria sferyczna)
2. Lokalnie, w chwili  $t_{Freeze}^{Lok}$ , następuje freeze-out: powłoki dezintegrują w swobodne hadrony (nieoddziałujące, lecące ku detektorom).



Tr. Lorentza:  $dr_{Freeze}^{CM} = v_r \cdot dt_{Freeze}^{CM}$

"Freeze-out curve"



Formuła Siemensa-Rasmussena

$$\left. \frac{d^3 n}{dp^3} \right|_{CM} = \frac{N_i}{Z(T)} \cdot e^{-\frac{\gamma_r E}{T}} \cdot \left[ \left( \gamma_r + \frac{T}{E} \right) \frac{sh \alpha}{\alpha} - \frac{T}{E} ch \alpha \right]$$

gdzie:  $\alpha = \gamma_r \beta_r p / T$   
 $N_i, Z$ : stałe normalizacyjne

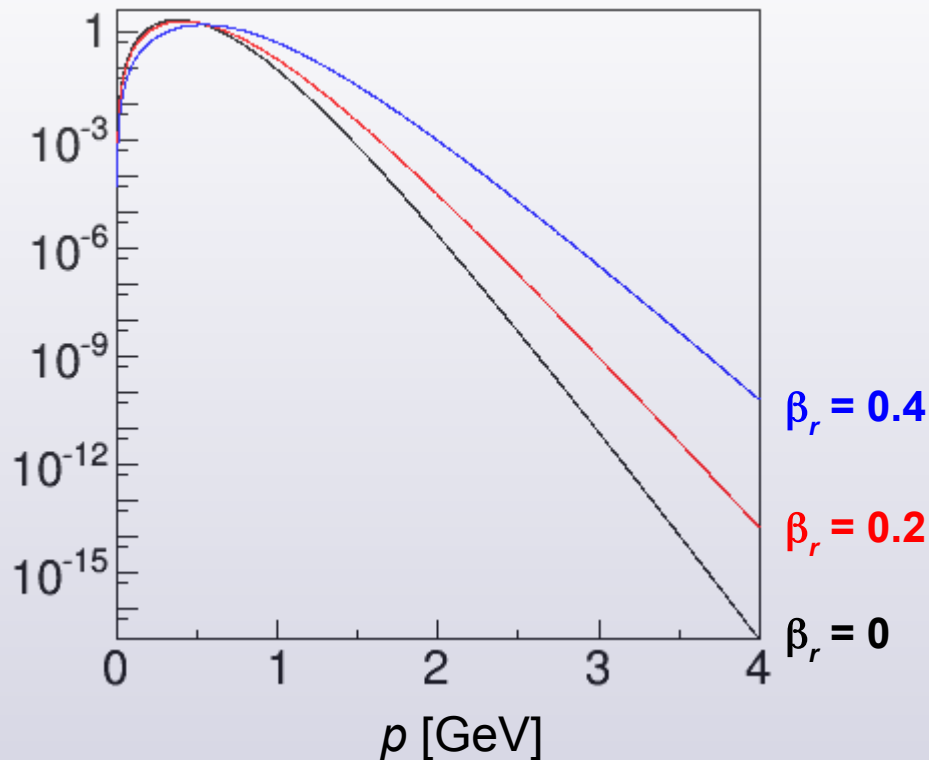
P.J. Siemens, J.O. Rasmussen, Phys. Rev. Lett. 42, 880 (1979)  
 W.Florkowski, W.Broniowski, Acta Phys. Pol. B 35, 2895 (2004)

$$\left. \frac{d^3 n}{dp^3} \right|_{CM} = \frac{N_i}{Z(T)} \cdot e^{-\frac{\gamma_r E}{T}} \cdot \left[ \left( \gamma_r + \frac{T}{E} \right) \frac{sh \alpha}{\alpha} - \frac{T}{E} ch \alpha \right] \quad \text{gdzie:} \quad \alpha = \gamma_r \beta_r p / T$$

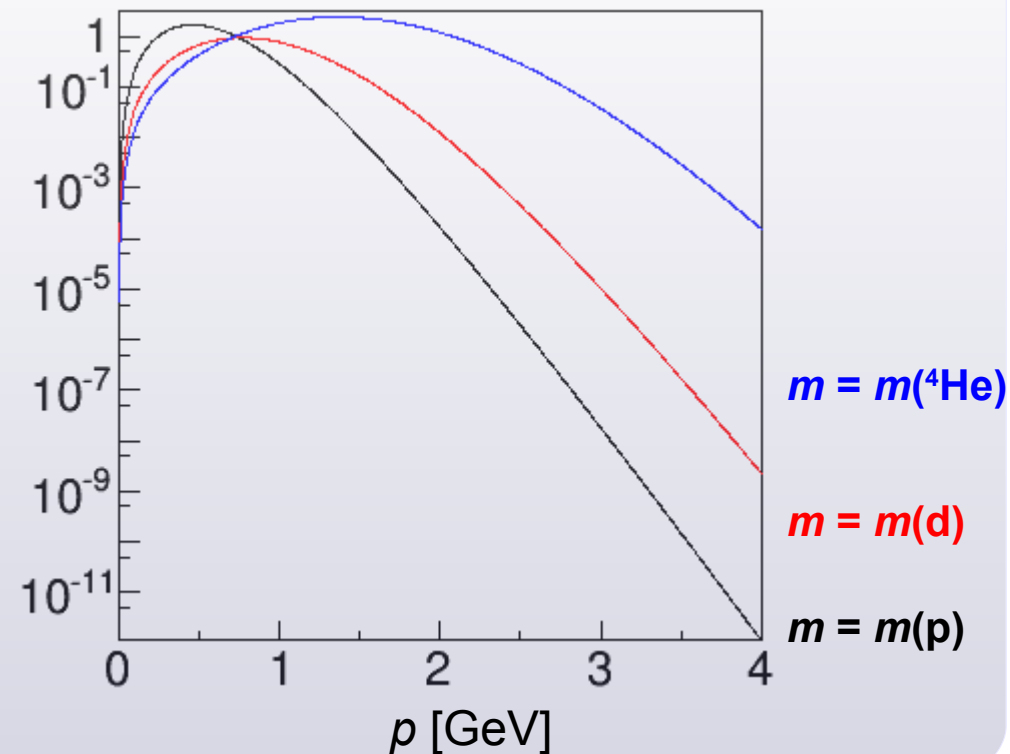
$N_i, Z$  : stałe normalizacyjne

- **Jeśli  $\beta_r \rightarrow 0$** , to  $\alpha \rightarrow 0$ . Wyrażenie [...]  $\rightarrow 1$ . W efekcie **rozkład S-R  $\rightarrow$  rozkład Boltzmann**

- Załóżmy:  $m = m_{\text{proton}}$ ,  $T = 70$  MeV  
Rozkłady S-R dla coraz większych  $\beta_r$ :

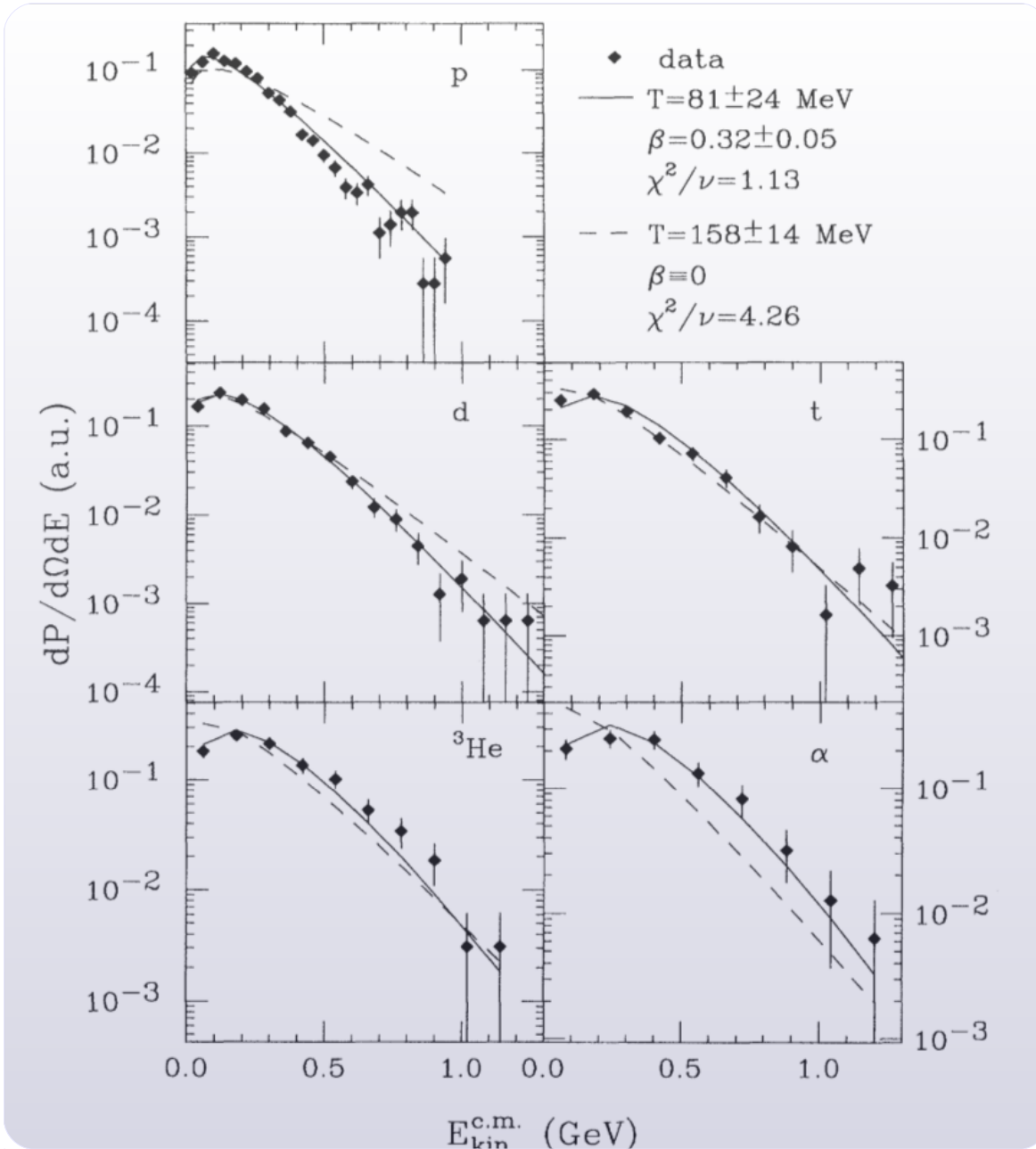


- Załóżmy:  $\beta_r = 0.3$ ,  $T = 70$  MeV  
Rozkłady S-R dla coraz większych mas:





• **Przykład.** Zderzenia centralne Au+Au @ 1.0A GeV



- Rozkłady  $dN/dE_k^{CM}$  przy  $\theta^{CM} \approx 90^\circ$  (midrapidity) dla p, d, t,  $^3\text{He}$ ,  $^4\text{He}$

- Dopasowania:

--- Boltzmann  
 — Siemens-Rasmussen

Podane  $\chi^2/\nu$  dotyczy: jednoczesnego fitu dla d, t,  $^3\text{He}$ ,  $^4\text{He}$  (p wyłączone)

- $\chi^2/\nu$  wyraźnie lepsze dla modelu S-R, niż B.
- Wg. S-R temperatura jest znacznie niższa niż wg. B.

$$E_{kin} = E_{r. kolektywny} + E_{r. termiczny}$$

# Przykład modyfikacji modelu „blast wave”

- Przewidywany w modelu SR rozkład nie opisywał niektórych rozkładów doświadczalnych.

Rozszerza się model „blast wave”,  
zastępując stałą  $\beta_r$  rozkładem  $dN/d\beta_r$ .

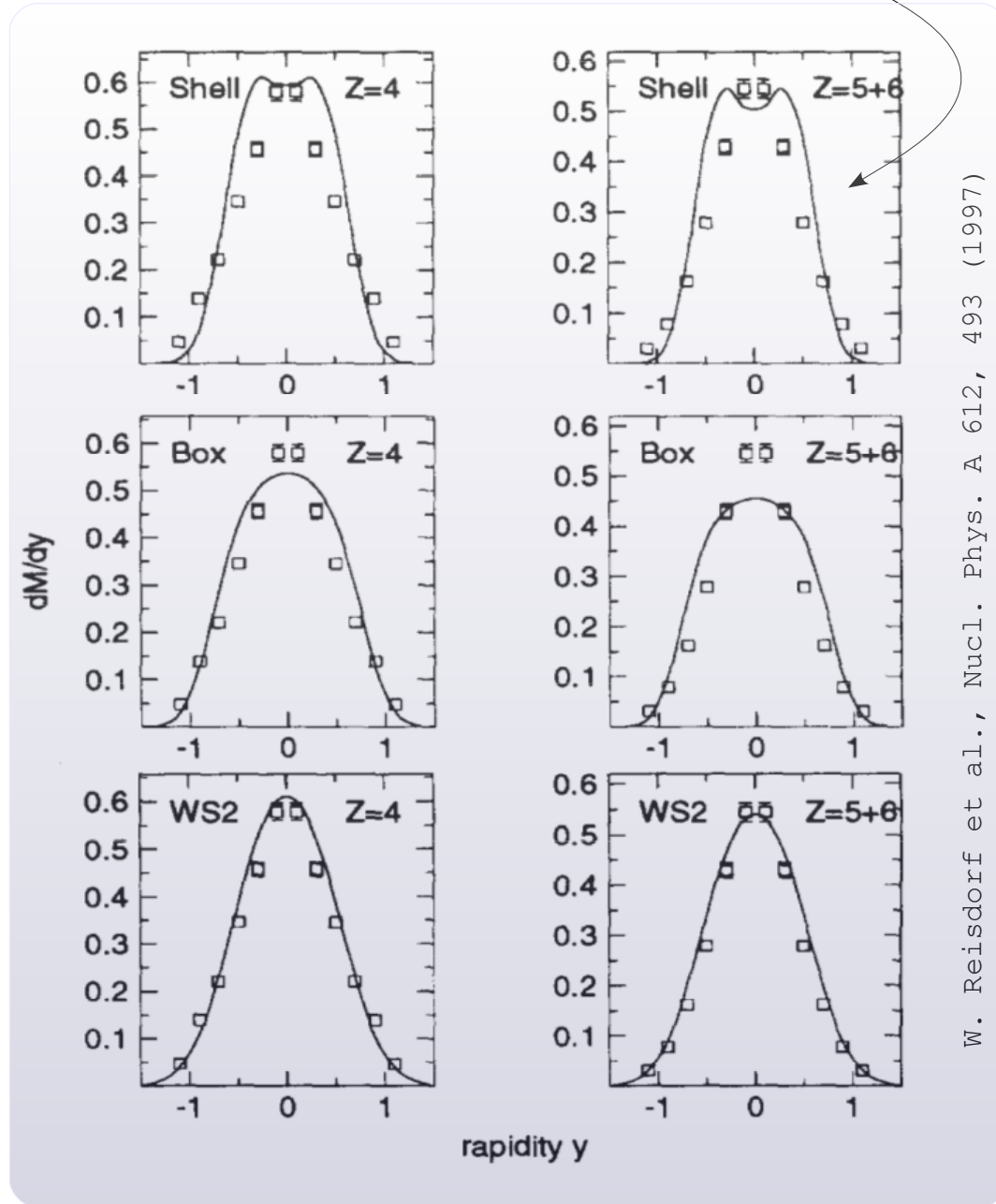
- Przykład:** Zderzenia centralne  
Au+Au @ 0.25A GeV

Różne scenariusze rozkładu  $dN/d\beta_r$ :

„Shell” : rozkład  $\beta_r = \delta_{\text{Diraca}}$  (oryginalny S-R)

„Box” : rozkład  $\beta_r$  : płaski dla  $[0 .. \beta_{\text{max}}]$

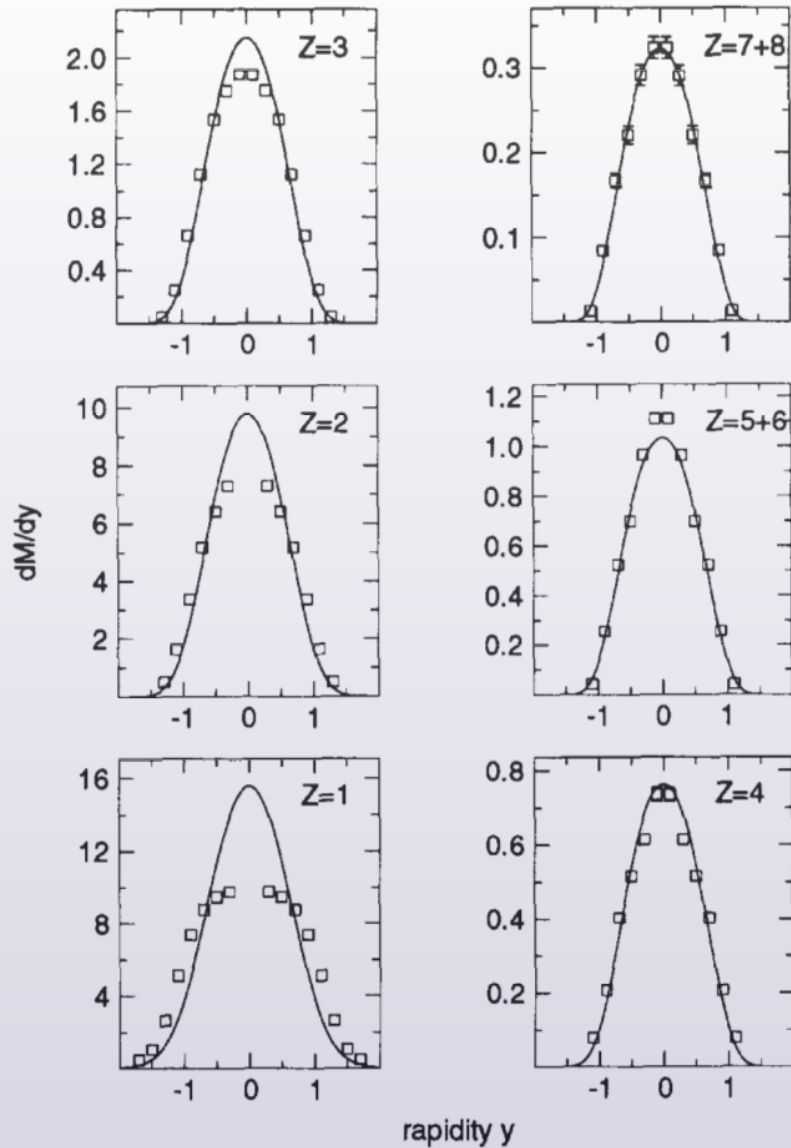
„WS” : rozkład  $\beta_r$  typu Woods-Saxon



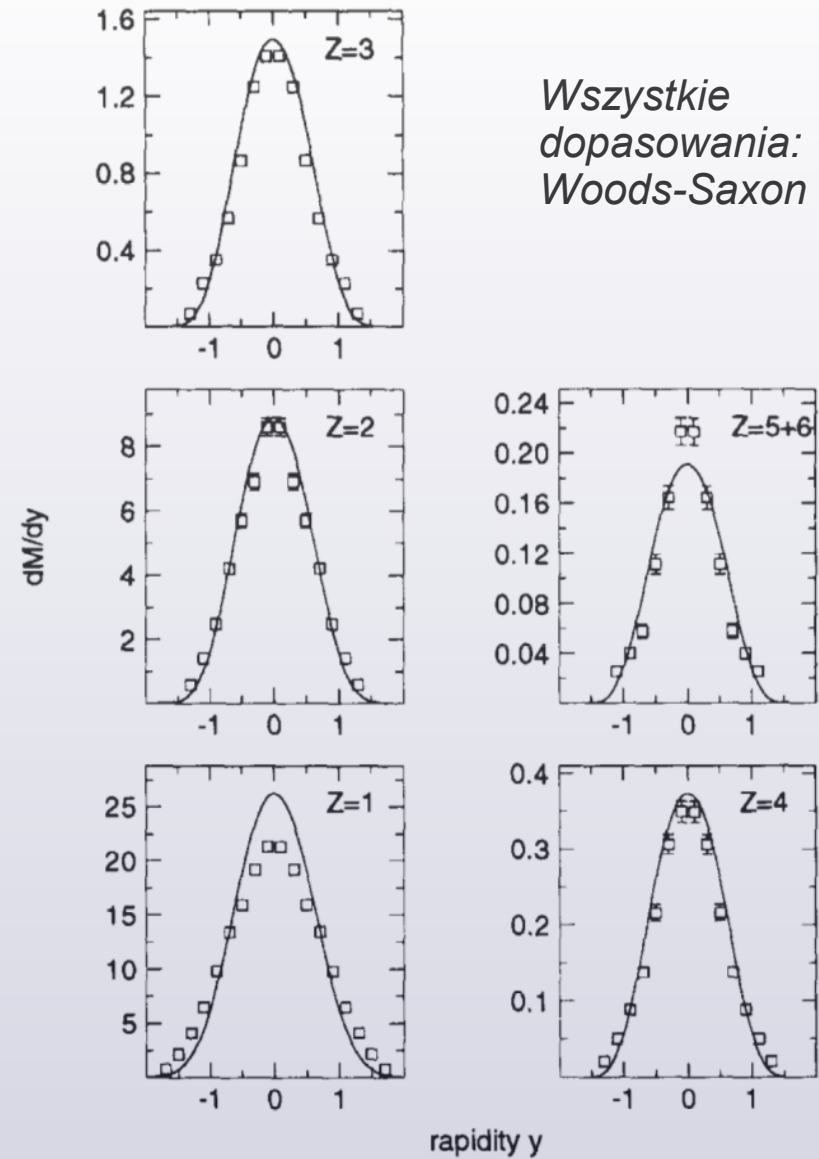
W. Reisdorf et al., Nucl. Phys. A 612, 493 (1997)

# Przykład modyfikacji modelu „blast wave” c.d.

- Au+Au @ 0.15A GeV (centralne)



- Au+Au @ 0.40A GeV (centralne)



*Wszystkie dopasowania: Woods-Saxon*



Nieźle, ale nieidealnie. Odstępstwa szczególnie dla protonów.

## **11. Stopping / Transparencja**

# "Stopping"

- **Q:** czy w zderzeniach rzeczywiście dochodzi do równowagi termodynamicznej?
- W dotychczasowym modelu (termiczny + SR) rozkład kątowy był izotropowy.

Pospieszność funkcjonuje też w kierunkach  $\perp$  (x lub y): 
$$y_{x,y} = \frac{1}{2} \ln \frac{E + p_{x,y}}{E - p_{x,y}}$$

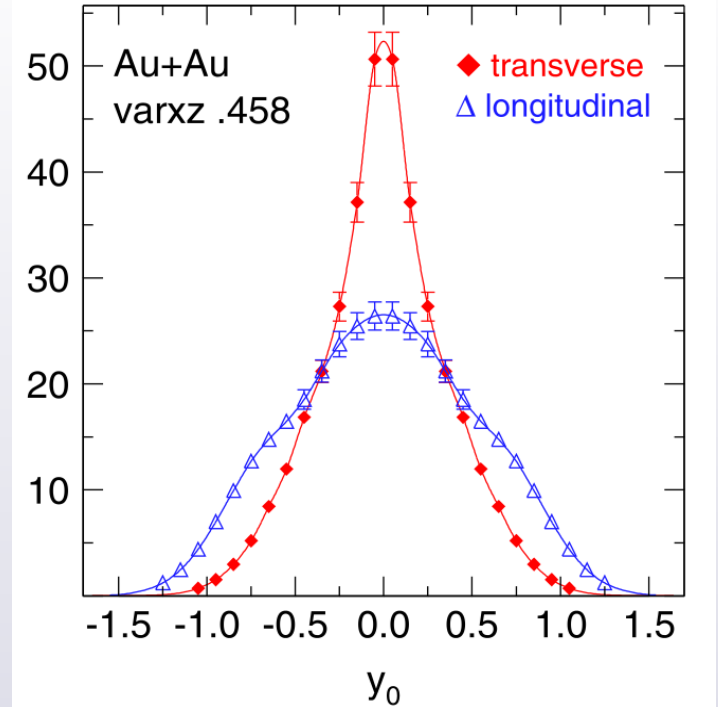
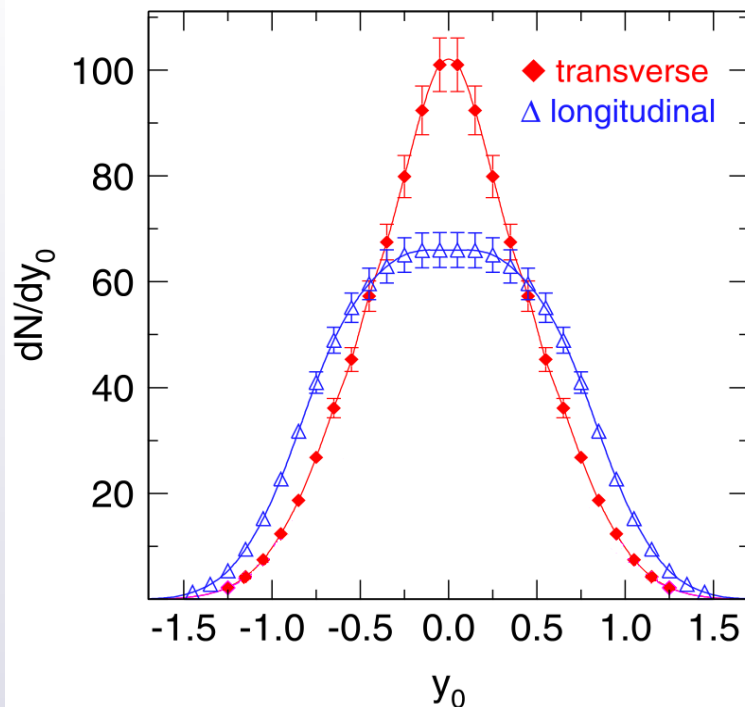
Protony i deuterony z centralnych zderzeń Au+Au @ 1.5A GeV

—  $dN/dy_{0z}$   
—  $dN/dy_{0x}$

przy czym:

$$y_0 = \frac{y - y_{CM}}{y_{CM}}$$

pospieszność zredukowana



Rozkłady emisji p, d z centralnych zderzeń Au+Au @ 1.5A GeV cechuje wyraźne wydłużenie w kierunku osi wiązki (pamięć układu o kierunku pierwotnym nie zacierą się całkowicie)

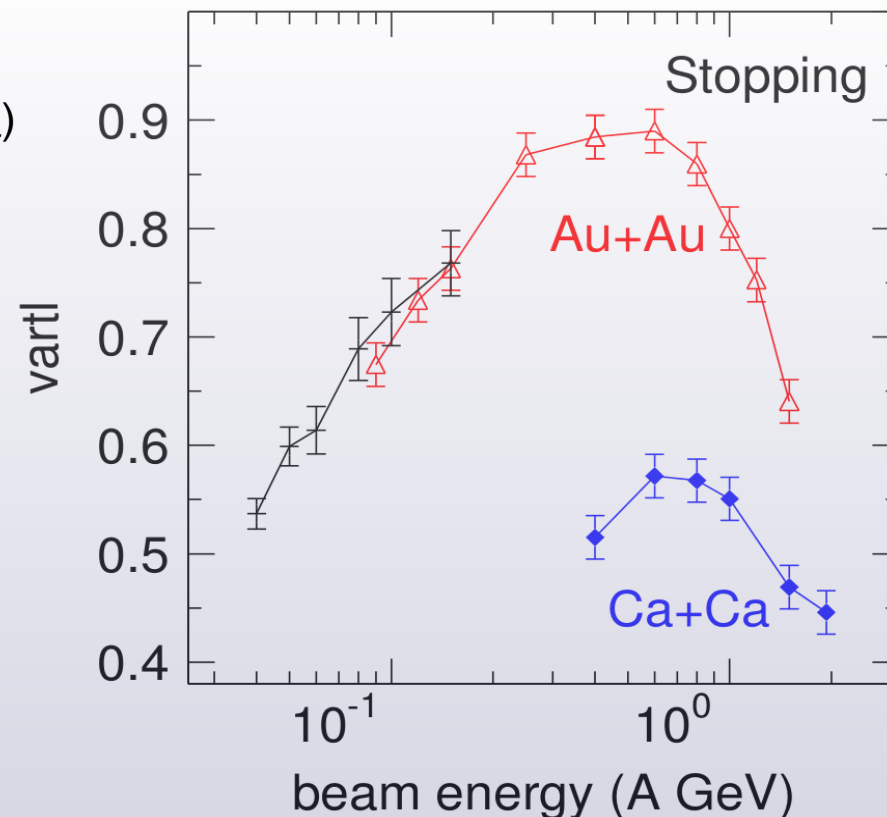
- Wydłużenie rozkładu można skwantyfikować:

- wyznaczyć wariancję  $dN/dy$  w kierunku wiązki ( $\sigma_z$ ) oraz w jednym z poprzecznych (np.  $\sigma_x$ )

- wyznaczyć ich stosunek:  $var/l \equiv \frac{\sigma_x}{\sigma_z}$

- Wykres zależności  $var/l = f(T_b; \text{rozmiar})$ .  
Każdy punkt to:

$var/l$ : dla sumarycznego rozkładu  $dN/dy$  *wszystkich* naładowanych barionów.  
(Zderzenia centralne)



➡ Wydłużenie rozkładów emisji wzdłuż osi wiązki jest regułą.  
Im mniejszy układ, tym wydłużenie wyraźniejsze.

Możliwe przyczyny:


- pływ wzdłuż osi Z jako reakcja na kompresję podczas zderzenia
- transparencja (częściowe przenikanie się f. falowych – efekt kwantowy)

**Q:** z którym zjawiskiem mamy do czynienia?

– wzrost wydłużenia ze zmniejszaniem się układu sugerowałby transparencją...

# Stopping: isospin tracing

- Dobierzmy dwa jądra o takich samych rozmiarach, ale z różną liczbą protonów, np. :

J. wiązki:   ${}^{96}_{44}\text{Ru}_{52}$   $N/Z \approx 1.2$

J. tarczy:   ${}^{96}_{40}\text{Zr}_{56}$   $N/Z = 1.4$

i obserwujemy rozkład  $dN/dy_z$  protonów. **3 scenariusze:**

- Pełna termalizacja  $\rightarrow$  wymieszanie  $n, p$ . (zatarcie pamięci).  
Rozkład  $dN/dy_z$  protonów: symetryczny względem  $y_{CM}$ .



- Kompresja, a następnie odbicie.  
Rozkład  $dN/dy_z$  protonów: przewaga  $p$  po stronie wiązki




- (Częściowa) transparentność, tj. przenikanie przez siebie jąder.  
Rozkład  $dN/dy_z$  protonów: przewaga  $p$  po stronie tarczy

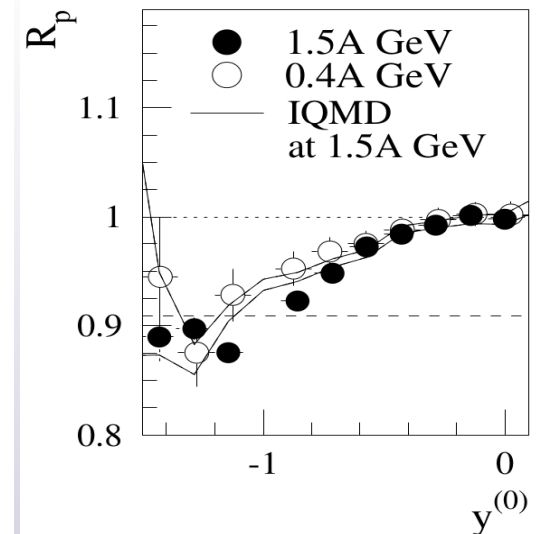
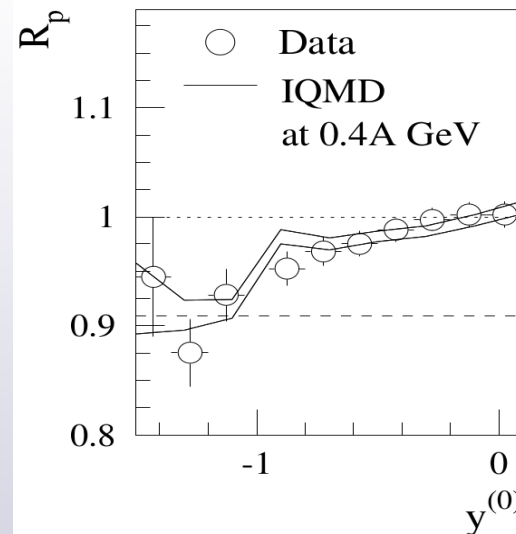


- Obserwabela:

$$R_p(y) = \frac{N_{RuZr}(y)}{N_{ZrRu}(y)}$$

- Dla  $y < 0$  obserwujemy  $R_p < 1$ .  
(niedomiar  $p$  po stronie j. wiązki)

  $\left\{ \begin{array}{l} \exists \text{ transparentność (częściowa),} \\ \nexists \text{ pełna termalizacja.} \end{array} \right.$



## 12. Rozkłady azymutalne



- Rozważmy zderzenie **nie-centralne**.

**Płaszczyzna reakcji:** rozpięta przez wektory osi wiązki  $\bar{z}$  i parametru zderzenia  $\bar{b}$ .  
Środki mas jąder leżą w płaszczyźnie reakcji.

W zderzeniu pł. reakcji tworzy z układem Lab kąt  $\varphi_r$ .

$\varphi_r$ : „**kąt płaszczyzny reakcji**”

- Wg. modelu statystycznego: emisja izotropowa.  
*A jak jest doświadczalnie?*

Kłopot:

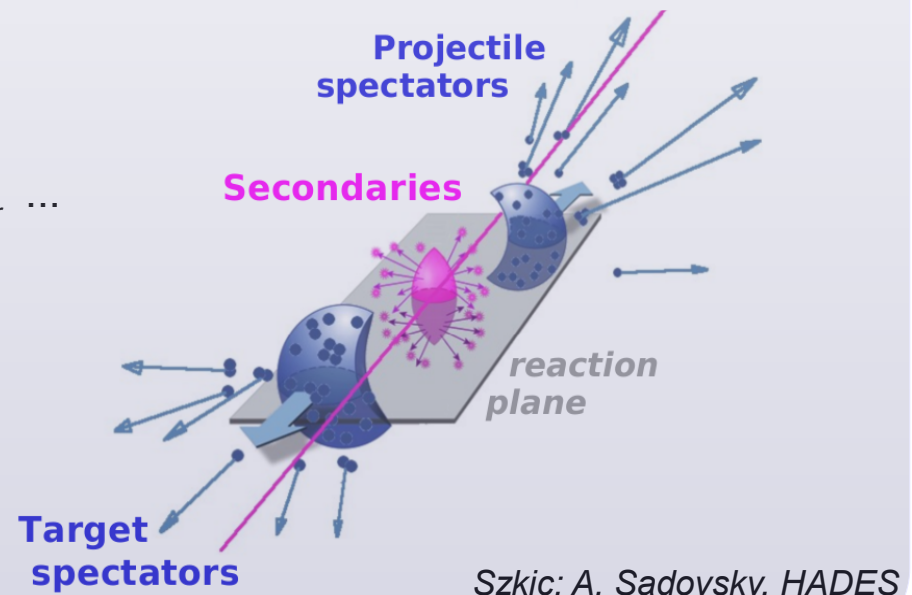
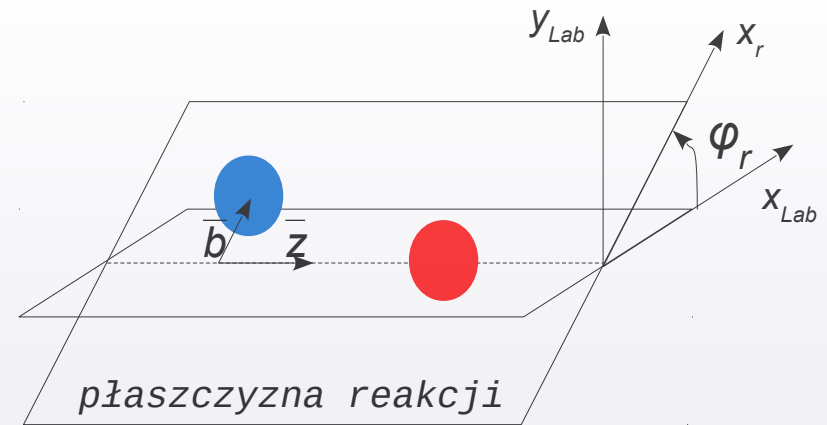
jeśli rozkład  $dN/d\varphi$  wzgl. Pł. Reakcji jest niejednorodny,  
to chaotyczność  $\varphi_r$  ujednotolica rozkład  $dN/d\varphi$  w Lab.

- Gdyby w każdym zdarzeniu móc zrekonstruować kąt  $\varphi_r$  ...

... wówczas można by w każdym ze zdarzeń „przekręcić”  $p_T$  wszystkich cząstek wstecz o  $\varphi_r$ .

Uzyskalibyśmy pierwotny rozkład  $dN/d\varphi$ .

Q: Jak zrekonstruować kąt  $\varphi_r$  ?



- Metoda pędów poprzecznych**

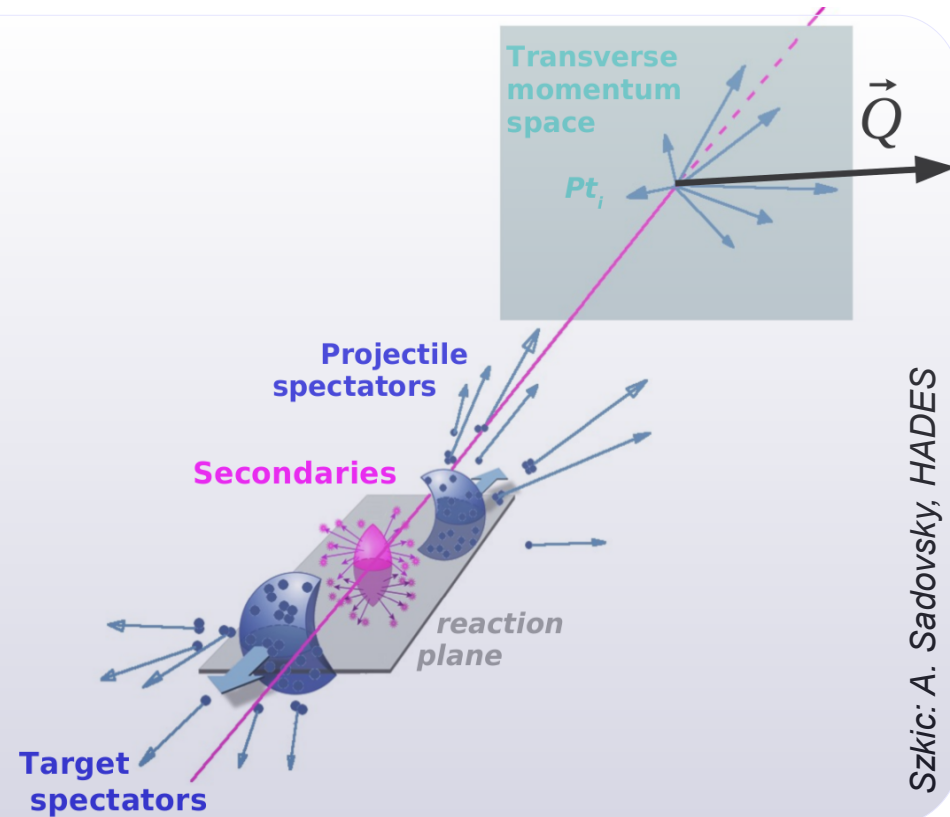
*P. Danielewicz, G. Odyniec, Phys. Lett. B 157, 146 (1985)*

Cząstki emitowane poza  $y_{CM}$  preferencyjnie pochodzą z obszarów widzów. Zbudujmy wektor  $\vec{Q}$ :

$$\vec{Q} = \sum_{i=1}^{N_{\text{wizów}}} w_i \vec{p}_{t,i}$$

$$w_i = \begin{cases} 1 & y_{0,i} > \Delta y \\ -1 & y_{0,i} < -\Delta y \end{cases}$$

Jeśli istnieje jakakolwiek anizotropia (symetryczna względem pł. reakcji), to  $\vec{Q}$  ją wychwyci i ustawi się wzdłuż pł. reakcji (modulo fluktuacja statystyczna).



Szkic: A. Sadovsky, HADES

- Rozkład na szereg Fouriera**

$\varphi$  : kąt azymutalny cząstki względem pł. reakcji.  $\varphi \in [0, 2\pi) \rightarrow$  rozkład  $dN/d\varphi$  periodyczny. Dowolną funkcję periodyczną można rozłożyć na szereg Fouriera. Czyli:

$$\frac{dN}{d\varphi} \sim \frac{1}{2\pi} \left( 1 + 2 \sum_{n \geq 1} v_n \cos n\varphi \right)$$

wkład izotropowy  $\rightarrow$

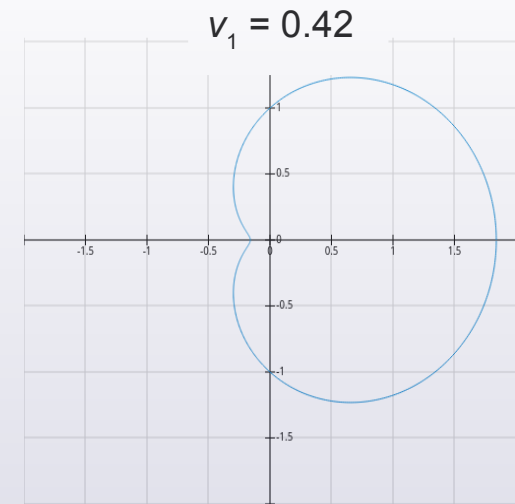
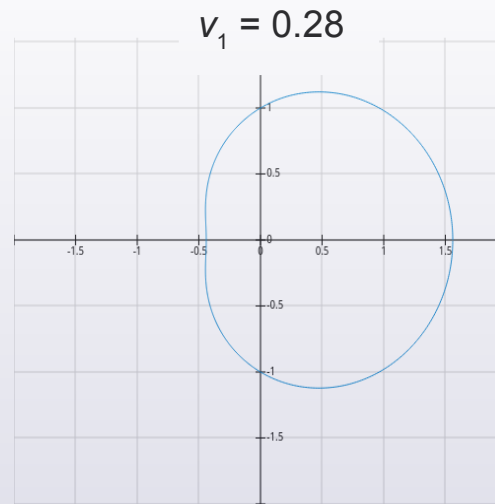
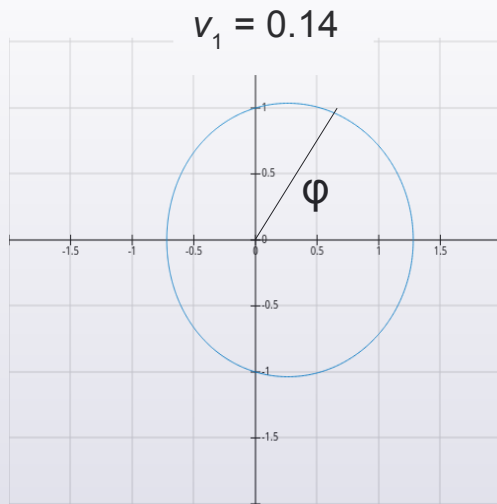
*S. Voloshin, Y. Zhang, Z. Phys. C 70, 665 (1996)*

$v_n$  : wagi kolejnych wkładów,  $v_n \in [-1, 1]$   
 Nazwa – *współczynniki pływu* (*flow coefficients*)

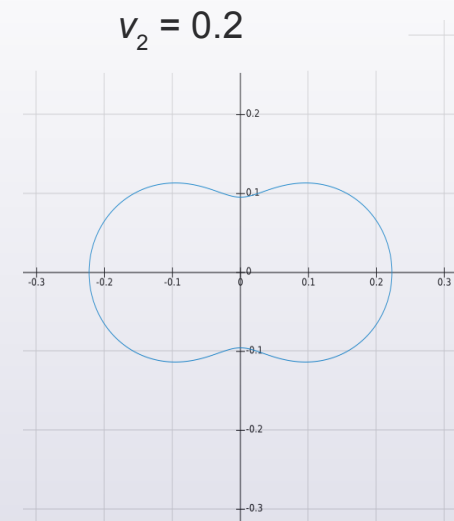
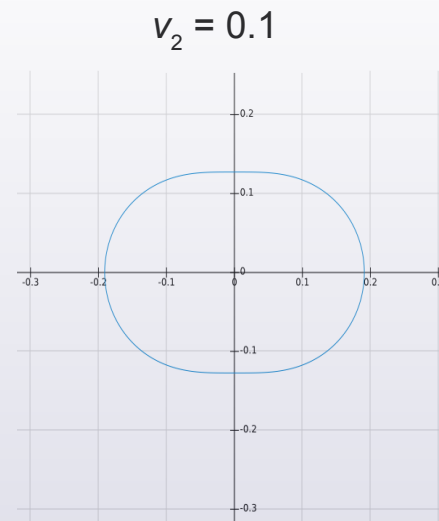
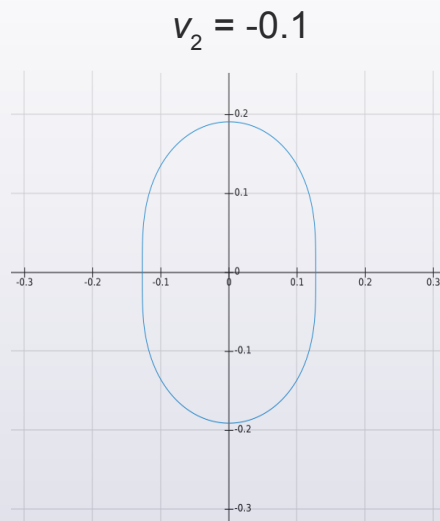
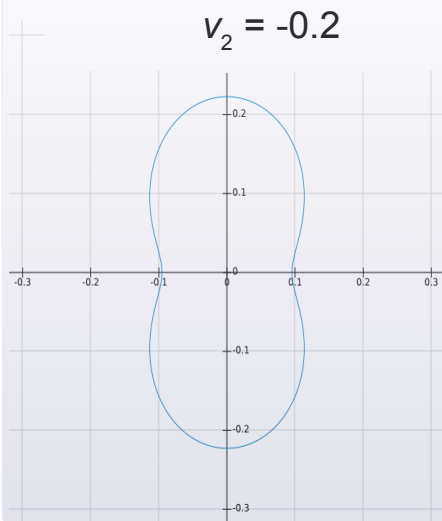
Zachodzi:  $v_n = \langle \cos n\varphi \rangle$

# Za co odpowiadają współczynniki pływów?

- Przypadek: izotropia +  $v_1$  (pływ skierowany / directed flow)



- Przypadek: izotropia +  $v_2$  (pływ eliptyczny / elliptic flow)

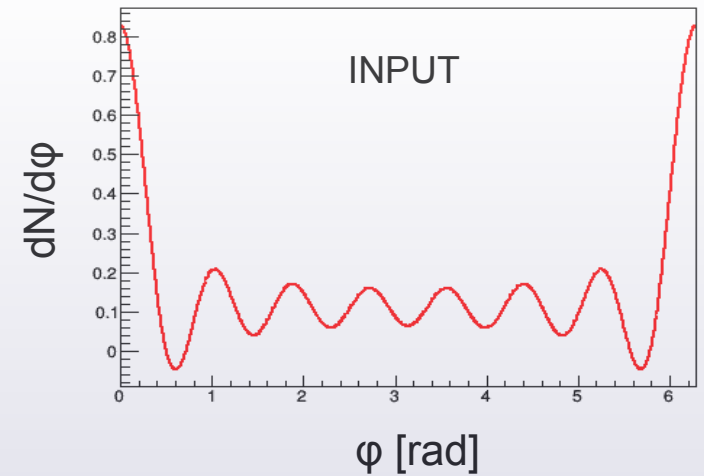


- Załóżmy, że rozkład  $dN/d\phi$  składa się z 7 współczynników  $v_i$  o wartościach  $v_i = 0,3$ ,  $i = \{1 \dots 7\}$ .



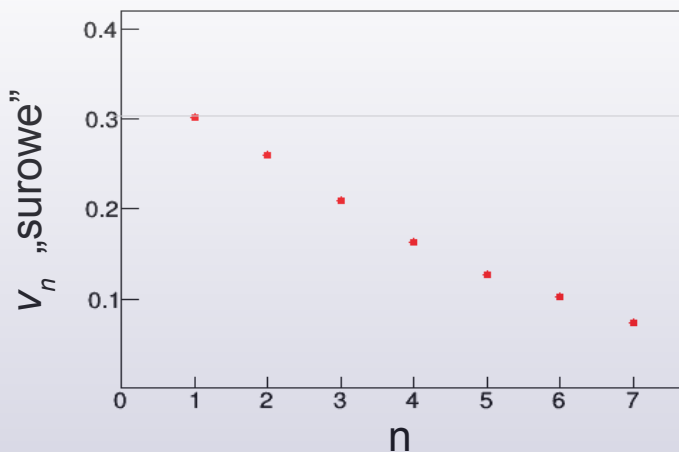
**Symulacja:**  $10^5$  zderzeń  $\times$  60 wyemitowanych cząstek.  
Pęd każdej cząstki = 1 (uproszczenie).

- Każde zderzenie:  $\phi_r$  próbkowany izotropowo
- Każda cząstka:  $\phi_i$  próbkowany z  $dN/d\phi$  i obracany do Lab:  $\phi_{\text{Lab},i} = \phi_i + \phi_r$ .



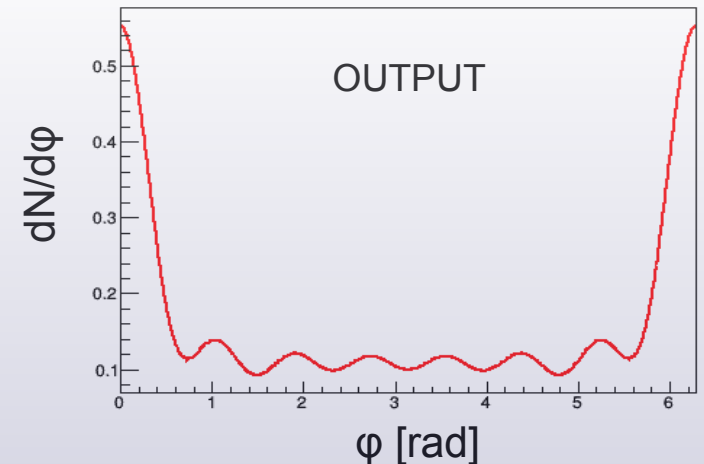
- Następnie **rekonstrukcja**. W każdym zderzeniu:
  - rekonstrukcja kąta płaszczyzny reakcji  $\psi_r$  via  $\bar{Q}$  (uwaga:  $\psi_r$  to estymator  $\phi_r$ )
  - transformacja kątów z Lab do pł. reakcji:  $\phi_i = \phi_{\text{Lab},i} - \psi_r$
  - Ekstrakcja  $v_n$  według:  $v_n \approx \langle \cos n\phi \rangle$

- Skutek:



Im wyższy stopień  $v_n$   
(wyższe harmoniczne),  
tym bardziej wkład  
został stłumiony...

**Q: Gdzie tkwi problem?**

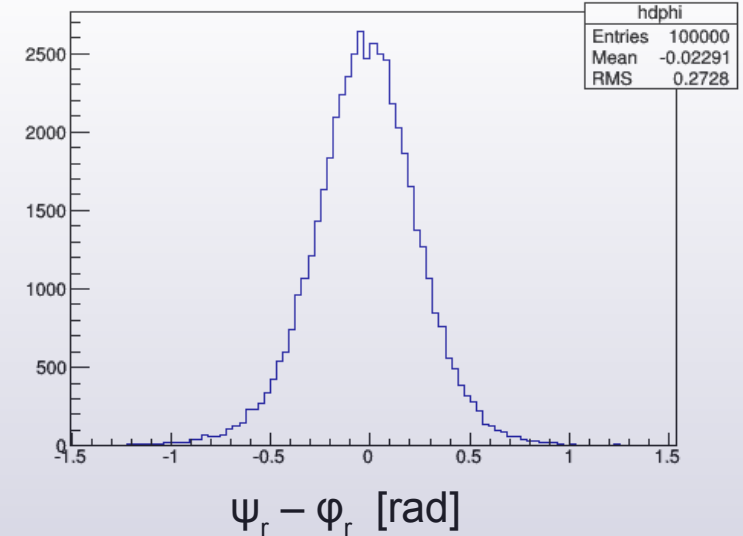


- Przyczyna problemu:

jeżeli liczba cząstek w 1 zderzeniu nie jest wysoka, to zrekonstruowany kąt płaszczyzny reakcji  $\psi_r$  jest tylko estymatorem prawdziwego kąta  $\varphi_r$ , a pomiar „myli się” średnio o niepewność  $\Delta\varphi_r$ .

Możemy to zobaczyć w symulacji  $\longrightarrow$

Jeżeli występuje anizotropia rozkładu  $dN/d\varphi$ , to ograniczona statystyka ją rozmywa.



- „**Metoda Ollitrault**” korekcji pływu. [J-Y. Ollitrault, arXiv:nuc1-ex/9711003]  
Ograniczona statystyka w 1 zdarzeniu  $\rightarrow \bar{Q}$  rozmyte zgodnie z 2D rozkładem Gaussa.

- Rozmycie  $\Delta\varphi_r$  osłabia coraz silniej kolejne współczynniki  $v_n$ , ale w sposób regularny:

$$\langle \cos n \psi \rangle = \langle \cos n \varphi \rangle \cdot \langle \cos n \Delta \varphi_r \rangle$$

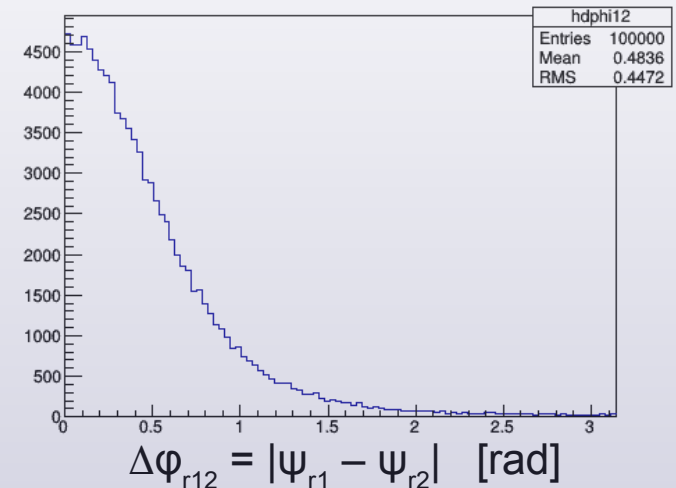
estymator            wartość            współcz.  
                         prawdziwa            osłabienia

- Jak oszacować  $\Delta\varphi_r$ , skoro nie znamy prawdziwego  $\varphi_r$ ?

W każdym zderzeniu dzieli się próbkę na 2 części.

Wyznaczamy  $\psi_{r,1}$  i  $\psi_{r,2}$  z tych podpróbek.

Wyrażenie  $\Delta\varphi_{r12} = |\psi_{r,1} - \psi_{r,2}|$  podlega rozrzutowi  $\longrightarrow$



- Najkrótszy przepis na korekcję.**

- ☞ Budujemy histogram zmiennej:  $\cos \Delta\varphi_{r12}$
- ☞ Pobieramy wart. średnią:  $\langle \cos \Delta\varphi_{r12} \rangle$

W ramach metody Ollitrault, wartość ta zależy od pewnego parametru  $\chi$ :

$$\langle \cos \Delta\varphi_{r12} \rangle = \frac{\pi}{8} \chi^2 e^{-\chi^2} \cdot \left[ I_0\left(\frac{\chi^2}{4}\right) + I_0\left(\frac{\chi^2}{4}\right) \right]^2$$

*Ollitrault '97  
Eq. 14*

gdzie  $I_0$ : funkcja Bessel'a

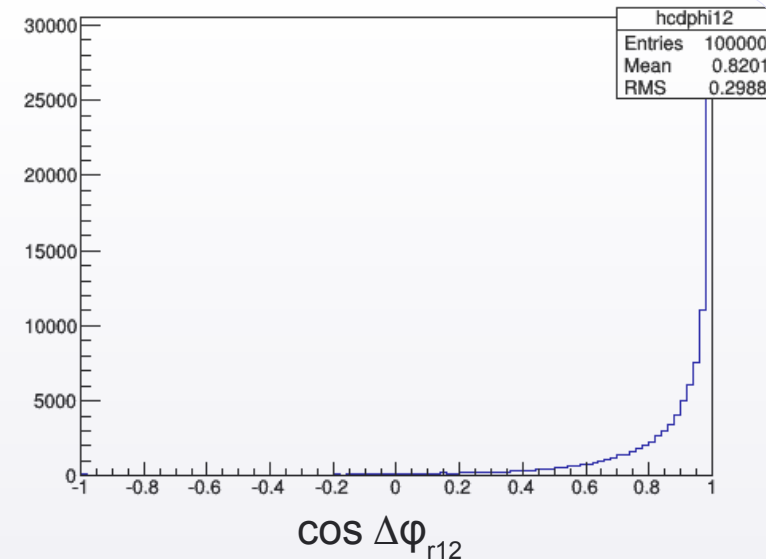
- ☞ Wyznaczamy wartość  $\chi$  (np. numerycznie).

- Współczynniki korekcji dla kolejnych wyrazów  $v_n$  zależą tylko od  $\chi$  i mają postać:

$$\langle \cos n \Delta\varphi_r \rangle = \frac{\sqrt{\pi}}{2} \chi e^{-\chi^2/2} \cdot \left[ I_{\frac{n-1}{2}}\left(\frac{\chi^2}{2}\right) + I_{\frac{n+1}{2}}\left(\frac{\chi^2}{2}\right) \right]$$

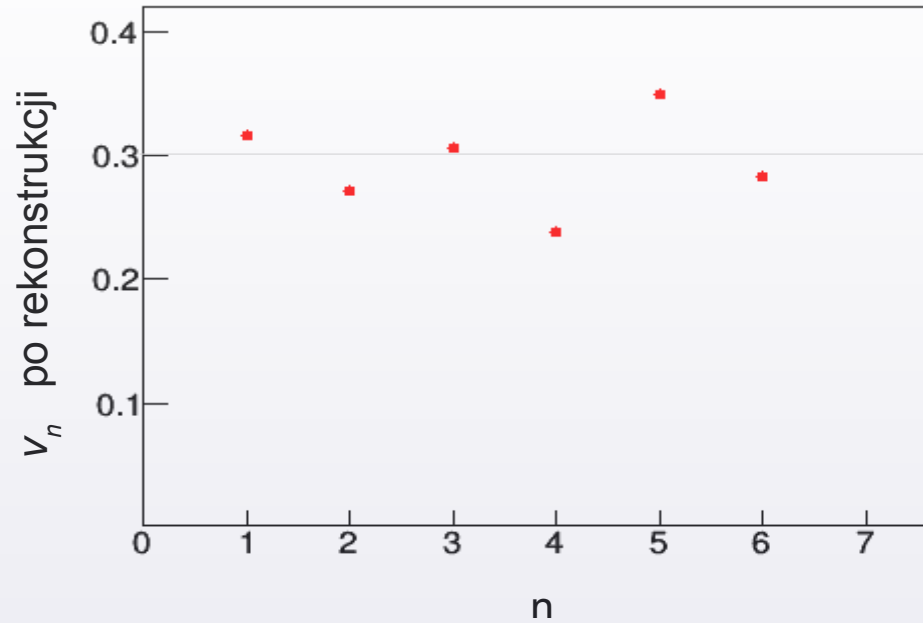
*Ollitrault '97  
Eq. 8*

gdzie  $I_x$ : funkcja Bessel'a

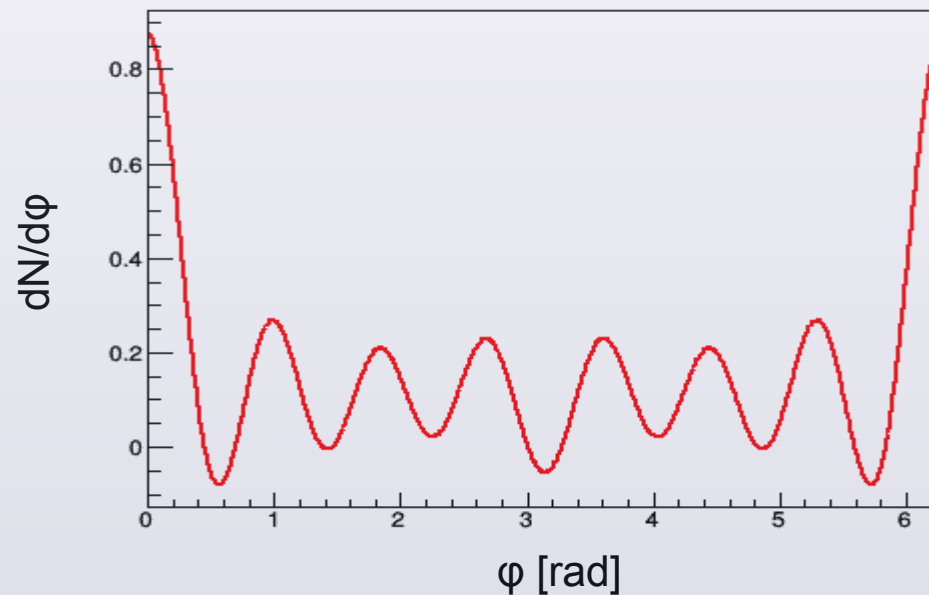


Clou: to się d a j e zrobić !

- Symulacja. Wynik korekcji metodą Ollitrault:

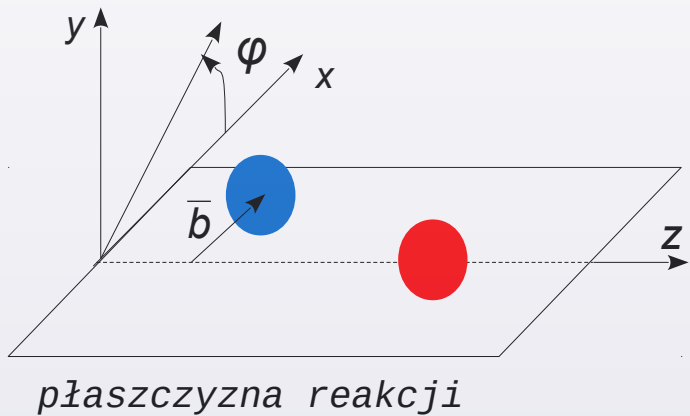


Rozrzut  $v_n$  związany z niepewnościami,  
ale przeciętny  $v_n \approx 0.3$   
(trend opadający cofnięty)



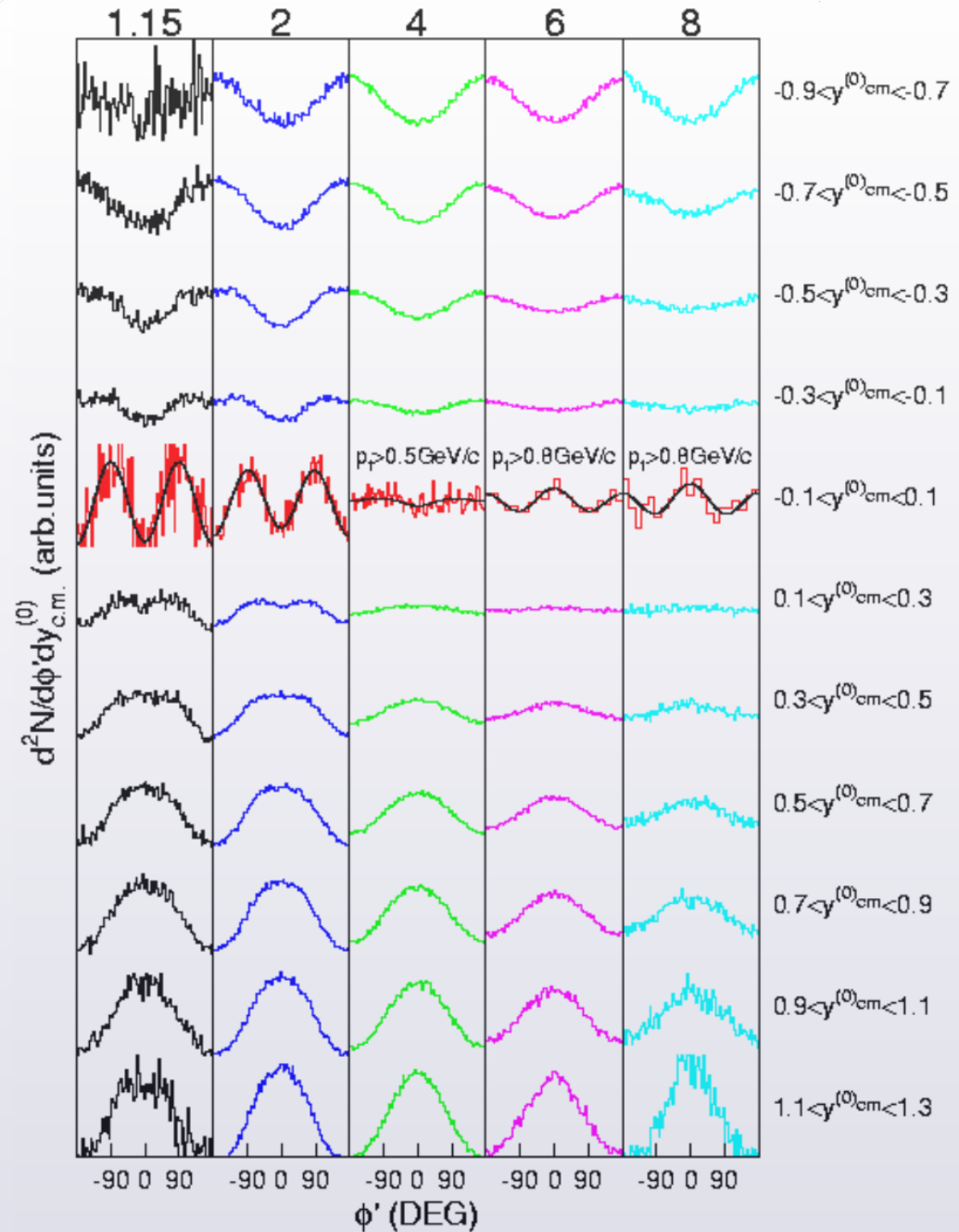
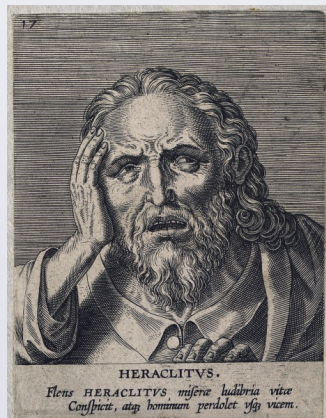
Skorygowany  
rozkład  $\frac{dN}{d\varphi}$

- Rozkłady  $dN/d\phi$  protonów ze zderzeń Au+Au @ 1.15 – 8A GeV dla kolejnych plastrów  $y^{(0)CM}$ . (uśrednione po  $p_T$ )
- Orientacja kąta  $\phi$



„Panta rhei ...”

Heraklit z Efezu





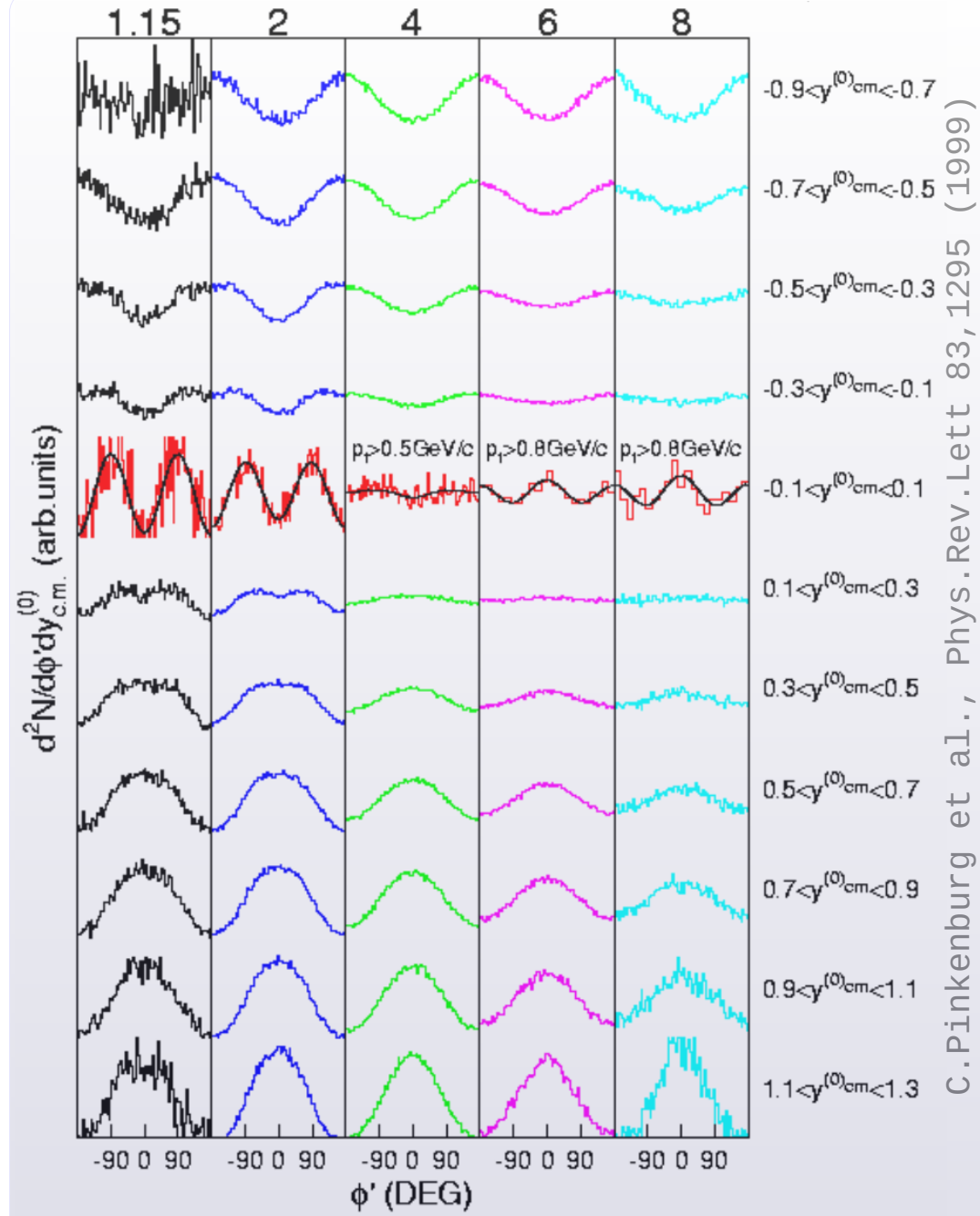
- Spójrzmy na  $T_b \approx 1 \dots 2A$  GeV

$y_z^{(0),CM}$	Efekt wiodący	$v_1$	$v_2$
$< 0$	silna preferencja ku $x < 0$	$< 0$	
$\approx 0$	silna preferencja ku OY $\updownarrow$		$< 0$
$> 0$	silna preferencja ku $x > 0$	$> 0$	

- Spójrzmy na  $T_b \approx 4 \dots 8A$  GeV

$y_z^{(0),CM}$	Efekt wiodący	$v_1$	$v_2$
$< 0$	silna preferencja ku $x < 0$	$< 0$	
$\approx 0$	silna preferencja ku OX $\leftrightarrow$		$> 0$
$> 0$	silna preferencja ku $x > 0$	$> 0$	

- ε Silne pływy:  
 $v_1$  (skierowany / directed) i/lub  
 $v_2$  (eliptyczny / elliptic)
- ε Jest to dodatkowy składnik ruchu kolektywnego (nie-termicznego)



C. Pinkenburg et al., Phys. Rev. Lett. 83, 1295 (1999)

- Spójrzmy na  $T_b \approx 1 \dots 2A$  GeV

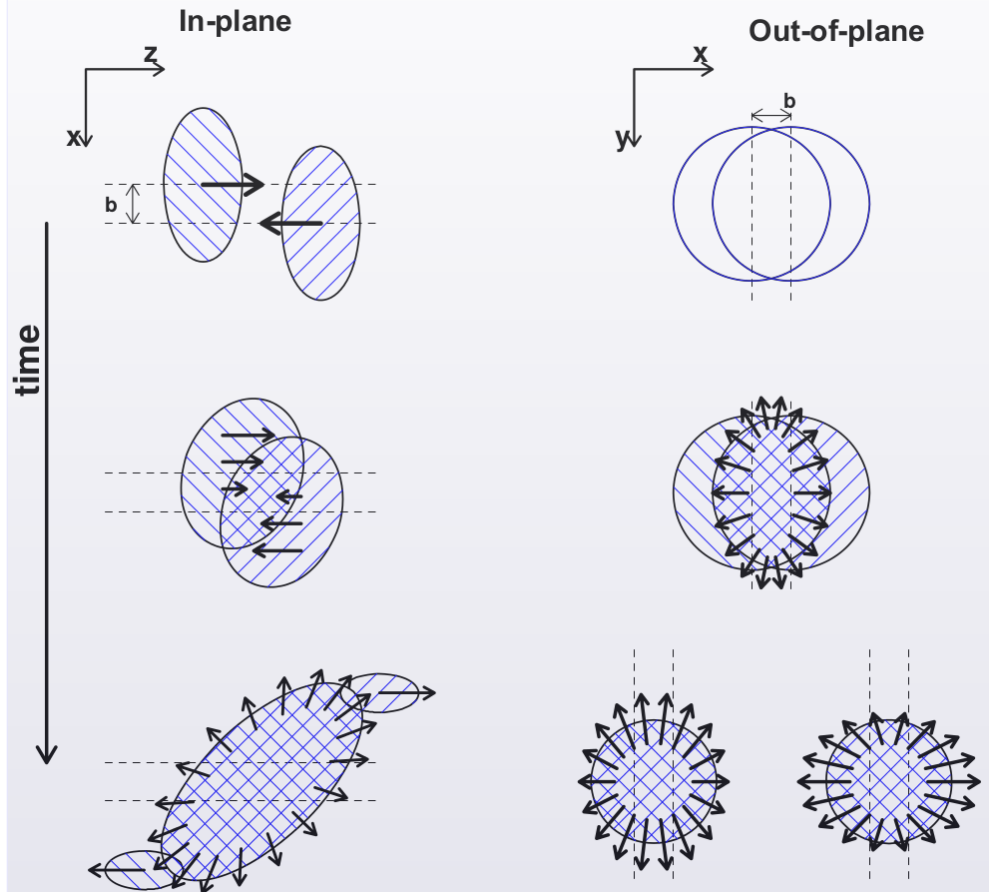
$y_z^{(0),CM}$	Efekt wiodący	$v_1$	$v_2$
$< 0$	silna preferencja ku $x < 0$	$< 0$	
$\approx 0$	silna preferencja ku OY $\updownarrow$		$< 0$
$> 0$	silna preferencja ku $x > 0$	$> 0$	

- Spójrzmy na  $T_b \approx 4 \dots 8A$  GeV

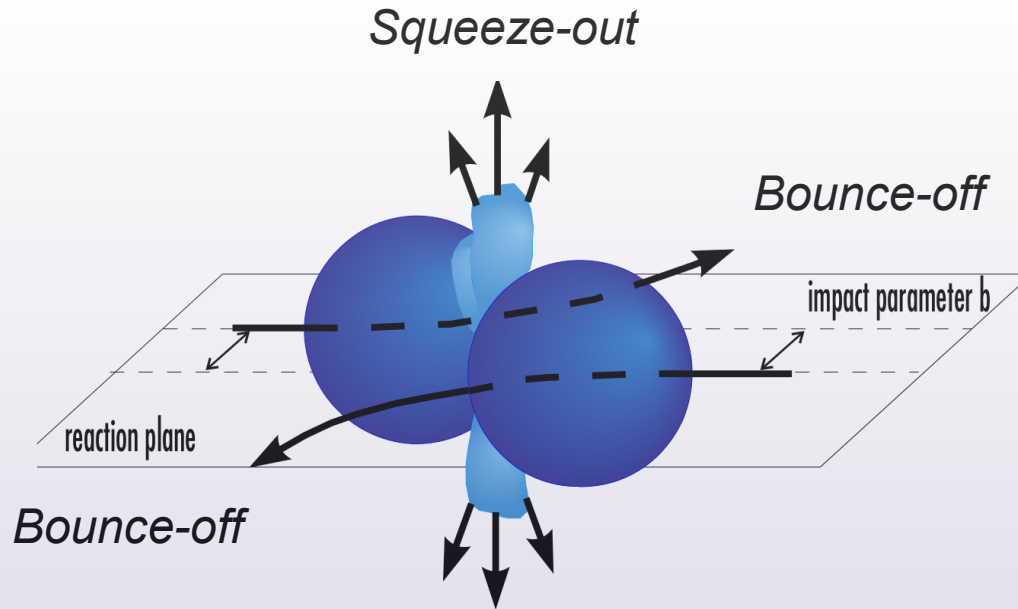
$y_z^{(0),CM}$	Efekt wiodący	$v_1$	$v_2$
$< 0$	silna preferencja ku $x < 0$	$< 0$	
$\approx 0$	silna preferencja ku OX $\leftrightarrow$		$> 0$
$> 0$	silna preferencja ku $x > 0$	$> 0$	

- ☞ Silne pływy:  
 $v_1$  (skierowany / directed) i/lub  
 $v_2$  (eliptyczny / elliptic)
- ☞ Jest to dodatkowy składnik ruchu kolektywnego (nie-termicznego)

- Interpretacja graficzna przebiegu zderzenia



Źródło: N.Herrmann, FOPI/CBM



- bounce-off (wzdłuż pł. reakcji)  
 $\Leftrightarrow v_1 > 0$  dla  $y_z > 0$   
 $\Leftrightarrow v_1 < 0$  dla  $y_z < 0$
- Squeeze-out (na zewnątrz pł. reakcji)  
 $\Leftrightarrow v_2 < 0$  obserwowany w midrapidity

- W. Reisdorf (2012)

Even under the constraints of symmetric heavy ion systems, the flow fields  $v_1$  and  $v_2$  have complex multidimensional dependences:

$$v_1 = v_1(E/u, A_{sys}, Z_{sys}, b_0, A, Z, y_0, u_{t0}) \quad (11)$$

$$v_2 = v_2(E/u, A_{sys}, Z_{sys}, b_0, A, Z, y_0, u_{t0}) \quad (12)$$

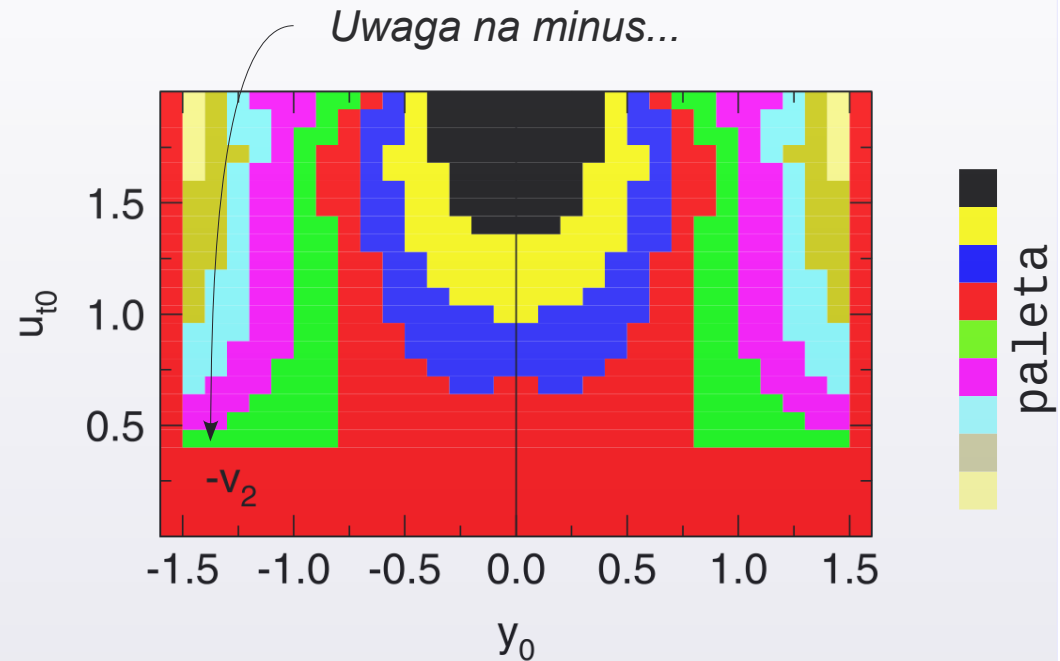
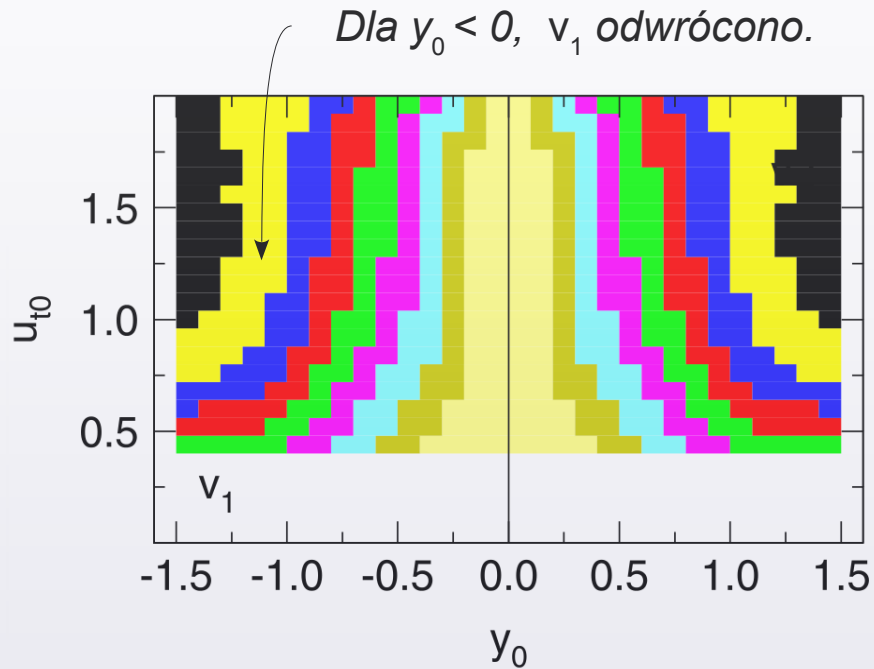
where  $E/u$  is the incident beam energy per mass unit,  $A_{sys}$ ,  $Z_{sys}$  are the system mass and charge,  $A$ ,  $Z$  is the ejectile composition. As a consequence a complete systematics encompasses an enormous amount of information. It is out of question to present all this information in one readable paper: the chosen one-dimensional cuts through the flow topology are necessarily restrictive and

➡ Omówimy jedynie wiodące efekty.

# Pływ protonów w przestrzeni pędowej

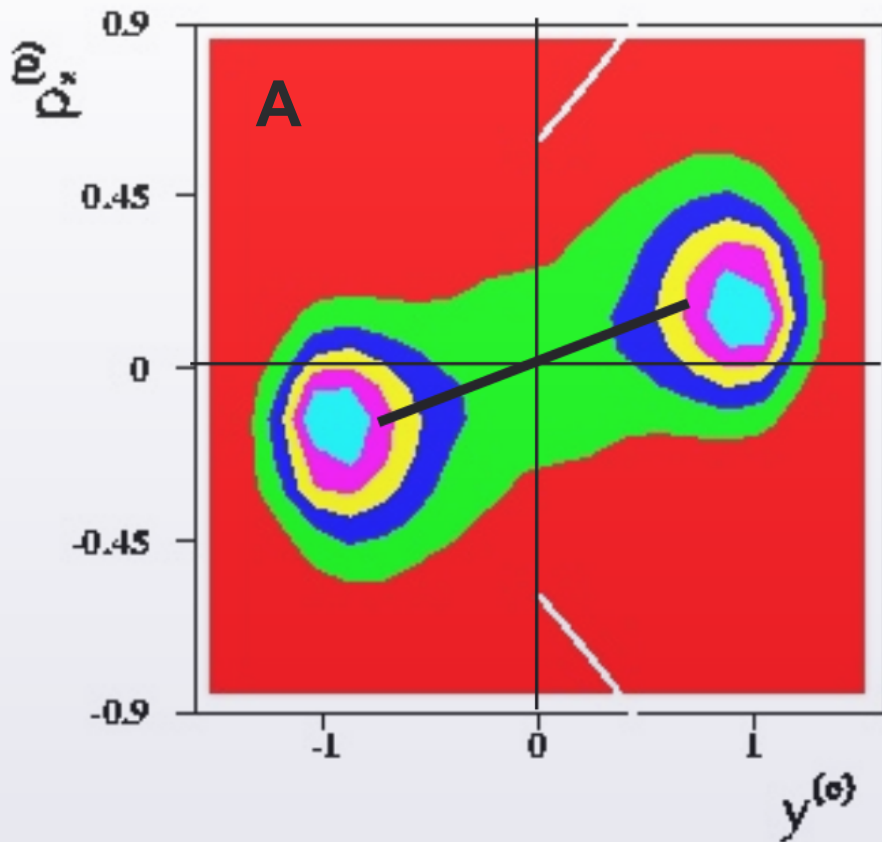
- Mapy pływów: skierowanego  $v_1$  i eliptycznego  $v_2$  w przestrzeni fazowej na przykładzie protonów z semicentralnych zderzeń Au+Au @ 1A GeV

$$u_{t0} \equiv \frac{\beta_t \gamma}{(\beta_t \gamma)^{\text{wiązki}}} \sim p_t$$



- Pływ  $v_1$  (tendencja do emisji w kierunku OX) narasta z prędkością  $\rightarrow$  Efekt bounce-off.  
Pływ  $v_1$  narasta też z prędkością (pędem)  $\perp$ : im szybsze cząstki, tym bardziej na „bok”.  
Dla  $y_0 = 0$ , pływ  $v_1 = 0$  (w midrapidity  $v_1$  zmienia znak)
- Pływ  $v_2$  silnie ujemny w midrapidity (tendencja ku OY)  $\rightarrow$  Efekt squeeze-out.  
Pływ  $v_2$ : rośnie ujemna wartość z prędkością (pędem)  $\perp$ : im szybsze, tym squeeze-out silniejszy

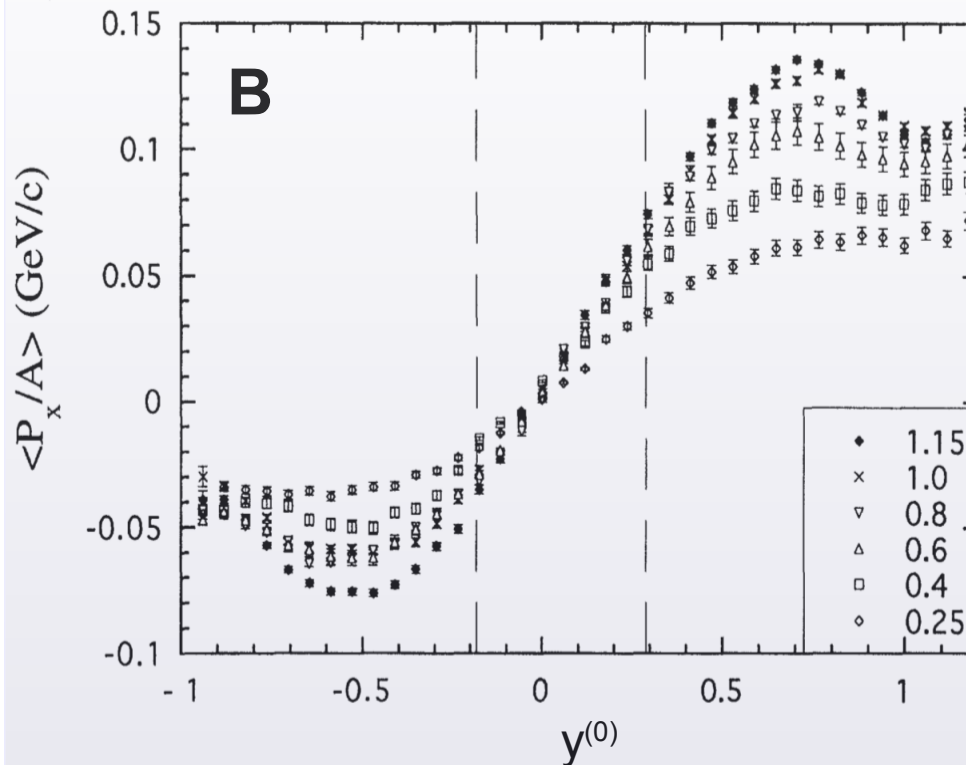
- Rozkład dla  ${}^4\text{Li}$  z Au+Au @ 400A MeV



- Zmienne:

$$p_x^{(0)} \equiv \frac{p_x / A}{p_{beam}^{cm}} \quad y^{(0)} \equiv \frac{y - y^{CM}}{y^{CM}}$$

- Pływ boczny**  $p + d + t + {}^3,4\text{He}$  (łącznie) z Au+Au przy  $T_{beam} = [0.25 \dots 1.15] A \text{ GeV}$ .



- Wykres B: zmienne b. podobne do tych z A. B jest „projekcją z A”,  $2 \rightarrow 1$  dim.
- Ważne wnioski:
  - (I) Pływ boczny zmienia się z  $T$  wiązki
  - (II) Miara nasilenia: 1. pochodna w  $y = y_{CM}$

- Zmienna  $F_y$ : („ $y$ ” pochodzi od pochodnej po  $y$ )

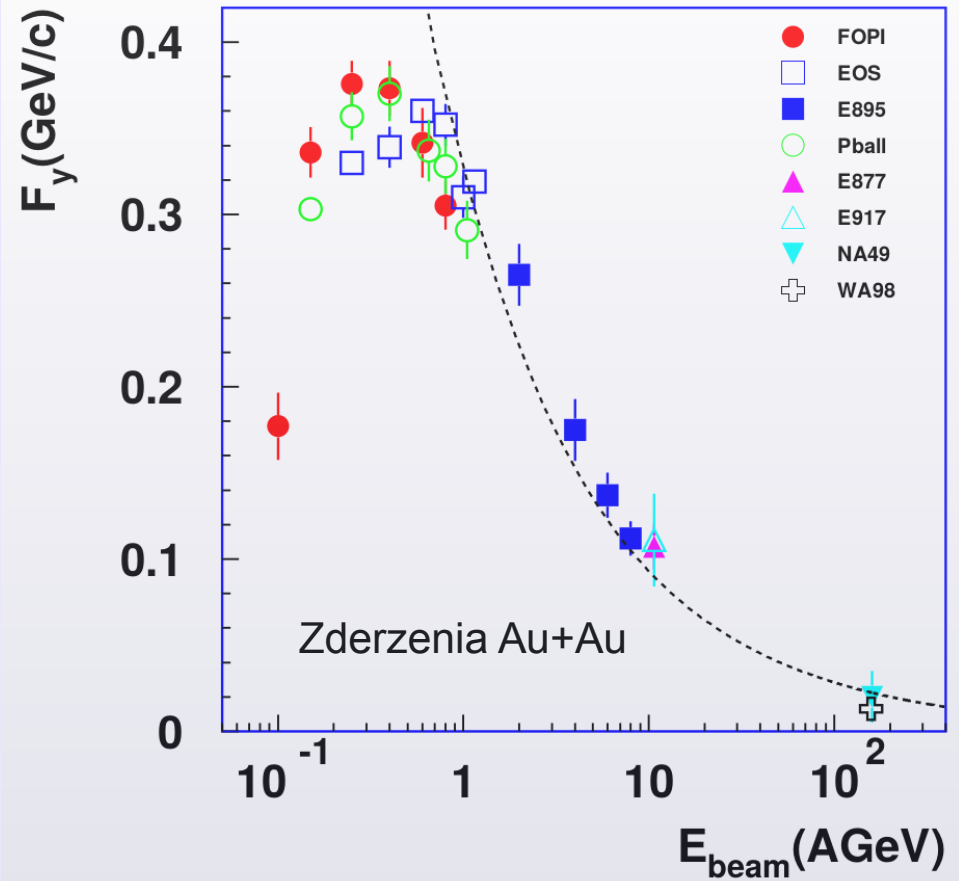
$$F_y \equiv \left. \frac{d \langle p_x / A \rangle}{dy} \right|_{y=y^{CM}}$$

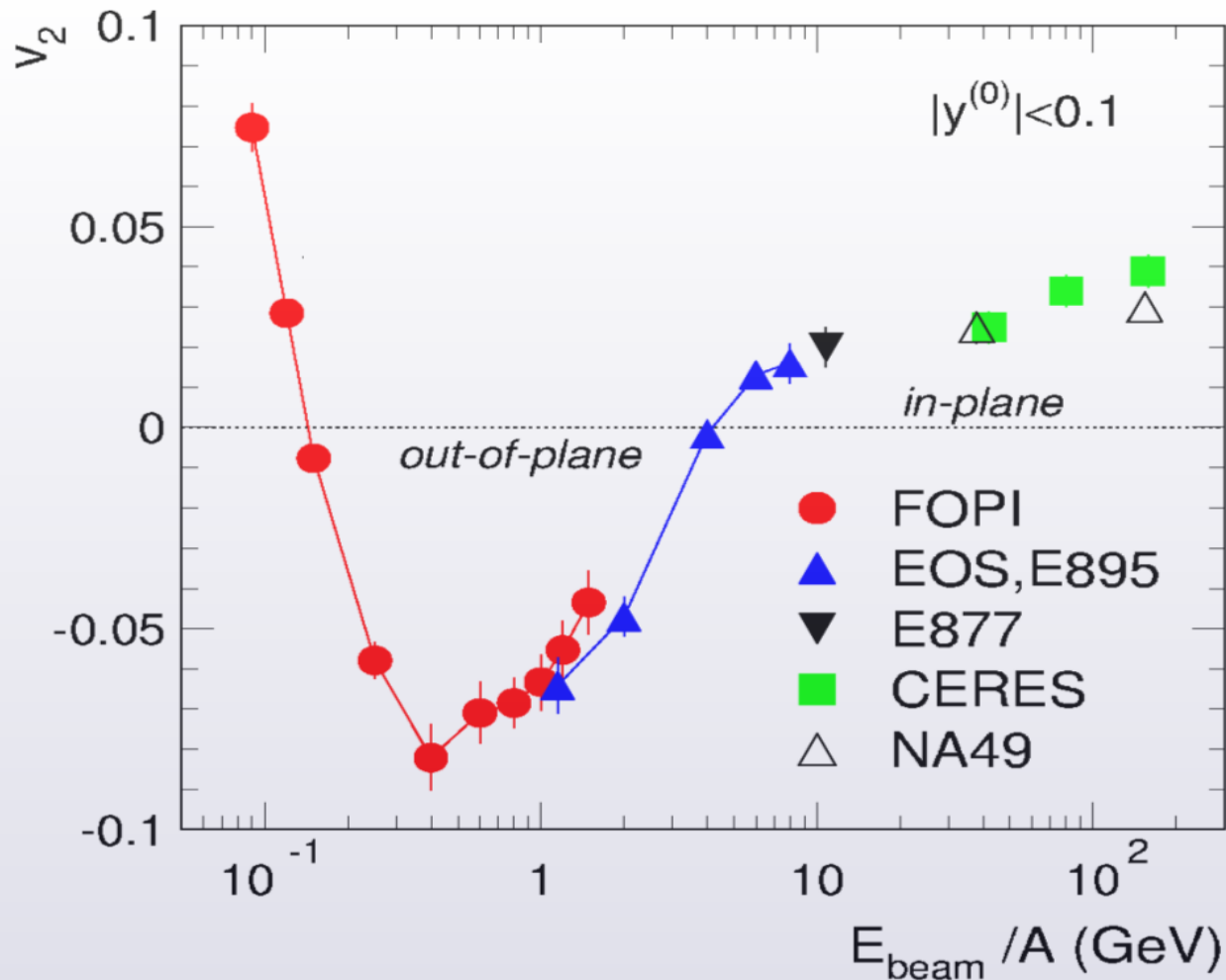
- Funkcja wzbudzenia  $F_y$  (zależność od  $T_{beam}$ ) dla emisji fragmentów z Au+Au



➡ Pływ boczny:

- ⊖ wyraźny przy  $T_{beam} \sim$  kilkaset A MeV,
- ⊖ przy wyższych  $T_{beam}$  – słabnie.





A. Andronic et al., Phys. Lett. B 612, 173 (2005)



Pływ eliptyczny  $v_2$  :

- ☞ Dodatni dla  $T_{beam} \lesssim 0.1A$  A GeV
- ☞ Ujemny dla  $T_{beam} \in (0.1 .. 5) A$  GeV
- ☞ Dodatni dla  $T_{beam} \gtrsim 5$  A GeV